

АЗЭРБАЙЧАН ССР ЕЛМЛЭР АКАДЕМИЈАСЫ  
АКАДЕМИЯ НАУК АЗЕРБАЙДЖАНСКОЙ ССР

# МЭРҮЗЭЛЭР ДОКЛАДЫ

ТОМ XXXI ЧИЛД

7

«ЕЛМ» НЭШРИЈАТЫ  
ИЗДАТЕЛЬСТВО «ЭЛМ»  
БАКЫ—1975—БАКУ

Уважаемый читатель!  
Просмотрев журнал,  
поставьте № чит. билета

#### АДАЛАР

Мә'рүзәләри»ндә нәзәри вә тәчрүби  
шәхесе дәрч едилмәмиши иетичә-

мә'ярлы мә'лumatлар шәклини салын-  
лардан мәһрум мубаһисе характеристики  
из комекчи тәркубларин тәсвири-  
и вә ичмал характеристики ишиләр, төсөнә  
дик мәгаләләр, набела битки вә неј-  
әһәмијјәтә малик тапшыларны тәс-

мә'лumatларны даһа кениш шәкилдә  
тугуну әлиндән алмыр.

мәгаләләр ялныз ихтисас үзәре бир  
неј'ети тәррафидән нәзәрдән кечирү-  
шөртила мәгаләләр тәгдим еда биләр.  
Бир үзвләрини мәгаләләри тәгдимат-

аләләри тәгдим едәркән онларны мү-  
ни јерләшириләчәји болмәнини адны

дәрч етдиրе биләр.  
з, мүәллиф вәрәгүнни лорддә бирин-  
и 6 — 7 сәнифә һәчминидә (10000 чан-

си олмалыдыр; бундан башга, Азәр-  
хұласа әлавә едилмәлидир. Рүс ди-  
ә хұласаси олмалыдыр.

Жетирилдиши елми идарәнини ады вә  
инни иетичәләрини дәрч олуимасы  
алыдыр.  
иәрәгин бир үзүндә икى хәтт ара бу-  
нүсхә тәгдим едилмәлидир. Дүстур-  
ләрни алтындан, кичикләрни исә үс-  
лан әлифбасы һәрфләрини түрмизы

ни ахырында чыхыш шәклиндә дејил,  
рә) мәгаләниң сонуна мәтиләки ис-  
рилмәлидир. Эләбијјатын сијаһысы  
инисиалы, китабын бүтөв ады, чилдин

чүн: мүәллифин фамилијасы вә иши-  
ы, чилд, бурахымлыш, иешр олуандугу  
лијасы вә инисиалы, мәгаләниң ады,  
иғә көстәрилмәлидир.

и идарәләрдә сакланан диссертасија-  
амилијасы, мәгаләниң ады вә шәклини  
әкилләтү сөзләр аյрыча вәрәгдә тәг-

чимуш омнилийк тәснифат үзәре мәга-  
ләл» үчүн реферат әлавә етмәлидир-

ларда вә мәгаләниң мәтиинидә бу вә  
әлиниләр.

тичәләр ялныз зәрури һалларда  
и оналарны дәрчедилмә ардычыллы-

иг, мүәллифләре көндәрилмиш. Кор-  
сөһнәләрни дүзәлтмәк олар.  
и 15 нүсхә айрыча оттискини верир.

АЗӘРБАЙЧАН ССР ЕЛМЛӘР АКАДЕМИЈАСЫ  
АКАДЕМИЯ НАУК АЗЕРБАЙДЖАНСКОЙ ССР

# МӘ'РҮЗӘЛӘР ДОКЛАДЫ

ТОМ XXXI ЧИЛД

7



УДК 518.3 (083.57)

МАТЕМАТИКА

## РЕДАКЦИОННАЯ КОЛЛЕГИЯ:

Г. Б. Абдуллаев (главный редактор), Ш. А. Азибеков,  
 Г. А. Алиев, В. Р. Волобуев,  
 А.И. Гусейнов, М. А. Дадашзаде (зам. главного редактора),  
 М. А. Кашкай, А. С. Сүмбатзаде, М. А. Топчибашев, Т. Н. Шахтахтинский,  
 Г. Г. Зейналов (ответств. секретарь).

С. Н. БОРИСОВ, З. Т. СУЛТАНОВА

К ВОПРОСУ ОБ АППРОКСИМАЦИИ ТАБЛИЦ  
С ДВУМЯ ВХОДАМИ

(Представлено академиком АН Азербайджанской ССР А. И. Гусейновым)

Пусть задана таблица с двумя входами:

$$z_{ij} = f(x_i, y_j) \quad (i=1, 2, \dots, n; j=1, 2, \dots, m). \quad (1)$$

Требуется найти аналитическое выражение, аппроксимирующее эту таблицу, т. е. найти вид функции  $f$ . Предположим, что функция  $f(x, y)$  непрерывная и дифференцируема по  $x$  в заданной области  $D[x_1 \leq x \leq x_n; y_1 \leq y \leq y_m]$ .

Обычно для аппроксимации таблиц используется метод наименьших квадратов. Однако, если таблица достаточно редкая, т. е.  $n$  и  $m$  малы, этот метод может не привести к желаемому результату.

В настоящей работе предлагается метод, позволяющий значительно расширить исходную информацию, используя номограммы с контактом касания, и получить выражение для функции  $f$  более точно.

Известно, что для функции  $z=f(x, y)$  всегда можно построить номограмму с одним контактом касания, состоящую из двух прямолинейных шкал  $x$  и  $z$  и семейства дуг  $y$  (рис. 1). Семейство дуг  $y$  можно построить как по уравнениям, так и графически, поскольку каждая дуга  $y$  представляет собой огибающую семейства прямых, соединяющих соответствующие точки шкал  $x$  и  $z$ .

Последнее обстоятельство позволяет строить номограмму с контактом касания и для функции, заданной таблицей (1).

Уравнения элементов номограммы типа рис. 1 в осях  $u$  и  $v$  записываются в виде [1]:

шкала  $x$ :

$$u=0; v=\psi_1(x);$$

шкала  $z$ :

$$u=H; v=\psi_2(z);$$

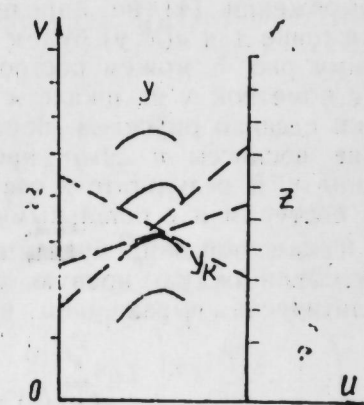
семейство дуг  $y$ :

Рис. 1.

© Издательство «Элм», 1975 г.

Адрес: г. Баку, Коммунистическая, 10. Редакция «Докладов Академии наук Азербайджанской ССР»

$$u = -\frac{H\psi_1'(x)}{\psi_2[f(x, y)]f_x'(x, y) - \psi_1'(x)}, \quad (2)$$

$$v = \frac{\psi_1(x)\psi_2'[f(x, y)]f_x'(x, y) - \psi_1'(x)\psi_2[f(x, y)]}{\psi_2[f(x, y)]f_x'(x, y) - \psi_1'(x)}.$$

Здесь  $H$ —расстояние между шкалами  $x$  и  $z$ . Функции  $\psi_1(x)$  и  $\psi_2(z)$  определяют градуировку шкал  $x$  и  $z$ . Эти функции должны быть непрерывными, монотонными и дифференцируемыми. Соответствующим выбором функций  $\psi_1(x)$  и  $\psi_2(z)$  можно семейство дуг  $u$  заключить в некоторую достаточно узкую полосу. Это даёт возможность для построения дуг графическим путём использовать минимальное количество прямых, иначе говоря, с ограниченным числом данных. При использовании для тех же целей сетчатых номограмм требуется большое число данных. Будем считать, что шкала  $z$  равномерная, т. е. функция  $\psi_2(z)$  линейная.

$$\psi_2(z) = n(z - b).$$

Уравнение абсциссы для семейства дуг примет вид:

$$u(x, y) = -\frac{H\psi_1'(x)}{nf_x'(x, y) - \psi_1'(x)}.$$

Отсюда

$$f_x'(x, y) = -\frac{H\psi_1'(x)}{nu(x, y)} + \frac{\psi_1'(x)}{n}. \quad (3)$$

Здесь  $y$  играет роль параметра, а  $x$ —независимая переменная. Интегрируя уравнение (3), получаем выражение для функции  $f$  через абсциссу  $u$ .

$$f(x, y) = \frac{1}{n} \int \left( \psi_1(x) - \frac{H\psi_1'(x)}{u(x, y)} \right) dx + c. \quad (4)$$

В выражении (4) не определена функция  $u(x, y)$ . Аналитическое выражение для  $u(x, y)$  будем искать следующим образом. Имея номограмму рис. 1, можем построить семейство  $u$  в осях  $x$  и  $y$ . Берем точку с пометкой  $x$  на шкале  $x$  и проведем касательную к дуге  $u$ . Из точки касания опускаем перпендикуляр на ось  $u$ , где находим значение абсциссы  $u$ . Этот процесс повторяем для различных точек шкалы  $x$ . В результате в осях  $x$  и  $y$  получим кривую  $u$ . Таким же образом поступим и с остальными дугами семейства  $u$ .

Таким образом, будем иметь семейство графиков  $u$  в осях  $x$  и  $y$  (рис. 2). Каждую кривую  $u$  можно аппроксимировать каким-либо аналитическим выражением, например, полиномом, т. е.

$$u(x, y_u) \approx \sum_{l=0}^p a_l(y_u)x^l. \quad (5)$$

Вообще говоря, можно подобрать для аппроксимации кривой  $u$  и другое выражение. Это зависит от исходной таблицы или, иначе, от номограммы рис. 1. Если полоса, в которую заключено семейство дуг  $u$ , мала, то кривые в осях  $x$  и  $y$  будут мало меняться с изменением  $x$ . В этом случае степень полинома (5) может оказаться не выше 2 или 3.

Теперь построим графики изменения  $a_l(y)$  в осях  $a_l$  и  $y$  (рис. 3). Каждую кривую  $a_l$  можно тоже аппроксимировать, например, полиномом

$$a_l(y) = \sum_{j=0}^r b_{lj}y^j. \quad (6)$$

Здесь  $b_{lj}$ —уже числовые коэффициенты. Для их определения можно пользоваться любыми существующими методами, в том числе и методом наименьших квадратов, поскольку графики рис. 2 и рис. 3 позволяют получить исходную информацию о необходимом количестве.

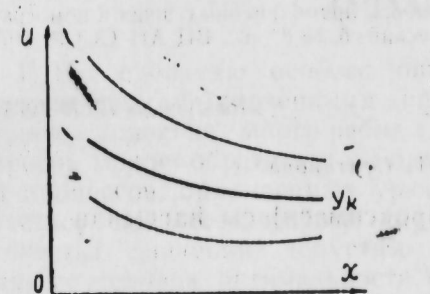


Рис. 2.

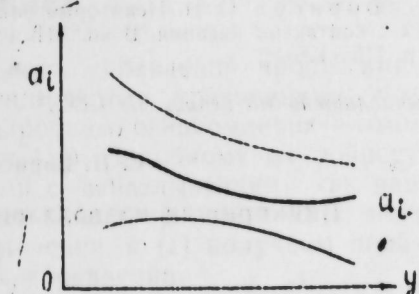


Рис. 3.

В результате проведённой аппроксимации получим, что

$$u(x, y) = \sum_{l=0}^p \left( \sum_{j=0}^r b_{lj}y^j \right) x^l.$$

Предположим, что функция  $\psi_1(x)$  линейна, т. е.

$$\psi_1(x) = m(x - a).$$

Тогда из (4) получим, что искомая функция  $f(x, y)$  определяется зависимостью

$$f(x, y) = \frac{m}{n}x - \frac{mH}{n} \int \frac{1}{\sum_{l=0}^p \left( \sum_{j=0}^r b_{lj}y^j \right) x^l} dx + c.$$

Если кривые  $u$  на рис. 2 допускают аппроксимацию полиномами второй степени ( $p=2$ ), то получаем выражение для  $f(x, y)$  в явном виде:

$$f(x, y) = \frac{m}{n}x - \frac{mH}{n} \left( \frac{2 \left( \sum_{j=0}^r b_{lj}y^j \right) x + \sum_{j=0}^r b_{lj}}{\sqrt{\Delta}} \arctg \frac{\sqrt{\Delta}}{\sqrt{\Delta}} \right)$$

при

$$\Delta = 4 \left( \sum_{j=0}^r b_{j2} y^j \right) \left( \sum_{j=0}^r b_{j0} y^j \right) - \left( \sum_{j=0}^r b_{j1} y^j \right)^2 > 0$$

$$J(x, y) = \frac{m}{n} x - \frac{mH}{n} \left( \frac{2}{V-\Delta} \ln \frac{2x \sum_{j=0}^r b_{j2} y^j + \sum_{j=0}^r b_{j1} y^j - V - \Delta}{2x \sum_{j=0}^r b_{j2} y^j + \sum_{j=0}^r b_{j1} y^j + V - \Delta} \right)$$

при  $\Delta < 0$ .

Предлагаемый метод может оказаться удобным для аппроксимации эмпирических таблиц, полученных в результате проведения достаточно ограниченного количества опытов.

#### ЛИТЕРАТУРА

Борисов С. Н. Некоторые способы выбора прямолинейных шкал в номограммах с контактом касания. В кн.: Номографический сб. № 8\*, М., ВЦ АН СССР, 1971, стр. 115–126.

Вычислительный центр АН СССР

Поступило 17. II 1975

С. Н. Борисов, З. Т. Султанова

Иикиришили чәдвәлләрин аппроксимасијасы нағында

#### ХУЛАСӘ

Мәгәләдә иикиришили чәдвәлләри аппроксимасија етмәк үчүн метод верилмишdir. Ыемин метод чәдвәлини (бир тохуима контакты олан) номограммалар тәсвирина эсасланып. Бу һал верилән информасијаны кенишләндирмәк вә даһа дәгиг аппроксимасија едән ифадә алмаг имканы јарадыр. Тәклиф олунан методу аргументләрә көрә бөյүк адымлы чәдвәлләрин аппроксимасијасы үчүн истифадә етмәк олар.

S. N. Borisov, Z. T. Sultanova

To the question of tables approximation with two inputs

#### SUMMARY

In the paper it is suggested a method of tables approximation with two inputs, based on the representation of the tables by nomograms with one contact. The latter gives opportunity to expand sufficiently the original information and to obtain the approximating expression more exactly. The method is useful for the tables, obtained by sufficiently large step by the arguments.

АЗЭРБАЙЧАН ССР ЕЛМЛӘР АКАДЕМИЯСЫНЫН МӘРҮЗӘЛӘРИ

ДОКЛАДЫ АКАДЕМИИ НАУК АЗЕРБАЙДЖАНСКОЙ ССР

ТОМ XXXI ЧИЛД

№ 7

1975

УДК

АВТОМАТИКА

Член-корр. К. Т. АХМЕДОВ, Т. К. МЕЛИКОВ, К. К. ГАСАНОВ

## ОБ ОПТИМАЛЬНОСТИ ОСОБЫХ УПРАВЛЕНИЙ В СИСТЕМАХ С ЗАПАЗДЫВАНИЕМ

1. Исследование особого оптимального управления процессами, описываемыми обыкновенными дифференциальными уравнениями, посвящено довольно много работ (для подробного ознакомления с этим вопросом можно обратиться к монографии [1]). Подобному же вопросу для процессов, описываемых уравнениями с запаздыванием, как нам известно, посвящена работа [2], в которой для произвольного вида множества значений допустимых управлений  $u(t)$  получены необходимые условия оптимальности особых управлений.

В настоящей работе изучается задача, подобная рассмотренной в работе [2]. Нами получены необходимые условия для особого оптимального управления, а также построен пример, к которому не применимо утверждение теоремы 1 работы [2].

2. Пусть объект управления описывается уравнением

$$\dot{x}(t) = f(x(t), y(t), u(t), t), \quad t \in (t_0, T], \quad (1)$$

$$x(\tilde{t}) = g(t), \quad t \in [\tilde{t}_0, t_0], \quad (2)$$

где  $x(t)$ — $n$ -мерная вектор-функция состояния,  $y(t) = x(t - \tau(t))$ ;  $\tau(t)$ —непрерывно дифференцируемая функция на  $J_1 = (t_0, T]$ , причем  $\tau'(t) < 1$  и  $\tau(t) > 0$ ,  $t \in J_1$ ;  $\tilde{t}_0 = t_0 - \tau(t_0)$ ;  $u(t)$ — $r$ -мерная кусочно-непрерывная на  $J_1$  вектор-функция со значениями из заданного множества  $U \subset E^r$ , называемая допустимым управлением;  $f(x, y, u, t)$ — $n$ -мерная вектор-функция, определенная и непрерывная на  $Q = E^n \times E^r \times U \times J_1$  вместе с частными производными второго порядка по  $x, y$ ;  $g(t)$ — $n$ -мерная кусочно-непрерывная функция на  $J$ ;  $E$ — $m$ -мерное евклидово пространство.

В дальнейшем предполагается, что каждому допустимому управлению  $u(t)$  соответствует единственное решение  $x(t)$  задачи (1), (2), определенное на  $J_1$ .

Требуется среди всех допустимых управлений найти такое, чтобы соответствующее ему решение задачи (1), (2) минимизировало функционал

$$S(u) = \varphi(x(T)), \quad (3)$$

где  $\varphi(x)$ —двойжды непрерывно-дифференцируемая функция.

Решение  $(\dot{u}(t, x), \dot{z}(t, x))$  задачи (1) — (3) назовем оптимальным процессом, а составляющие его функции — оптимальным управлением и оптимальной траекторией.

СЛУЧАЙ 3. Известно [3, 4], что оптимальный процесс  $(u^*(t), x^*(t))$  удовлетворяет принципу максимума:

$$H(\psi^*(t), x^*(t), y^*(t), u^*(t), t) = \sup_{u \in U} H(\psi^*(t), x^*(t), y^*(t), u, t), \quad t \in J_1, \quad (4)$$

$$H(\psi, x, y, u, t) = \psi' f(x, y, u, t),$$

$$\psi^*(t) = -H_x(\psi^*(t), x^*(t), y^*(t), u^*(t), t) - H_y(\psi^*(t), x^*(t), y^*(t), u^*(t), t) \Big|_{\dot{\gamma}(t)},$$

$$\psi^*(T) = -\varphi_{xx}(x^*(T)), \quad \psi(t) = 0, \quad t > T,$$

где символ  $\dot{\gamma}$  означает транспонирование,  $\gamma(t)$  — функция, обратная к  $h(t) = t - \tau(t)$ .

**Определение 1.** Пусть процесс  $(u^*(t), x^*(t))$  удовлетворяет принципу максимума (4). Если существуют не пустые множества  $J_0 \subset J_1$  и  $U_0(t) \subset U$ ,  $t \in J_0$  такие, что выполняется условие

$$H(\psi^*(t), x^*(t), y^*(t), u^*(t), t) - H(\psi^*(t), x^*(t), y^*(t), v, t) \leq 0 \quad (5)$$

для всех  $v \in U(t)$ ,  $t \in J_0$ , то процесс  $(u^*(t), x^*(t))$  назовем особым процессом с параметром вырождения  $(J_0, U_0(t))$ .

**Определение 2.** Пусть  $\theta \in J_0$ ,  $v \in U_0(0)$  и  $\omega(t)$  — непрерывная функция, определенная на  $J_i(\theta) = \{t : \theta - a_i\varepsilon \leq t \leq \theta + a_i\varepsilon, \varepsilon > 0, a_i \geq 0, i = 1, 2; a = a_1 + a_2 > 0\}$ , принимающая значения в  $E^\Gamma$ . Функцию  $\omega(t)$  назовем локальным сечением [5] к точке  $v$ , если  $\omega(0) = v$  и  $\omega(t) \in U_0(t)$  для всех  $t \in J_i(\theta) \cap J_0$ .

В дальнейшем для простоты предполагается, что множество  $J_0$  является объединением интервалов, а множество  $U_0(t)$  для всех  $t \in J_0$  состоит не менее чем из двух элементов и обладает локальными сечениями, иначе говоря, для всех  $t \in J_0$  и для любых  $v \in U_0(t)$  существует локальное сечение в точке  $v$ .

4. Необходимые условия оптимальности особого управления поставленной задачи получаем по схеме [6], а именно: составляем формулу для приращения функционала, используя специальную вариацию управления, сосредоточенного на отрезке длиной  $a\varepsilon$ , и выделяем в приращении функционала члены порядка  $\varepsilon^2$ . В результате приходим к следующему утверждению:

**Теорема 1.** Для того чтобы особый процесс  $(u^*(t), x^*(t))$  с параметром вырождения  $(J_0, U_0(t))$  и такой, что  $H_{xx}(t) = H_{xy}(t) = H_{yy}(t) = 0$ ,  $t \in J_1$ , был оптимальным, необходимо выполнение неравенства

$$\Delta_v H'_x(t) \Delta_v f^*(t) + \Delta_v f^*(t) M(t) N(t) \Delta_v f^*(t) \leq 0, \quad (5)$$

для всех  $v \in U_0(t)$ ,  $t \in J_0$ , где  $f^*(t) = f(x^*(t), y^*(t), u^*(t), t)$ ,

$$\Delta_v f^*(t) = f(x^*(t), y^*(t), v, t) - f(x^*(t), y^*(t), u^*(t), t); \quad \text{mes } J_0 > 0;$$

$$\Delta_v H_x(t) = H_x(\psi^*(t), x^*(t), y^*(t), v, t) - H_x(\psi^*(t), x^*(t), y^*(t), u^*(t), t);$$

$$H_{xx}(t) = H_{xx}\psi^*(t), x^*(t), y^*(t), u^*(t), t) \quad (\text{аналогичный смысл имеют } H_{yx}(t),$$

$H_{yy}(t); M(t), N(t)$  —  $(n \times n)$ -мерные непрерывные и кусочно-дифференцируемые матричные функции, удовлетворяющие уравнениям

$$\begin{aligned} \dot{M}(t) &= -f'_x(t)M(t) - f'_y(\xi)M(\xi) \Big|_{\dot{\gamma}(t)}, \quad t \in J_1, \\ \xi &= \gamma(t) \end{aligned} \quad (6)$$

$$\begin{aligned} \dot{N}(t) &= -N(t)f'_x(t) - N(\xi)f'_y(\xi) \Big|_{\dot{\gamma}(t)}, \quad t \in J_0, \\ \xi &= \gamma(t) \end{aligned} \quad (7)$$

$$M(T)N(T) = -\varphi_{xx}(x^*(T)), \quad M(t) = N(t) = 0, \quad t > T. \quad (8)$$

Доказывается более общая

**Теорема 2.** Пусть  $(u^*(t), x^*(t))$  — особый оптимальный процесс с параметром вырождения  $(J_0, U_0(t))$ . Если  $\text{mes } J_0 > 0$ , то при каждом фиксированном  $\theta \in J_0$  для любых  $v \in U_0(0)$  выполняется неравенство

$$[\Delta_v H'_x \Delta_v f^* + \Delta_v f^* W \Delta_v f^*]_{t=0} \leq 0, \quad (9)$$

где

$$\begin{aligned} W(s) &= \int_s^T [\lambda'(s, t) H_{xx}(t) \lambda(s, t) + 2\lambda'(s, t) H_{xy}(t) \lambda(s, h(t)) + \\ &\quad + \lambda'(s, h(t)) H_{yy}(t) \lambda(s, h(t))] dt - \lambda'(s, T) \varphi_{xx}(x^*(T)) \lambda(s, T), \\ \frac{\partial \lambda(s, t)}{\partial t} &= H_{xx}(t) \lambda(s, t) + H_{yy}(t) \lambda(s, h(t)), \quad t_0 \leq s \leq t \leq T, \end{aligned}$$

$\lambda(s, t) = 0, t < s, \lambda(s, s) = E$ ,  $E$  — единичная матрица.

**Замечание 1.** Нетрудно показать, что

$$M(s)N(s) = -\lambda'(s, T) \varphi_{xx}(x^*(T)) \lambda(s, T), \quad t_0 \leq s \leq T.$$

**Замечание 2.** Условия (4), (9) можно доказать, не предполагая дифференцируемости функции  $\tau(t)$ , если воспользоваться функцией  $\lambda(s, t)$ ,  $t_0 \leq s \leq t \leq T$ .

**Замечание 3.** Если уравнение (1) не содержит запаздывание, то утверждения теорем 1, 2 эквивалентны аналогичным утверждениям работы [7].

**Замечание 4.** С помощью двух матричных импульсов (а также матричных функций  $\lambda(s, t)$ ) можно получить аналогичные утверждения и для процессов, описываемых интегро-дифференциальными уравнениями с отклоняющимся аргументом.

Пример  $\dot{x}(t) = -x(t-1) + u(t)$ ,  $t \in J_1 = [0, 3]$ ,

$$x(t) = 1, \quad t \in J = [-1, 0]; \quad U = [-1, 1]; \quad \varphi(x(3)) = |x(3) - 1|^2.$$

Ясно, что  $(u^*(t), x^*(t)) = (1, 1)$ ,  $t \in J_1$  — особый оптимальный процесс с параметром вырождения  $(J_1, U)$ , так как  $\text{grad } \varphi(x^*(3)) = 0$ . В данном случае условие (9) совпадает с (5) и выполняется  $(-2(v-1)^2 \leq 0, t \in [2, 3]; -2(t-1)^2(v-1) \leq 0, t \in [1, 2]; -\frac{1}{2}(t^2-1)^2(v-1)^2 \leq 0, t \in [0, 1]; v \in U)$ .

Отметим, что для этого примера утверждение теоремы 1 работы [2] не выполняется, так как

$$\begin{aligned} [\Delta_v f' \Delta_v f + \Delta_v H'_x \Delta_v f]_{t=1} &= [(-2e^{t-1} - 2t^{-2} + 2)(v-1)^2]_{t=1} = \\ &= 2 \left(1 - \frac{2}{e}\right) (v-1)^2 > 0, \quad v \in [1, 1]. \end{aligned}$$

## ЛИТЕРАТУРА

- Габасов Р., Кириллова Ф. М. Особые оптимальные управления. Изд-во "Наука", М., 1973.
- Ашепков Л. Т. "Сибирский математический журнал", т. XIV, № 6, 1973, стр. 1180—1188.
- Понтигии Л. С. и др. Математическая теория оптимальных процессов. Изд-во "Наука", М., 1969.
- Габасов Р., Чуракова С. В. "Автоматика и телемеханика", № 1, 1968, 46—64.
- Болтянская В. Г. Математические методы оптимального управления. Изд-во "Наука", М., 1973.
- Розонов Р. Н. "Автоматика и телемеханика", № 10—12, 1959.
- Габасов Р. "Дифференц. уравнения", № 6, 1968, 1000—1011.

АГУ им. С. М. Кирова

Поступило 21. X 1974

Г. Т. Эбимедов, Т. К. Меликов, К. Г. Гасанов

## Кечикән аргументли просесләрин мәхсуси идарә олунмасынын оптимальлығы һағында

### ХУЛАСӘ

Мәгаләдә кечикән аргументли тәилекләр системилә тәсвир олунан просесләрдә икى матрис импулсүн көмәјилә, мәхсуси идарәстмәнин оптимальлығы үчүн зәрури шәрт тапылыш.

Г. Т. Akhmedov, T. K. Melikov, K. K. Gasanov

## About the optimality of singular control in the delay system

### SUMMARY

There was discovered necessary conditions optimality of singular control by the help of two impulses in the matrix.

АЗЭРБАЙЖАН ССР ЕЛМЛӘР АКАДЕМИЯСЫНЫН МӘРҮЗӘЛӘРИ

ДОКЛАДЫ АКАДЕМИИ НАУК АЗЕРБАЙДЖАНСКОЙ ССР

ТОМ XXXI ЧИЛД

№ 7

1075

УДК 62—50.001.24

ТЕХНИЧЕСКАЯ КИБЕРНЕТИКА

Член-корр. Я. Б. КАДЫМОВ, А. И. МАМЕДОВ, Э. М. ЗЕЙНАЛОВА

## ЧИСЛЕННЫЙ МЕТОД РАСЧЕТА ОПТИМАЛЬНОГО УПРАВЛЕНИЯ В СИСТЕМАХ С РАСПРЕДЕЛЕННЫМИ ПАРАМЕТРАМИ

Электроприводы нефтяной промышленности, включающие объекты с длинными трубами и штангами, относятся к системам с распределенными параметрами.

В работах [1,2] изложены методы, позволяющие привести такие системы к импульсным [3]. При таком представлении системы с распределенными параметрами вопросам оптимального управления буровым электроприводом посвящены работы [4,5]. В этих работах период I (величина, определяющая время между соседними дискретными значениями независимой переменной  $n$ ) принят равным двойному времени прохождения волны  $\tau$ , т. е.  $T=2\tau$ .

В данной статье дается обобщенный метод решения задачи определения управления буровым электроприводом с распределенными параметрами, обеспечивающего максимально возможное перемещение за определенное время при заданном уровне потерь в якоре двигателя при использовании метода вариационного исчисления.

Переходные процессы, протекающие в исходном звене с распределенными параметрами, описываются телеграфными уравнениями:

$$-\frac{\partial \omega}{\partial x} = k_1 \frac{\partial M}{\partial t} + k_3 M, \quad -\frac{\partial M}{\partial x} = k_2 \frac{\partial \omega}{\partial t} + k_4 \omega, \quad (1)$$

где  $k_1, k_2, k_3, k_4$ —вещественные коэффициенты, зависящие от свойств системы;

$\omega, M$ —скорость вращения и момент звена с распределенными параметрами.

Начальные и граничные условия имеют вид:

$$\begin{aligned} \omega(x, 0) &= 0, & M(x, 0) &= 0 & (0 < x < l) \\ \omega(0, t) &= \omega_{in}, & M(0, t) &= M_{in}, \\ M(l, t) &= 0. \end{aligned}$$

При вышеуказанных начальных и граничных условиях для функции  $M$  в начальной точке звена с распределенными параметрами в операторной форме можно представить следующее выражение:

$$M_{1n}(p) = \frac{1}{p(v)} \frac{sh\gamma l}{ch\gamma l} \omega_{1n}(p), \quad (2)$$

где  $v(p) = \sqrt{\frac{pk_1+k_3}{pk_2+k_1}}$  — операторное волновое сопротивление звена с распределенными параметрами при учете потерь;  $\gamma = \sqrt{(pk_1+k_3)(pk_2+k_1)}$  — операторная постоянная распространения при учете потерь.

Подставляя выражение для  $v(p)$  в (2), получим:

$$\bar{M}_{1n}(p) = \frac{1}{p} \sqrt{\frac{p + \frac{k_1}{k_2}}{p + \frac{k_3}{k_1}}} \frac{sh\gamma l}{ch\gamma l} \omega_{1n}(p), \quad (3)$$

где  $\bar{v}$  — волновое сопротивление звена с распределенными параметрами без потерь.

Для перевода полученного уравнения в дискретную форму необходимо найти связь между оператором  $p$  и  $q$  — параметром в дискретном преобразовании Лапласа.

Согласно [3], имеем  $q=pT$ . Выбираем  $T$  в самом общем виде [1, 2]:

$$T = \frac{2\pi}{\lambda}, \quad (4)$$

где  $\lambda$  — любое целое число, причем чем больше  $\lambda$ , тем меньше будет погрешность расчета оптимального управления.

Выражение (3), на основе аппроксимаций, предложенных в работе [1], в дискретной форме будет иметь следующий вид:

$$M_{1n}^*(q) = \frac{1}{p} \left\{ \frac{e^{\lambda q} - 1}{e^{\lambda q} + e^{-\alpha T + 0,3\beta T}} + 0,13T \frac{\alpha T + \beta T}{\alpha T} e^{-\tau_1} \frac{e^{\lambda q} - 1}{e^{\lambda q}(e^{\lambda q} + e^{-\tau_1})} + \right. \\ \left. + \frac{\alpha T - \beta T}{\alpha T - 0,2\beta T} \cdot \frac{1 - e^{-\alpha T + 0,2\beta T}}{e^{\lambda q} + e^{-\alpha T + 0,2\beta T}} + \frac{1}{30} \frac{\alpha T + \beta T}{\alpha T} (\alpha T - \beta T) \cdot \right. \\ \left. \cdot e^{-0,3\beta T} \frac{1 - e^{-3\beta T}}{1 + e^{-0,3\beta T}} \frac{e^{2\lambda q} + (e^{-0,3\beta T} - 1)e^{\lambda q} + 1}{e^{\lambda q}(e^{\lambda q} + e^{-0,3\beta T})} \right\} \omega_{1n}^*(q), \quad (5)$$

где  $M^*(q)$ ,  $\omega^*(q)$  — дискретное изображение функций  $M$  и  $\omega$ ,

$$\alpha = \frac{1}{2} \left( \frac{k_3}{k_1} + \frac{k_1}{k_2} \right), \quad \beta = \frac{1}{2} \left( \frac{k_3}{k_1} - \frac{k_1}{k_2} \right),$$

$\tau_1$  и  $\tau_2$  — постоянные коэффициенты.

Значение постоянных коэффициентов  $\tau_1$  и  $\tau_2$  выбирается следующим образом. При  $0,15 < \alpha T < 0,27$ ,  $0,25 < \beta T < 0,27$  следует брать  $\tau_1 = 3,3\beta T$ ,  $\tau_2 = 0,3\beta T$ , при  $0,27 < \alpha T < 1,5$  и  $0,27 < \beta T < 1,5$ ,  $\tau_1 = \tau_2 = 0,3(\beta T)$ .

Для нахождения значения  $(\beta T)'$  следует функцию  $e^{-0,3\beta T[n+10]}$  [1], ( $\varepsilon$  — смещение решетчатой функции) привести к обычному виду (т. е.

без коэффициента  $\varepsilon$ ). Для этого достаточно построить функцию  $e^{-0,3\beta T[n+10]}$  на заданном интервале и аппроксимировать ее функцией  $e^{-0,3(\beta T)'[n+1]}$ .

Выражение (5) можно в явном виде представить так:

$$M_{1n}^*(q) = \frac{1}{p} K^*(q) \omega_{1n}^*(q), \quad (6)$$

где искомый коэффициент связи  $K^*(q)$  будет:

$$K^*(q) = K'^*(q) + K''*(q),$$

$$K'^*(q) = \frac{b_{3\lambda} e^{3\lambda q} + b_{2\lambda} e^{2\lambda q} + b_\lambda e^{\lambda q} + b_0}{a_{3\lambda} e^{3\lambda q} + a_{2\lambda} e^{2\lambda q} + a_\lambda e^{\lambda q} + a_0},$$

$$K''*(q) = \frac{b'_{3\lambda} e^{3\lambda q} + b'_{2\lambda} e^{2\lambda q} + b'_\lambda e^{\lambda q} + b'_0}{a'_{3\lambda} e^{3\lambda q} + a'_{2\lambda} e^{2\lambda q} + a'_\lambda e^{\lambda q} + a'_0},$$

где

$$b_{3\lambda} = a_{3\lambda} = a'_3 = 1;$$

$$b_{2\lambda} = e^{-\tau_1} + 0,13T \frac{\alpha T + \beta T}{\alpha T} e^{-\tau_1} - 1,$$

$$b_\lambda = - \left[ e^{-\tau_1} - 0,13T \frac{\alpha T + \beta T}{\alpha T} e^{-\tau_1} (1 + e^{-\alpha T + 0,2\beta T}) \right];$$

$$b_0 = - 0,13T \frac{\alpha T + \beta T}{\alpha T} e^{-\tau_1} e^{-\alpha T + 0,2\beta T};$$

$$b'_{3\lambda} = \frac{1}{30} \frac{\alpha T + \beta T}{\alpha T} (\alpha T - \beta T) e^{-0,3\beta T} \frac{1 - e^{-0,3\beta T}}{1 + e^{-0,3\beta T}};$$

$$b'_{2\lambda} = \frac{\alpha T - \beta T}{\alpha T - 0,2\beta T} \left[ 1 - e^{-\alpha T + 0,2\beta T} \right] + \frac{1}{30} \frac{\alpha T + \beta T}{\alpha T} \cdot$$

$$\cdot (\alpha T - \beta T) e^{-0,3\beta T} \frac{1 - e^{-3\beta T}}{1 - e^{-0,3\beta T}} \left[ e^{-\alpha T + 0,2\beta T} + e^{-0,3\beta T} - 1 \right];$$

$$b'_\lambda = \frac{\alpha T - \beta T}{\alpha T - 0,2\beta T} \left[ 1 - e^{-\alpha T + 0,2\beta T} \right] e^{-0,3\beta T} + \frac{1}{30} \frac{\alpha T + \beta T}{\alpha T} \cdot$$

$$\cdot \frac{1 - e^{-3\beta T}}{1 + e^{-0,3\beta T}} (\alpha T - \beta T) e^{-0,3\beta T} \left[ e^{-\alpha T + 0,2\beta T} (e^{-0,3\beta T} - 1) + 1 \right];$$

$$b'_0 = \frac{1}{30} \frac{\alpha T + \beta T}{\alpha T} (\alpha T - \beta T) e^{-\alpha T - 0,1\beta T} \frac{1 - e^{-3\beta T}}{1 + e^{-0,3\beta T}};$$

$$a_{2\lambda} = e^{-\tau_1} + e^{-\alpha T + 0,2\beta T};$$

$$a_\lambda = e^{-\tau_1} e^{-\alpha T + 0,2\beta T};$$

$$a'_{2\lambda} = e^{-0,3\beta T} + e^{-\alpha T + 0,2\beta T}$$

$$a'_\lambda = e^{-\alpha T - 0,1\beta T}.$$

В частном случае при  $\alpha=\beta$  передаточный коэффициент связи  $K^*(q)$  будет равным  $K'^*(q)$ . При  $\alpha\neq 0, \beta=0$  передаточный коэффициент связи  $K^*(q)$  примет следующий вид:

$$K^*(q) = \frac{e^{\lambda q} - e^{-\alpha T}}{e^{\lambda q} + e^{-\alpha T}}. \quad (7)$$

На основании теоремы спиртывания вещественной области [3], оригинал выражения (6) в относительных единицах имеет следующий вид:

$$\mu_{1n}[n] = \sum_{m=0}^n K[n-m] u_{1n}[m], \quad (8)$$

где  $\mu_{1n}[n], u_{1n}[n]$  — значения функций  $M$  и  $\phi$  в относительных единицах.

В качестве базовых единиц приняты номинальные значения момента  $M_{ном}$  и скорости вращения  $\omega_{ном}$ , время  $t$  выражаем в долях постоянной времени  $T_m$ .

Оригинал передаточной функции  $K[n]$  находится по рекуррентному соотношению [3].

В случае, когда оптимальное управление должно обеспечить максимальное возможное перемещение за определенное время при заданном уровне потерь в якоре при моменте сопротивления, зависящем от скорости, уравнение Эйлера имеет следующий вид [4,5]:

$$2\lambda_0 u_{1n}^* - 2\lambda_0 \mu_{1n} \frac{d\mu_{1n}}{du} + 1 = 0 \quad (9)$$

где  $\lambda_0$  — множитель Лагранжа.

Заменив в уравнении (9) вторую производную второй разностью, получим:

$$u_{1n}^* = \frac{u_{1n}[n+2] - 2u_{1n}[n+1] + u_{1n}[n]}{T_{0e}^2}, \quad (10)$$

где

$$T_{0e} = \frac{T}{\lambda T_m}.$$

Используя выражение (8), (9) и (10), получим следующее выражение для уравнения Эйлера:

$$\begin{aligned} & \frac{2\lambda_0}{T_{0e}^2} (u_{1n}[n+2] - 2u_{1n}[n+1] + u_{1n}[n]) = \\ & -2\lambda_0 \left\{ \sum_{m=0}^n K[n-m] u_{1n}[m] \right\} \left\{ \sum_{m=0}^n K[n-m] \right\} + 1 = 0. \end{aligned} \quad (11)$$

Разностное уравнение (11), задавая  $n=0, 1, 2, 3, 4, \dots$ , позволяет определить искомую функцию  $u_{1n}[n]$ .

Часто на практике приходится иметь дело с нулевыми граничными условиями

при  $n=0$   $u_{1n}[0]=0$  (12)

при  $n=n_{кон}$   $u_{1n}[n_{кон}]=0$  (13)

При этих условиях из уравнения (13) определяем значение

$u_{1n}[1]$ , а затем последовательно определяем  $u_{1n}[2], u_{1n}[3], \dots, u_{1n}[n_{кон}-1]$ .

Постоянный множитель Лагранжа  $\lambda_0$  определяется из условия допустимого количества тепла  $Q_0$ , выделяемого в якоре

$$Q_0 = \sum_{n=0}^{n_{кон}} \left\{ \frac{\Delta u_{1n}[n]}{T_{0e}} + \mu_{1n}[n] \right\}^2,$$

где  $\Delta u[n] = u_{1n}[n+1] - u_{1n}[n]$  — первая разность.

## ЛИТЕРАТУРА

1. Кадымов Я. Б. Переходные процессы в системах с распределенными параметрами. Изд-во "Наука", 1968, 2. Кадымов Я. Б., Листенгарден В. А. Приближенный метод расчета переходных процессов в системах автоматического регулирования, включающих звенья с распределенными параметрами. "Автоматика и телемеханика", т. XXV, 1964, № 4, 3. Цыбкин Я. З. Теория линейных и импульсных систем. Физматгиз, 1963. 4. Кадымов Я. Б., Листенгарден В. А. Управление электроприводом бурового механизма. Изв. АН СССР\*, энергетика и транспорт, 1970, № 1. 5. Кадымов Я. Б., Мамедов А. Н., Алиев Н. Х. Об оптимальном управлении системами с распределенными параметрами. "За технический прогресс", 1974, № 4.

АзИИ им. Ч. Ильдрыма,  
ИИИИ Нефтехимавтомат,  
Институт кибернетики

Поступило 20.V.1974

Я. Б. Гадимов, А. Н. Мамедов, Е. М. Зейналова

Најланымыш параметрлар системаларин оптимал идарә едилемәси учун  
әдәди үсүл

## ХУЛАСО

Мәгәләдә вариасија һесабындан истифадә едиәрәк, телеграф тәнлиги илә ифадә олуван најланымыш параметрлар бирчынс системаларин оптимал идарә едилемәси учун әдәди үсүл тәклиф едилеминидир.

Бунун учун најланымыш параметрлар систем импулслу системә көтирилмениң ва бунунда да јук моменти илә фырланым сүр'әти арасында асылылыг тә'жин едилеминидир. Бу асылылыгдан Ейлер тәнлигинде истифадә едиәрәк, оптимал идарәни тә'жин етмәјә имкан берән рекуррент мұнасибатлар алғынышындыр.

Я. Б. Kadimov, A. N. Mamedov, E. M. Zeynalova

Numerical method of calculation for the optimal control  
in systems with distributed parameters

## SUMMARY

Numerical method of calculation for the optimal control in uniform systems with distributed parameters describing with the telegraphic equations by using variational calculation method is given.

Акад. Г. Ф. СУЛТАНОВ, О. А. БЕЛОУСОВА, Ф. И. ИСАЕВА,  
Т. М. ШАПОШНИКОВА

## ПОСТРОЕНИЕ НА ЭВМ ПРОМЕЖУТОЧНЫХ ОРБИТ АСТЕРОИДОВ СЕМЕЙСТВА ГЕКУБЫ

Уравнения движения плоской ограниченной круговой задачи трех тел, написанные в кеплеровских или в канонических элементах, имеют вид

$$\left. \begin{aligned} \frac{dx}{dt} &= \eta X(x, y) \\ \frac{dy}{dt} &= \omega(x) + \mu y(x, y) \end{aligned} \right\} \quad (1)$$

где  $x$ —двухмерный вектор медленных переменных,  $y$ —двеумерный вектор быстрых переменных, а функции  $X$  и  $Y$  представляются двойными рядами Фурье по кратным аргументам  $y$ , коэффициенты которых в свою очередь являются степенными рядами относительно переменных  $x$ .

Функции  $X$ ,  $Y$  выражаются формулами,

$$\left. \begin{aligned} X(x, y) &= \sum_{|k|>0} X_k(x) e^{iky} \\ Y(x, y) &= \sum_{|k|>0} Y_k(x) e^{iky} \end{aligned} \right\} \quad (2)$$

где  $|k|=|k_1|+|k_2|$ .

Общее решение системы (1) неизвестно, поэтому для нахождения приближенного решения ее могут быть использованы различные асимптотические методы, среди которых имеются методы, основанные на схемах осреднения. В частности, если средние движения астероида и Юпитера соизмеримы или близки к соизмеримости ( $\kappa_1 n^{10} - \kappa_2 n^1 = 0$ ), то наиболее целесообразной схемой осреднения является схема Делоне—Хилла [2, 3].

Согласно этой схеме уравнения (1) заменяются системой

$$\left. \begin{aligned} \frac{d\bar{x}}{dt} &= \mu \bar{X}(\bar{x}, \bar{y}) \\ \frac{d\bar{y}}{dt} &= \omega(\bar{x}) + \mu \bar{Y}(\bar{x}, \bar{y}) \end{aligned} \right\} \quad (3)$$

где правые части  $\bar{X}$ ,  $\bar{Y}$  представляют собой средние интегральные значения функций  $X$ ,  $Y$ . Они выражаются равенствами

$$\bar{X}(\bar{x}, \bar{y}) = \sum_{|k|=0}^{\infty} \bar{X}_{\bar{s}k_1, \bar{s}k_2}(\bar{x}) e^{isD} \quad (4)$$

$$\bar{Y}(\bar{x}, \bar{y}) = \sum_{|k|=0}^{\infty} \bar{Y}_{\bar{s}k_1, \bar{s}k_2}(\bar{x}) e^{isD},$$

где  $D$  представляет собой аномалию Делоне, которая для плоского варианта ограниченной круговой задачи трех тел определяется по формуле

$$D = \bar{\kappa}_1 \bar{y}_1 + \bar{\kappa}_2 \bar{y}_2, \quad (5)$$

где показано, что  $\bar{\kappa}_1 = \frac{n_1}{n^{(0)}}$  и  $\bar{\kappa}_2 = \frac{n_2}{n^{(0)}}$ .

$n^{(0)}$  — среднее движение астероида.

Удобно вместо системы (3) рассматривать систему, где уравнение для  $y_1$  заменено уравнением для  $D$ . Эта система имеет вид:

$$\left. \begin{aligned} \frac{d\bar{x}_1}{dt} &= \mu \bar{X}_1(\bar{x}_1, \bar{x}_2, D) \\ \frac{d\bar{x}_2}{dt} &= \mu \bar{X}_2(\bar{x}_1, \bar{x}_2, D) \\ \frac{dD}{dt} &= \omega_1(\bar{x}_1) + \mu \bar{Y}_1(\bar{x}_1, \bar{x}_2, D) \\ \frac{d\bar{y}_2}{dt} &= \omega_2 + \mu \bar{Y}_2(\bar{x}_1, \bar{x}_2, D) \end{aligned} \right\} \quad (5)$$

Н. Д. Моисеевым [2] получена полная система первых интегралов дифференциальных уравнений (5). Эти интегралы имеют вид:

$$\sqrt{\bar{x}_1} - \frac{\bar{\kappa}_1}{\bar{\kappa}_2} \sqrt{\bar{x}_2} = C_1 \quad (6)$$

$$f_1(\bar{x}_1, \bar{x}_2, D) = C_2 \quad (7)$$

$$t - t_0 = \int_{\bar{x}_1}^{\bar{x}_2} \frac{dD}{f_2(\bar{x}_1, \bar{x}_2, D)} \quad (8)$$

$$\bar{y}_2 = \int_{t_0}^t f_3(\bar{x}_1, \bar{x}_2, D) dt + C_3. \quad (9)$$

Функции

$$f_1(\bar{x}_1, \bar{x}_2, D), f_2(\bar{x}_1, \bar{x}_2, D), f_3(\bar{x}_1, \bar{x}_2, D)$$

являются алгебраическими функциями правых частей уравнений (5) и представляют собой также тригонометрические ряды по кратным аномалиям Делоне, коэффициенты которых являются степенными рядами относительно переменных  $\bar{x}_1$  и  $\bar{x}_2$ .

Равенства (6)–(9) дают неявную зависимость от времени переменных  $\bar{x}_1$ ,  $\bar{x}_2$ ,  $\bar{y}_2$  и  $D$  (или  $y_1$ ), а для построения теории движения

конкретных астероидов необходимо иметь явные зависимости этих переменных от времени.

Следует отметить, что, несмотря на принципиальную возможность обращения интегралов (6)–(9), фактическое их обращение связано с большим объемом аналитических операций.

В работах [4] и [5], где рассматривалось построение явных решений задачи трех тел, описывающих движение резонансных астероидов группы Геотин и Минервы, использованы аналитический метод и метод полуаналитического программирования, в которых сочетались аналитические операции над рядами с использованием ЭВМ БЭСМ-6 для коэффициентов аналитических выражений.

В отличие от этих работ мы строили среднеквадратическую аппроксимацию первых интегралов осредненной задачи трех тел тригонометрическими полиномами по кратным аномалии Делоне  $D$ .

Чтобы получить из приведенных интегралов (6)–(9) переменные  $\bar{x}_1, \bar{x}_2, \bar{y}_1, \bar{y}_2$  в виде явных функций времени  $t$ , т. е.  $\bar{x}_1 = \bar{x}_1(t); \bar{x}_2 = \bar{x}_2(t); \bar{y}_1 = \bar{y}_1(t); \bar{y}_2 = \bar{y}_2(t)$ , необходимо прежде всего получить из соотношений (6) и (7) явные функциональные зависимости  $\bar{x}_1 = \bar{x}_1(D)$  и  $\bar{x}_2 = \bar{x}_2(D)$ . Из интеграла (3) имеем

$$\bar{x}_1 = \frac{\bar{x}_1^2}{\bar{x}_2^2} \left( \bar{x}_2 + C_1^2 + 2C_1 \sqrt{\bar{x}_2} \right). \quad (10)$$

Подставляя это выражение в интеграл (7), получим

$$F(\bar{x}_2, D) = C_2, \quad (11)$$

где левая часть уравнения представляет собой алгебраический ряд относительно величины  $\bar{x}_2$ , коэффициентами которого являются тригонометрические ряды по кратным аномалии Делоне  $D$ .

Ищем решение этого уравнения в виде ряда

$$\bar{x}_2 = \sum_{j=0}^4 \bar{x}_{2j} \cos jD. \quad (12)$$

Решение уравнения (11) в виде ряда (12) существует [3] и нахождение выражения (12) сводится к определению коэффициентов  $\bar{x}_{2j}$ . Для определения этих коэффициентов мы применяем метод наименьших квадратов, который и дает нам среднеквадратическое приближение решения уравнения (11).

Схема применения метода наименьших квадратов следующая. Придаем аномалии Делоне  $D$  значения  $0^\circ, 3^\circ, 6^\circ, \dots, 180^\circ$  и для них вычисляем из уравнения (11)  $\bar{x}_2$ . Подставляя каждое из полученных значений  $\bar{x}_2$  и соответствующее ему значение  $D$  в уравнение (12), мы получаем систему уравнений для определения коэффициентов  $\bar{x}_{2j}$ . Эта система имеет вид:

$$\left. \begin{aligned} \bar{x}_{2,0} + \bar{x}_{2,1} \cos D_1 + \bar{x}_{2,2} \cos 2D_1 + \bar{x}_{2,3} \cos 3D_1 + \dots &= \bar{x}_2^{(1)} \\ \bar{x}_{2,0} + \bar{x}_{2,1} \cos D_2 + \bar{x}_{2,2} \cos 2D_2 + \bar{x}_{2,3} \cos 3D_2 + \dots &= \bar{x}_2^{(2)} \\ \bar{x}_{2,0} + \bar{x}_{2,1} \cos D_{61} + \bar{x}_{2,2} \cos 2D_{61} + \bar{x}_{2,3} \cos 3D_{61} + \dots &= \bar{x}_2^{(61)} \end{aligned} \right\} \quad (13)$$

где  $\bar{x}_2^{(i)}$  — решение уравнения (12) для соответствующего значения  $D_i$ . Система (13) содержит 61 уравнение, и поэтому для нахождения

ее решения методом наименьших квадратов необходимо сохранить число неизвестных не более 61.

Практически для задач небесной механики, связанных с построением аналитических теорий движения малых планет, оказывается достаточным сохранить неизвестные

$$\bar{x}_{2,0}; \bar{x}_{2,1}, \bar{x}_{2,2}, \bar{x}_{2,3}, \bar{x}_{2,4}.$$

Решая систему (13) методом наименьших квадратов, находим для каждого конкретного астероида числовые значения неизвестных  $\bar{x}_{2j}$

$$\bar{x}_2 = \sum_{j=0}^4 \bar{x}_{2,j} \cos jD. \quad (14)$$

Используя соотношение (10), можно получить также явную зависимость  $\bar{x}_1$  как функции аномалии Делоне  $D$  в виде тригонометрического полинома

$$\bar{x}_1 = \sum_{j=0}^4 \bar{x}_{1,j} \cos jD. \quad (15)$$

Для определения  $\bar{y}_2 = \bar{y}_2(D)$  и  $t = t(D)$  необходимо подставить полиномы (14) и (15) в правые части выражений (8) и (9), а затем проинтегрировать их в заданных пределах. Эти достаточно громоздкие операции запрограммированы и выполнены на ЭВМ.

Таким образом, получены явные аналитические зависимости элементов  $\bar{x}_1, \bar{x}_2, \bar{y}_1, \bar{y}_2$  как функции аномалии Делоне  $D$ , а также зависимость  $t = t(D)$ .

Эти формулы имеют вид (16):

$$\left. \begin{aligned} \bar{x}_1 &= \sum_{j=0}^4 \bar{x}_{1,j} \cos jD \\ \bar{x}_2 &= \sum_{j=0}^4 \bar{x}_{2,j} \cos jD \end{aligned} \right\} \quad (16)$$

$$\bar{y}_1 = \bar{y}_1^{(0)} + \bar{y}_1^{(1)} D + \sum_{j=0}^4 \bar{y}_{1,j} \sin jD$$

$$\bar{y}_2 = \bar{y}_2^{(0)} + \bar{y}_2^{(1)} D + \sum_{j=0}^4 \bar{y}_{2,j} \sin jD$$

$$t - t_0 = T_0^{(0)} + T_0^{(1)} D + \sum_{j=0}^4 T_j \sin jD.$$

Формулы (16) служат промежуточной орбитой для построения теории возмущения резонансных астероидов.

#### ЛИТЕРАТУРА

- Гребенников Е. А. „Бюллетень Института теоретической астрономии АН СССР“, 11, № 5 (128), 1968.
- Моисеев Н. Д. Труды Гос. астрон. ин-та им. П. К. Штренберга, 15, ч. 1, 1945.
- Гребенников Е. А., Рябов Ю. А. Новые

качественные методы в небесной механике. М., «Наука», 1968, 4. Караганчу, Б. Х. Сб. трудов молодых ученых Кишиневского политехнического института им. С. Лазо. Кишинев, 1969. 5. Приходько, В. А. Построение яиных решений задачи трех тел методом полуаналитического программирования. ИТЭФ, М., 1973.

ШАО

Поступило 20. V 1974

Акад. Б. Ф., Султанов, О. А., Белоусова, Ф. И., Исаева,  
Т. М. Шапошникова

Гекуба айләсингә мәнсүб олан астероидләрин орта  
(аралыг) орбитләринин ЕhМ-дә гурулмасы

ХУЛАСӘ

Мәғамәдә орта һәрәкәти ујгун өлчүлү, йаҳуд Юпитерин орта һәрәкәти иле  $\frac{1}{2}$ -ә йаҳын өлчүлү олан Гекуба групunas мәнсүб резонанс астероидләрин һәрәкәтими ифадә едән мүстәви динәрәни мәһідуд үч чиеси мәсәләсүнн орта гијметли гејри-хәтти дифференциал тәнликләрни дәгиг һәлләринин конструктив гурулмасына бахыллыр.

Бу дәгиг һәлл Гекуба групunas мәнсүб астероидләрин әдәди аналитик һәрәкәт иәзәрийәләринин гурулмасында биринчи йаҳынлышмадыр. Бу мәгсәд үчүн ЕhМ-дә әдәди метод ишиләммишdir.

И. F. Sultanov, O. A. Belousova, F. I. Isaeva,  
T. M. Shaposhnikova

The build-up of the intermediate orbits of the asteroids  
of the Hecuba family with the electronic computer

SUMMARY

A constructive build-up of the exact solutions of the averaging nonlinear differential equations of the flat circular restricted problem of three bodies describing the motion of the resonance asteroids of the Hecuba group whose mean motions are commensurable or close to commensurability 1/2 with the Jupiter's mean motion are considered. This exact solution is the first approximation for the build-up of the numerically analytic theories of the motion of asteroids of the Hecuba group. For this purpose the authors have worked out a numerical method on the electronic computer.

АЗӘРБАЙЧАН ССР ЕЛМЛӘР АКАДЕМИЯСЫНЫН МӘРҮЗӘЛӘРИ

ДОКЛАДЫ АКАДЕМИИ НАУК АЗЕРБАЙДЖАНСКОЙ ССР

ТОМ XXXI ЧИЛД

№ 7

1975

УДК 542.958.1:547.313

НЕФТЕХИМИЯ

Член-корр. М. А. МАРДАНОВ, И. Г. АЛЕКПЕРОВА

УЛУЧШЕНИЕ ЭКСПЛУАТАЦИОННЫХ СВОЙСТВ ТОПЛИВА  
Т-1 ВВЕДЕНИЕМ АМИНОЙ ПРИСАДКИ

В литературе имеются данные по улучшению термической стабильности реактивных топлив введением аминных присадок, таких как высокомолекулярные алифатические амины (октадециламины, дюктацетиламины), сополимер додецилметакрилата и диэтиламиноэтилметакрилата и аминотиолы [1, 2, 3].

В данной статье приводятся результаты исследования по синтезу аминных присадок и изучения влияния их на качества реактивного топлива Т-1.

Амин был синтезирован путем восстановления нитрованного промышленного сырья — тетрамера пропиленена, являющегося продуктом полимеризации пропиленена, полученного над фосфорникслотным катализатором.

Ранее нами было установлено, что исчерпывающее нитрование протекает при мольном соотношении тетрамера пропиленена к азотной кислоте 1:6 [4].

В табл. 1 приводятся качества исходного и нитрованного тетрамера пропиленена. Выход нитросоединения на исходную смесь составляет 46 вес.%, а крепость отработанной кислоты — 16%.

Восстановление нитросоединений проводилось в автоклаве при температуре 120 и 180°C, давлениях 60—120 атм, в отсутствии промышленных катализаторов NiCr и Ni на кизельгуре в количестве 15—20% на нитропродукт, а также разбавителя этилового спирта в соотношении продукта к спирту от 1:5 до 1:10.

Полученный гидрогенизат высушился, но реакции Мейера в нем определялось наличие нитросоединений, а затем он подвергался разгонке. Вначале отгонялся спирт, а затем амин, выход которого составлял 26 вес.%.

В результате проведенных исследований было установлено, что наилучший результат получается при проведении процесса под давлением водорода 120 атм, в отсутствии катализатора Ni на кизельгуре в количестве 15 вес.% при температуре 180°C.

В табл. 2 приводятся физико-химические константы амина, полученного при выбранных оптимальных условиях.

Амины тетрамера пропиленена имеют большие йодные числа. Это, по-видимому, можно объяснить тем, что при восстановлении высокомолекулярных нитросоединений происходит частичное их разложение.

Таблица 1

Показатели	Тетрамер пропилена	Нитротетрамер пропилена
Плотность $\rho_4^{20}$	0,7810	1,068
Коэф. преломления $n_D^{20}$	1,4420	1,4793
Молекулярный вес	173,4	260
Кинематическая вязкость сст. при $+20^\circ\text{C}$	1,9	40,1
Подное число, 1 г J на 100г продукта	260	0
Элементарный состав, вес. %:		
C	79,9	55,57
H	12,87	9,86
N	—	14,79
O	7,2	19,78
Содержание группы $\text{NO}_2$ , вес. %.	—	29,4

Таблица 2

Фракции амина	Выход амина на нитросоединение, вес. %	Плотность, $\rho_4^{20}$	Коэффициент преломления, $n_D^{20}$	Молекулярный вес	Подное число, 1 г йода на 100 г продукта
1. Неотогнанная (сырая)	—	0,9215	1,4752	210	59,5
2. Отогнанная на следующие фр., $^\circ\text{C}$					
100—150	11,5	0,8257	1,4434	141,4	73,6
150—200	2,5	0,8420	1,4464	156,8	78,0
200—250	5,5	0,8665	1,4523	169,9	78,6
250—280	8,0	0,8910	1,4654	217,7	78,5
150—280	26,0	0,8813	1,4633	240,0	75,0

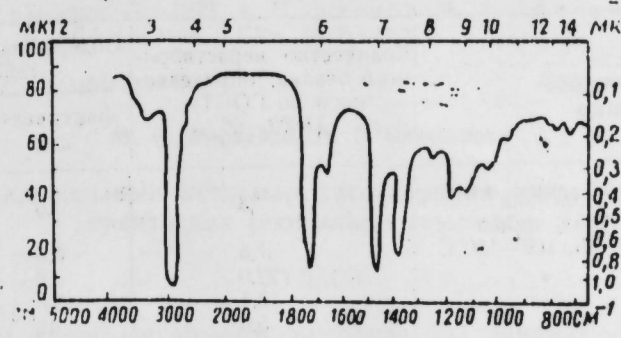
Наличие аминогрупп в аминах определялось спектроскопическим методом на спектрофотометре ИКС-22 в области  $4000—750 \text{ см}^{-1}$  между двумя пластинками, при условии механизма кратности шкалы щели  $4,0—4,5 \mu$  (рисунок).

В спектрах анализируемых фракций обнаружены полосы поглощения, относящиеся к первичным и вторичным аминам ( $3400—3300 \text{ см}^{-1}$ ,  $1020—1180 \text{ см}^{-1}$  и  $1650—1580 \text{ см}^{-1}$ ).

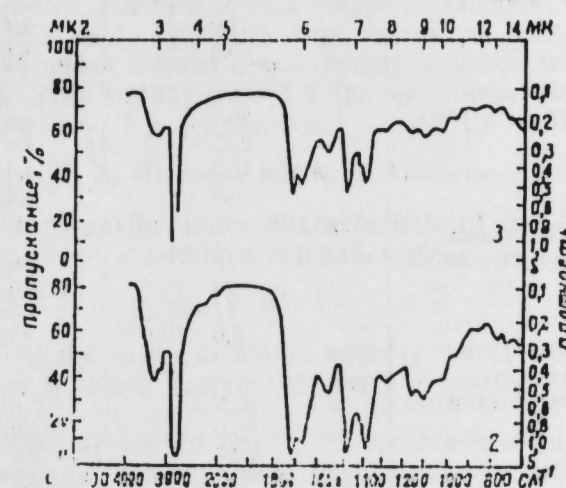
На основании полученных ИК-спектров, а также физико-химических констант можно предположить, что редакция восстановления нитросоединений протекала с образованием алифатических аминов.

С целью изучения влияния полученных аминов на качества реактивного топлива Т-1 нами проводились многочисленные исследования, которые показали, что добавляемые присадки не изменяют основные характеристики топлива и почти одинаково влияют на термическую стабильность, содержание растворимых смол, а также коррозию.

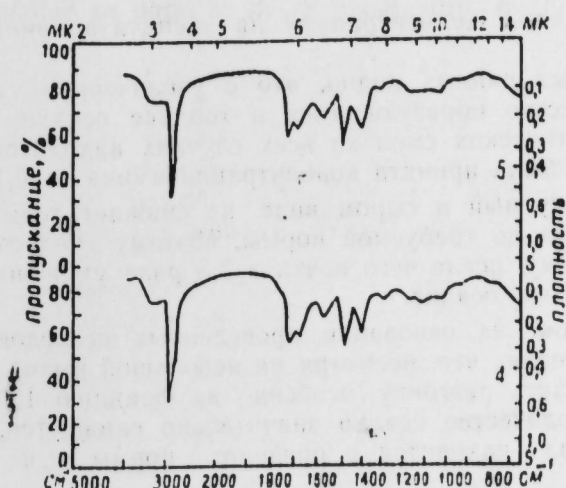
В табл. 3 приводятся результаты влияния отдельных фракций



a



б



в

Рис. a) 1 — фракция 100—150 $^\circ\text{C}$ ; б) 2 — фракция 150—200 $^\circ\text{C}$ ; 3 — фракция 200—250 $^\circ\text{C}$ ; в) 4 — фракция 250—280 $^\circ\text{C}$ ; 5 — фракция 150—280 $^\circ\text{C}$ .

Таблица 3

Наименование топлива	Количество нерастворимого осадка, определяемого по ГОСТу 11802-66	Содержание смол, ГОСТ 1567-56	
		фактических	растворимых
Топливо Т-1 без присадки	33	3,6	86
Топливо Т-1+0,005% амина фр. 100-150°C	31,5	3,6	87
То же + 0,01%	22,0	3,8	90
То же + 0,05%	13,1	3,6	103
То же + 0,1 %	5,0	3,6	116
Топливо Т-1+0,095% амина фр. 150-200°C	30,0	4,0	89
То же + 0,01%	23,4	4,0	92
То же + 0,05%	17,0	4,4	102
То же + 0,1 %	5,8	4,4	115
Топливо Т-1+0,005% амина фр. 150-250°C	30,7	3,8	88
То же + 0,01%	22,5	4,0	91
То же + 0,05%	15,7	4,0	101
То же + 0,1 %	5,3	4,4	116
Топливо Т-1+0,005% амина фр. 150-280°C	30	4,0	89
То же + 0,01%	23	4,0	91
То же + 0,05%	17	4,5	101
То же + 0,1 %	5,6	4,8	110,8
Топливо Т-1+0,05% сырого амина (неотгонного)	32,5	5,0	24,5
То же + 0,01%	29,0	5,0	28,3
То же + 0,05%	22,3	5,6	58,4
То же + 0,1 %	14,7	5,6	71,6

аминов в различных концентрациях на эксплуатационные свойства топлива Т-1.

Из полученных данных видно, что с увеличением концентрации присадок количество образующегося в топливе осадка уменьшается, содержание фактических смол во всех случаях находится в пределах нормы. Поэтому была принята концентрация амина — 0,1 вес. %.

Амин, используемый в сыром виде, не снижает термическую стабильность топлива до требуемой нормы, поэтому целесообразно осуществить перегонку, после чего почти в 2,5 раза уменьшается количество образующегося осадка.

Таким образом, на основании проведенных исследований можно прийти к заключению, что, несмотря на небольшой выход амина, целесообразно проводить разгонку, особенно на фракцию 150—280°C, так как при этом количество осадка значительно снижается, содержание фактических смол находится в пределах нормы и не корродирует металлы.

#### ЛИТЕРАТУРА

1. Вольф М. Б. Химическая стабилизация моторных и реактивных топлив. Изд-во «Химия», М., 1970.
2. Чертков Я. Б. Современные и перспективные углеводородные реактивные и дизельные топлива. Изд-во «Химия», 1968.
3. Болык

шаков Г. Ф. Физико-химические основы образования осадков в реактивных топливах. Изд-во «Химия», Л., 1972. 4. Марданов М. А., Алексперова Н. Г., Садыхова Р. Б. «ДАН Азерб. ССР», № 6, 1972.

ИИХП им. Ю. Г. Мамедалиева

Поступило 24. VI 1974

М. Э. Марданов, Н. Г. Элекбэрова

#### T-1 йаңачағынын истиスマр хассәләринин амин ашгары васитәсилә јаҳышлашдырылмасы

#### ХУЛАСЭ

Мәгәләдә амин ашгарынын тә'сирилә T-1 йаңачағынын истиスマр хассәләринин јаҳышлашдырылмасынын иәтичәләри верилмишdir.

Амин тетрамер фраксијасынын нитролашмасы вә соңра никел катализаторларынын иштиракы илә һидрокеңләшдирилмәси јолу илә алымышдыр. Реаксија мұхтәлиф температур вә тәэжірг шәрантнинде аппаратында шәрант сечилмишdir. Көстәрилмишdir ки, амин ашгарыны 0,1% чәки мигдарында T-1 йаңачағына әлавә етдикдә, онун термики стабиллитеи 4—5 дәфә азалыр.

M. A. Mardanov and N. G. Alekperova

#### Improvement of performance characteristic of fuel-1 by amine additive introducing

#### SUMMARY

The results of the study of amine additive effect obtained by nitration of propylene tetramer fraction followed by its reduction have been presented.

The reduction was carried out in the presence of nickel catalysts at different pressures and temperatures; the optimum conditions have been chosen.

The introducing of amine additive (0,1% by weight) into the fuel-1 has been established to improve its thermostability by factor of 4—5.

The results of the study of amine additive effect obtained by nitration of propylene tetramer fraction followed by its reduction have been presented. The reduction was carried out in the presence of nickel catalysts at different pressures and temperatures; the optimum conditions have been chosen. The introducing of amine additive (0,1% by weight) into the fuel-1 has been established to improve its thermostability by factor of 4—5.

The results of the study of amine additive effect obtained by nitration of propylene tetramer fraction followed by its reduction have been presented. The reduction was carried out in the presence of nickel catalysts at different pressures and temperatures; the optimum conditions have been chosen. The introducing of amine additive (0,1% by weight) into the fuel-1 has been established to improve its thermostability by factor of 4—5.

В. Г. АБДУЛЛАЕВ  
Г. Т. ГУТИЕВ  
**УСЛОВИЯ ПЕРЕЗИМОВКИ МАСЛИНЫ  
НА АПШЕРОНСКОМ ПОЛУОСТРОВЕ**

(Представлено академиком АН Азербайджанской ССР Г. А. Алиевым)

Маслина — вечнозеленое субтропическое растение. Она достаточно хорошо развивается как в сухих, так и во влажных субтропиках. Культура маслины в основном сосредоточена в средиземноморских странах. В Азербайджанской ССР маслина в основном выращивается на Апшеронском полуострове, хотя климатические условия равнинных и предгорных районов позволяют значительно расширить площадь ее посадок. Общая площадь маслиновых насаждений, имеющих промышленное значение, на Апшеронском полуострове составляет около 1000 га.

Для нормального роста, развития и плодоношения маслина требуется суммы температур выше  $10^{\circ}$  — около  $4000^{\circ}$ . Она засухоустойчива и ветроустойчива. Среди вечнозеленых плодовых растений по морозостойкости маслина стоит на первом месте, уступая только чаю.

По утверждению разных авторов (И. М. Ахундзаде, Г. Т. Селянинов, И. А. Жигаревич, Г. Т. Гутинев и др.), критическая температура повреждения маслины колеблется от  $-8^{\circ}$ ,  $-10^{\circ}$ , приводящих к слабым повреждениям, до  $-17^{\circ}$ ,  $-22^{\circ}$ , приводящих к полной гибели или отмерзанию растения до корневой шейки. Степень повреждения маслины при низких температурах зависит от величины температуры в опасных пределах, длительности ее воздействия, наличия или отсутствия снежного покрова, подготовленности растения к периоду относительного покоя, увлажнения почвы к моменту воздействия низких температур, скорости ветра и других причин.

Нами обобщены случаи повреждения маслины на Апшероне в январе 1946 г. и зимой 1949—50 г., известные из литературных источников (С. И. Петяев, 1951; Г. Т. Гутинев, 1958), и пополнены данными за 1964, 1969 и 1972 гг. Кроме того, освещена метеорологическая обстановка в период повреждения маслины (таблица).

В январе 1946 г. маслиновая плантация в Маштагинском субтропическом совхозе отмерзла до уровня снега. При среднемесячной температуре воздуха в январе  $+2,6^{\circ}$  наблюдались периоды с отрицательными минимальными температурами, доходящими в отдельные дни до  $-5$ ,  $-8^{\circ}$ . В конце месяца при повторном похолодании морозы усилились. 27 января минимальная температура воздуха составила  $-4,6^{\circ}$ , а

Метеорологические показатели в период повреждения маслины  
в Маштагинском субтропическом совхозе

Год	Возраст плантации (год посадки)	Наиболее низкие тем- пературы воздуха, $^{\circ}\text{C}$	Максималь- ная высота снежного покрова, см	Максималь- ная скорость ветра, м/сек	Характер повреждений
1946	1938	$-16,0$	23	40	Отмерзание до уровня снега
1950	—	$-13,1$	54	34	Гибель всей кроны, опадание листьев, поломка ветвей снегом
1964	1958	$-10,7$	25	28	Повреждение небольшой части кроны, листьев и молодых побегов
1969	1958	$-10,7$	17	20	Подмерзание верхушек побегов, побурение листьев, повреждение некоторой части кроны
1972	1958	$-11,9$	57	36	Выгорание листьев, поломка ветвей, растрескивание коры, гибель половины кроны

28 января снизилась до  $-16,0^{\circ}$ , в последующие несколько дней она удерживалась в пределах  $-2^{\circ}$  —  $6^{\circ}$ . Ветры, как известно, вызывают усиленную отдачу воды листьями и обезвоживают их, тем самым уменьшая морозостойкость растений (С. И. Петяев, 1951). В январе 1946 г. выпало 19 мм осадков, что почти в два раза меньше многолетней месячной нормы. Снежный покров в период 27—28 января был наибольшим и достигал 20 см. Ветер временами достигал 40 м/сек и не позволял снегу удерживаться на ветвях. Так, в результате взаимодействия сильного, хотя и кратковременного, мороза и ветра отмерзли растения.

В январе—феврале 1950 г. маслиновые деревья потеряли крону, поломались ветви. До первой декады января в отдельные дни наблюдалась, хотя и замедленная, вегетация маслины. Этому способствовало и достаточное количество осадков, превысивших в декабре норму почти в два раза. Однако известно, что зимний рост снижает морозостойкость растений.

Морозы начались 11—14 января, когда минимальная температура воздуха снизилась на фоне отрицательных средних суточных температур до  $-10,4^{\circ}$  15 января,  $-13,1^{\circ}$  16 января и  $-12,3^{\circ}$  17 января при среднесуточной температуре воздуха  $-7,2^{\circ}$ ,  $-8,8^{\circ}$  и  $-6,8^{\circ}$  соответственно. Это был период самых низких температур в зиму 1949—1950 г. Снегонад начался 12 января и продолжался несколько дней. К моменту наступления абсолютного минимума высота снежного покрова превышала 50 см.

Критических пределов температура достигла повторно 27—29 января и 8—9 февраля ( $-9$ — $-11^{\circ}$ ). Снежный покров удерживался до третьей декады февраля, средняя суточная температура все это время была ниже нуля, ветер в отдельные дни достигал 20—30 м/сек.

Таким образом, причиной отмерзания кроны явились температура воздуха ниже критического предела и мощный снежный покров, тяжесть которого не выдерживали ветви. Ситуация усугубилась снижением морозостойкости растений вследствие зимней вегетации.

В январе 1964 г. у маслины в Маштагинском субтропическом совхозе были повреждены молодые побеги, листья и небольшая часть кроны

Декабрь предыдущего года имел среднесуточную температуру воздуха  $4,5^{\circ}$  и абсолютный минимум  $-3,4^{\circ}$ . В первой половине января 1964 г. среднесуточная температура была положительной, а минимальная не опускалась ниже  $-4^{\circ}$ . 18 января начались похолодание и снегопад. В период с 19 по 22 января минимальная температура удерживалась в пределах  $-8^{\circ}, -10^{\circ}$ , а самая низкая температура равнялась  $-10,7^{\circ}$ ; снежный покров в это время был наибольшим в эту зиму и имел высоту 25 см, а скорость ветра достигала 28 м/сек. В конце января еще один день имел минимальную температуру, близкую к критической, а в феврале метеорологические условия не были уже неблагоприятными.

Конец осени и начало зимы данного года были благоприятными для закалки, условия для зимней вегетации не наблюдались. К моменту воздействия низких температур маслина достаточно подготовилась к перезимовке, и этим можно объяснить незначительность повреждений при 4-дневных сильных морозах.

Условия перезимовки в зиму 1968—1969 г. сложились аналогичные зиме 1963—1964 г. как по характеру метеорологических условий, так и по степени повреждения маслины (см. таблицу).

Метеорологические условия зимы 1971—1972 г. были благоприятны для развития почек и роста побегов. Среднесуточная температура воздуха в первой половине декабря не опускалась ниже  $+8^{\circ}$ , минимальная была около июля только 4 дня, а абсолютно минимальная не опускалась ниже  $-3,2^{\circ}$ . В этот период выпало около 100 мм осадков, что почти в 2,5 раза больше нормы и также характеризует условия как благоприятные для зимнего роста.

Однако начиная с 14 января 1972 г. температура начала резко снижаться. 15 января начался снегопад, а 19 января температура достигла критического минимума ( $-11,9^{\circ}$ ). До 26 января она удерживалась в пределах  $-8^{\circ}$ ,  $-10^{\circ}$ . Высота снежного покрова достигала одного метра. Кроны были покрыты снегом; ветки ломались под его тяжестью, хотя скорость ветра за все это время не достигала даже 1 м/сек.

В первой половине февраля минимальная температура была близкой к критической, а однажды снизилась до  $-10,3^{\circ}$ . Снежный покров был намного меньше, чем в январе, а скорость ветра достигала 36 м/сек.

Причиной гибели маслины в зиму 1971—1972 г. можно считать длительное воздействие критических температур, значительный снежный покров, приводящий к поломке ветвей (снеголом), а также недостаточная подготовленность растений к условиям зимовки вследствие зимней вегетации.

Проведенный анализ метеорологических условий в период повреждения маслины позволяет заключить, что на Апшероне основной причиной повреждения маслиновой плантации в зимний период являются сильные морозы, пагубное воздействие которых усугубляется обильным снегопадом и сильными ветрами. Слабое повреждение наблюдается при температуре  $-8^{\circ}$ ,  $-10^{\circ}$  длительностью 3–4 дня при наличии снежного покрова 20–30 см. Морозы с температурой  $-8^{\circ}$  наблюдаются на Апшероне 6 раз в 10 лет, с температурой  $-10^{\circ}$  — 4 раза в 10 лет. Сильное повреждение наблюдается при «минимальных» температурах  $-11$ ,  $-13^{\circ}$ . Морозы, достигающие  $-13^{\circ}$ , бывают 1 раз в 20 лет. Об

мерзание наблюдается при температуре  $-16^{\circ}$ , которая отмечается 1 раз в 100 лет.

Единственным неблагоприятным условием для выращивания маслины являются критически низкие температуры. На Апшероне такие низкие температуры, которые приводят к полной гибели, встречаются чрезвычайно редко. Учитывая вышеприведенное, можно считать, что Апшеронский полуостров является благоприятным местом для выращивания маслины.

ЛИТЕРАТУРА

1. Ахундзаде И. М. Азербайджан—основная база культуры маслины. «Социалистическое сельское хозяйство Азербайджана», № 1, 1952. 2. Гутиев Г. Т. Субтропическое плодовое растение. Сельхозгиз, М., 1958. 3. Жигаревич И. А. Культура маслины. Сельхозгиз, М., 1955. 4. Селянинов Г. Т. Перспективы субтропического хозяйства СССР в связи с природными условиями. Гидрометеониздат, Л., 1961.

Институт географии

Поступило 6. VIII 1974

**Абшерон жарымадасында зејтуи бағларынын**

ХУДАСЕ

Мәгәләдә 1946, 1950, 1964, 1969 вә 1972-чи илләрин юнивэрситеттән ажыратылғанда метеорологи шәрәиттөң әлверишили олмамасы илә әла гәдар Абшеронда зејтүн биткисинин бу вә ја дикәр дәрәчәдә зәдәләнеш мәси һаллары умумиләшдирилмиш вә изаһ едилмишdir.

Хүсүсэн һәм критик вә һәм дә ондан габагкы дөврләри метеорологи шәраити ишыгландырылыштыр. Зејтүн ағачының зәдәләнмәдәрәчесинин элверишли олмајан метеорологи шәраитин комплекси иләлагәси мүәյҗән едилемишидир. Биткиниң там мәһв олмасына сәбәолан критик һава температуралары ( $-16^{\circ}$ ) Абшерон јарымадасында һәм 100 илдә бир дәфә мұшақидә олунур.

V. G. Abdullah

#### Wintering conditions of olive at the Arsheron peninsula

## SUMMARY

The cases of different damage degrees of olive at the Apsheron on consequence of winter unfavourable meteorological phenomena in January—February of 1946, 1950, 1964, 1969, 1972 have been generalized in this article.

The meteorological conditions have been detailed at the critical moments and previous periods. The dependence of damage degree of olive according to the complex of unfavourable meteorological phenomena have been exposed.

It has been established, that the critical temperature at which the destruction of trees is observed, only once during 100 years at the Apsheron peninsula.

УДК 551.8(479.24)

ГЕОЛОГИЯ

Я. М. БАШИРОВ, О. А. МАРКАРОВА, В. А. ВЕЛИНЕВА, Н. А. АЛИЕВ

**К ВОПРОСУ ИСТОРИИ ТЕКТОНИЧЕСКОГО РАЗВИТИЯ СЕВЕРО-ЗАПАДНОЙ ЧАСТИ АПШЕРОНСКОГО АРХИПЕЛАГА (НА ПРИМЕРЕ СТРУКТУР б. АПШЕРОНСКОЙ И б. ДАРВИНА)**

(Представлено академиком АН Азербайджанской ССР Ш. Ф. Мехтиевым)

Банка Апшеронская и банка Дарвина расположены в северо-западной части Апшеронского архипелага. Тектонически обе складки относятся к одной антиклинальной зоне: б. Апшеронская — площадь Южная. Осевая линия в пределах б. Апшеронской имеет северо-запад-юго-восточное простирание, к югу она меняет свое направление и в пределах б. Дарвина уже имеет субмеридиональное направление. Соединение этих двух структур происходит посредством плоской седловины.

В геологическом строении складки б. Апшеронской принимают участие отложения от майкопа и диатома до верхнего плиоцена, а в скв. 17 вскрыты даже меловые отложения. Историю тектонического развития складки можно проследить по комплексу отложений от диатома до верхнего отдела продуктивной толщи включительно. С целью воссоздания истории развития складки, приуроченной к б. Апшеронской, была построена серия палеопрофилей, проходящих через скважины № 1, 1-ю структурную, 2-ю структурную, 17-ю, 11-ю, 21-ю и 16-ю. Построение палеопрофилей проводилось по общепринятой методике [5].

Как следует из рис. 1, ко времени образования диатомовой свиты б. Апшеронская уже представляла собой несколько асимметричную пологую структуру с относительно крутым юго-западным (угол падения 6°) и более пологим северо-восточным (3°) крыльями. Образование разрывов сплошности отложений в это время не отмечается.

В век отложения понтических осадков складка, по-видимому, испытывала мощный подъем, о чем свидетельствуют вскрытые мощности этих отложений (полная мощность понтического яруса вскрыта скважинами лишь на крыльях как юго-западном, так и северо-восточном), а по направлению к своду эти отложения полностью выклиниваются.

По-видимому, подъем, который начался еще в понтическое время осадконакопления, продолжался и в калинское время, в связи с

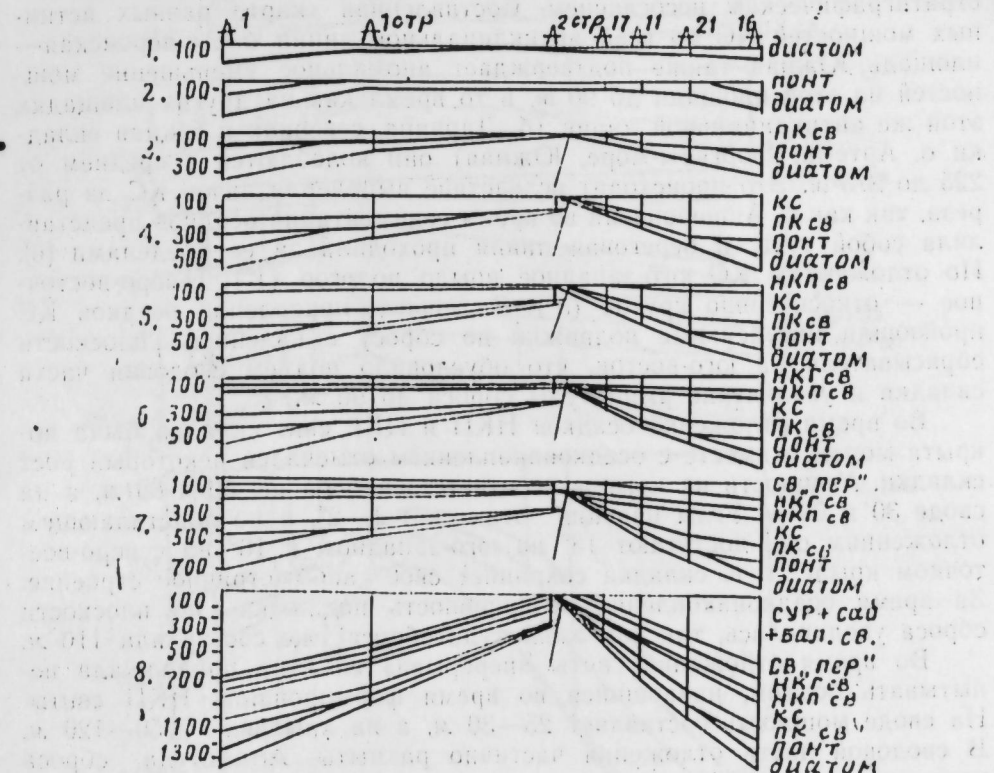


Рис. 1. Палеотектонические профили поднятия б. Апшеронской.  
1 — к концу отложения диатомовой свиты; 2 — к концу отложения понтического яруса; 3 — к концу отложения ПК свиты; 4 — к концу отложения КС; 5 — к концу отложения НКП свиты; 6 — к концу отложения НКГ свиты; 7 — к концу отложения свиты «перерыва»; 8 — к концу отложения верхних свит верхнего от-  
дела ПТ.

чем калинская свита, которая обнаружена в разрезах пробуренных скважин, отлагалась лишь на далекой юго-восточной периклинали складки.

В подкирмакинское время складка, за исключением сводовой части, погружаясь, покрывается морем. На это указывают сокращенные мощности в повышенных частях складки вплоть до полного выклинивания (скв. 2 структурная, расположенная на сводке), и увеличенные мощности этих отложений на крыльях (100—120 м). Углы наклона на обоих крыльях составляют 1°, а по подстилающим отложениям они увеличиваются до 8—12° в понтическом ярусе и 12—14° в диатомовой свите. В это время в сводовой части складки между скважинами 2 (структурная) и 17 образуется дизьюнктивное нарушение северо-запад-юго-восточного простирания с падением плоскости сбрасывателя под углом 70—75° и с вертикальной амплитудой смещения 10 м.

За время осадконакопления кирмакинской свиты (в первую половину) складка испытывает новый подъем и возвышается над уровнем моря. Таким образом, складка представляла собой сушу, и одновременно с ростом ее имел место перерыв в отложениях, в связи с чем низы КС в разрезах скважин отсутствуют. Об этом свидетельствуют электрокаротажная характеристика скважин и уменьшенные мощности КС, которые на крыльях колеблются в пределах 200—220 м, а на своде, где отложения КС сокращаются до 70—100 м, они залегают не-

непосредственно на диатомовой свите с ярко выраженным угловым и стратиграфическим несогласием. Составленная карта равных истинных мощностей КС по всей антиклинальной линии б. Апшеронская—площадь Южная также подтверждает аномальное уменьшение мощностей на этой площади до 90 м, в то время как на других площадях этой же антиклинальной линии (б. Дарвина, северная и южная складки о. Артема, Гюргяны-море, Южная) они колеблются в среднем от 225 до 275 м. Это происходит вследствие выпадения низов КС из разреза, так как б. Апшеронская во время седиментации осадков представляла собой сушу и береговая линия проходила за ее пределами [6]. По отложению КС юго-западное крыло пологое ( $1^{\circ}$ ), северо-восточное — относительно крутое ( $3^{\circ}$ ). За период накопления осадков КС произошли интенсивные подвижки по сбросу с падением плоскости сбрасывателя на юго-восток, что обусловило подъем сводовой части складки и увеличение амплитуды сброса до 90 м.

Во время отложения осадков НКП и НКГ свит складка была покрыта морем и вместе с осадконакоплением отмечался некоторый рост складки. Мощности на крыльях соответственно равны  $50^{\circ}$  и 80 м, а на своде 30 и 60 м. Углы падения этих свит  $1-2^{\circ}$ , а по подстилающим отложениям они достигают  $13^{\circ}$  на юго-западном и  $16^{\circ}$  на северо-восточном крыле, т. е. складка сохраняет свое асимметричное строение. За время осадконакопления интенсивность подвижки по плоскости сброса увеличилась, так как амплитуда сброса уже составляла 110 м.

Во время отложения свиты «перерыва» складка продолжала испытывать подъем, начавшийся во время формирования НКП свиты. На своде мощность составляет 25—30 м, а на крыльях — 50—120 м. В сводовой части отложения частично размыты. Амплитуда сброса увеличивается до 120 м.

Во время образования верхнего отдела продуктивной толщи угол наклона пластов сильно увеличился (до  $35^{\circ}$  на северо-восточном и  $24^{\circ}$  на юго-западном крыле по диатому). Мощность этих отложений на крыльях достигает 550—660 м, а в сводовой части складки отложения отсутствуют вовсе из-за размыва. Амплитуда смещения по подошве диатомовой свиты становится равной 140 м.

Аналогичная работа была проведена нами и по б. Дарвина (рис. 2), что дает возможность провести сравнение их развития во времени и пространстве. История тектонического развития б. Дарвина относится к периоду седиментации осадков от пояса до верхнего отдела ПТ включительно. Наиболее древними вскрытыми отложениями здесь являются поитические, которые полностью не вскрыты скважинами.

Ко времени образования ПК свиты б. Дарвина уже представляла собой асимметричную складку с относительно пологим западным ( $4^{\circ}$ ) и крутым восточным ( $5^{\circ}$ ) крыльями. Калинскую свиту здесь отсутствует и отложения ПК свиты непосредственно залегают на поитических. В некоторой степени они унаследовали рельеф дна бассейна седиментации, существовавший после отложения поитического яруса. Повидимому, складка испытывала подъем начиная с поитического времени. Этот подъем продолжался и в калинское время. Во время отложения ПК свиты складка частично погрузилась и оказалась ниже уровня моря: на крыльях мощность ПК свиты становится равной 60 м на западном и 105 м на восточном, а на своде и в при-сводовой части восточного крыла отложения отсутствуют. Таким образом, характер изменения мощности ПК свиты был обусловлен как тектоническими факторами, так и геоморфологическими.

В кирмакинское время вся складка была равномерно покрыта морем, о чем свидетельствуют сравнительно большие мощности на

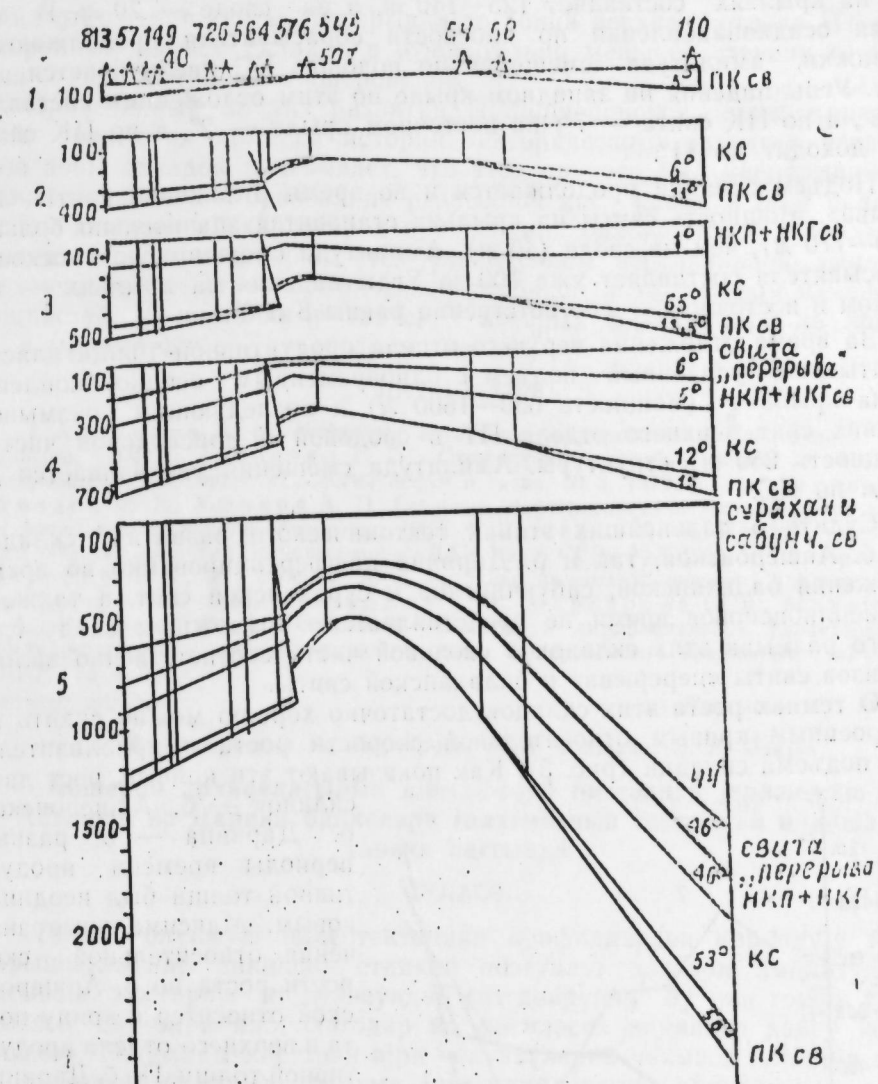


Рис. 2. Палеотектонические профили поднятия б. Дарвина.  
1 — к концу отложения подкирмакинской свиты; 2 — к концу отложения кирмакинской свиты; 3 — к концу отложения НКП+НКГ свиты; 4 — к концу отложения свиты «перерыва»; 5 — к концу отложения верхних свит верхнего отдела ПТ.

своде (150—180 м), а на крыльях они достигают 280 м (на западном) и 320 м (на восточном). Одновременно с осадконакоплением происходил рост складки. Во время отложения КС в присводовой части западного крыла в районе расположения скважин 564, 576, 545 образовалось нарушение сбросового характера, в результате чего сводовая часть и восточное крыло оказались приподнятыми относительно западного. В пределах последнего происходит интенсивное осадконакопление, в связи с чем здесь отмечаются максимальные значения мощности. Вертикальная амплитуда смещения составляет 45 м (по подошве КС). На западном крыле по отложениям КС углы падения —  $1^{\circ}$ , а по подстилающим отложениям —  $5^{\circ}$ , на восточном —  $6^{\circ}$ , а по подстилающим —  $11^{\circ}$ . Во время отложения свит НКП+НКГ, так же как и б. Апшеронской, структура была покрыта морем. Мощность отложе-

ний на крыльях составляет 125—140 м, а на своде — 70 м. В это время осадконакопления по плоскости сбрасывателя продолжаются подвижки, амплитуда смещения по подошве КС увеличивается до 90 м. Углы падения на западном крыле по этим отложениям составляют 2°, а по ПК свите — 7°; на восточном крыле — 2°, а по ПК свите уже доходят до 11°.

Подъем складки продолжается и во время отложения свиты «перерыва». Мощность свиты на крыльях становится значительно больше (160—170 м), чем на своде (40 м). Амплитуда смещения по плоскости сбрасывателя составляет уже 100 м. Углы падения на крыльях — западном и восточном — соответственно равны 8 и 6°.

За время отложения верхнего отдела продуктивной толщи иласти испытывают усиленный подъем с одновременным осадконакоплением на крыльях (мощность 630—1600 м) и последующим размывом верхних свит верхнего отдела ПТ в сводовой и присводовой частях (мощность 250 м) структуры. Амплитуда смещения увеличивается до 150 м по КС.

Судить о дальнейших этапах тектонического развития складок как б. Апшеронской, так и б. Дарвина дифференцировано во время отложения балаханскои, сабунчинской и сурханскои свит, а также в верхнеплиоценовое время не представляется возможным ввиду глубокого размыва этих складок в сводовой части соответственно вплоть до низов свиты «перерыва» и балаханскои свиты.

О темпах роста этих складок достаточно хорошо можно судить по построенным кривым относительной скорости роста и приблизительного подъема складки (рис. 3). Как показывают эти кривые, рост двух складок — б. Апшеронской и б. Дарвина — в разные периоды времени продуктивной толщи был неодинаковым. Максимальные значения относительной скорости роста по б. Апшеронской относятся к концу понтонии и верхнего отдела продуктивной толщи. По б. Дарвина имеются сведения о развитии складки начиная с подкирманского времени, когда значение относительной скорости роста складки составляло максимальную величину. Минимальные скорости роста по обеим складкам относятся к концу отложения НКГ свиты. Кривые подъема изображают постепенное увеличение высоты этих складок по мере наращивания осадков и складкообразования. Как следует из этих кривых, развитие складки б. Апшеронской опережало таковое б. Дарвина. Видимо, это связано с общим подъемом Кавказской складчатой линии, в частности, с подъемом Апшеронского порога, где северная часть поднималась более интенсивно, чем в районе б. Дарвина. Наибольший подъем испытывала б. Апшеронская до кирмакинского времени включительно. В отрезок времени, охватывающий НКП, НКГ и свиту «перерыва», подъем складок был менее интенсивным, а начиная с

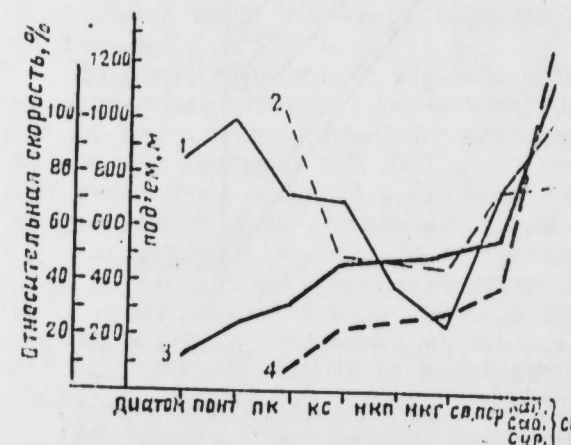


Рис. 3. Развитие антиклинальных складок б. Апшеронской (1, 3) и б. Дарвина (2, 4). 1—2 — кривые относительной скорости; 3—4 — кривые развития антиклинальных складок.

изображают постепенное увеличение высоты этих складок по мере наращивания осадков и складкообразования. Как следует из этих кривых, развитие складки б. Апшеронской опережало таковое б. Дарвина. Видимо, это связано с общим подъемом Кавказской складчатой линии, в частности, с подъемом Апшеронского порога, где северная часть поднималась более интенсивно, чем в районе б. Дарвина. Наибольший подъем испытывала б. Апшеронская до кирмакинского времени включительно. В отрезок времени, охватывающий НКП, НКГ и свиту «перерыва», подъем складок был менее интенсивным, а начиная с

конца отложения свиты «перерыва» до конца верхнего отдела ПТ идет ускоренный подъем складок в относительно меньшей степени б. Дарвина и большей — б. Апшеронской.

Приведенный анализ развития Приапшеронской зоны Апшеронского порога на примере истории тектонического развития исследуемой зоны складок показывает, что этот процесс был непрерывным и взаимосвязанным. Образование разрывной дислокации и рост складки иосили длительный характер и происходили одновременно с осадконакоплением, что подтверждается увеличением вертикальной амплитуды смещения со стратиграфической глубиной и характером изменения мощностей, максимальные значения которых фиксируются на крыльях, а минимальные — в сводовых частях.

## ЛИТЕРАТУРА

- Алиханов Э. Н. Нефтиные и газовые месторождения Каспийского моря. Азернефт, 1964.
- Тамразян Г. П. Структурные преобразования в пределах месторождения «Южное». «Геология нефти и газа», № 3, 1972.
- Зейналов З. И., Мамедов М. К., Ушаков А. П. Геология, нефтесность и экономическое развитие Артемовского района. Азернефт, 1963.
- Баширов Я. М. История тектонического развития поднятия Песчаный-море. «ДАН Азерб. ССР», № 6, 1965.
- Шварц Т. В., Гаврилов А. Я., Шварц Л. Я. К методике палеотектонического анализа. «Геология нефти», № 8, 1958.
- Оруджев В. А., Маркарова О. А., Махмудов Р. А., Велиева В. А. Изменение мощности и литофациональной характеристики кирмакинской свиты северо-западной части Апшеронского архипелага. «Уч. зап. АЗИНХ», № 4, 1973.

Институт геологии

Поступило 21. II 1974

Ж. М. Баширов, О. А. Маркарова, В. А. Велиева, Н. А. Элиев

**Абшерон архипелагынын шимал-гэрб һиссәсендә јерләшиш  
Абшерон вә Дарвина банкәләри галхымынын тектоники инишаф  
тарихи һагында**

## ХҮЛАСӘ

Тәртиб олуимуш палеотектоники профилләрдән көрүндүјү кими, гырышыглыглар инишаф етдиңчэ позғунлуг хәтләри амплитудунун артмасы көстәрир ки, мәңсулдар гат дөврүндә бу ики гоншу гырышыглыг бир-бири илә әлагәдәр вә фасиләсиз инишаф дөврү кечирмишләр. Галхманы көстәрән әјри чөкүнүләрин чөкмәси илә ејни вахтада гырышыглыгларын галхма јүксәкликләрин артмасыны, сүр'эт әјриси исә онларын айры-айры дөврләрдә јаваш вә я сүр'етлә галхмасыны мүәյҗән едир. Көстәрилән әјриләрдән бир даһа айдын олур ки, бир гәдәр дик саһәләр сүр'етли галхма, манили саһәләр исә јаваш галхма дөврүнә уйғун көлир. Ләjlарын максималь галыныгларынын гранад һиссәдә, минимал галыныгларынын исә тағ һиссәдә чөкмәси јухарыда көстәриләнләрі бир даһа субут едир.

Y. Bashirov, O. A. Markarova, V. A. Veliyeva, N. A. Aliyev

**To the question of the North-West part of Apsheron archipelago  
(on examples of b. Apsheronskaya and b. Darvina structures)**

## SUMMARY

In this article the results of a number transversal paleoprofiles are given and with the help of which the history of geological structure of b. Apsheronskaya and b. Darvina are considered.

Analysis of paleoprofiles shows, that the beginning of faults forming on b. Apsheronskaya is related to podkirmakinskaja time of sedimentation and on b. Darvina to the kiramkinskaja time sedimentation. Forming of faults and there rise has a long period character and passes at one and the same time with sedimentation.

## ПАЛЕОНТОЛОГИЯ

П. А. МЧЕДЛИШВИЛИ, О. М. БАШИРОВ

О НАХОДКЕ НОВОГО ВИДА ИСКОПАЕМОЙ МАГНОЛИИ  
В МЕЛОВЫХ ОТЛОЖЕНИЯХ АЗЕРБАЙДЖАНА

(Представлено академиком АН Азербайджанской ССР Ш. А. Азизбековым)

В Гадрутском районе Азербайджана, южнее сел. Старый Таг, в нижнесеноманских отложениях, обнажающихся в русле речки, А. Г. Халилов нашел отпечаток листа магнолии, который определен был нами в качестве нового вида — *Magnolia chalilovii* sp. n.

Меловые отложения в этом разрезе представлены единими беспрерывными осадочными и туфопесчаными образованиями от готерива до сеномана.

Сеноманские отложения согласно залегают на альбских толщах. Флороносные слои представлены 20-метровой пачкой серых, темно-серых, с поверхности желтоватых плотных оскольчатых мергелей с прослойками темно-серых известковистых туфопесчаников. Последние местами включают шаровидные конкреции того же состава. В мергелях встречены остатки растений и головоногих, в том числе *Turrilites ex gr. costatus* (Lam.), *Puzosia* sp. ind., *Neohibolites ultissimus* Stojan. — Verg., *N. cf. submedius* Swinne; указывающих на нижнесеноманский возраст содержащих их пластов.

Верхняя часть разреза прослеживается на юго-восточных окраинах сел. Старый Таг, а после незначительной (3–5 м по мощности) задернованности участка обнажаются туфоконгломераты и туфопесчаники, содержащие туронские моллюски.

На основании фауны приуроченность ископаемого вида магнолии к нижнесеноманским слоям не вызывает сомнения. В то же время, судя по хорошей сохранности отпечатка, несмотря на его неполноту и на нахождение вместе с ним отпечатков *Cyperaceae* sp., захоронение растительных остатков происходило в мелководной прибрежной зоне. С таким заключением вовсе не расходятся данные о литологических особенностях флороносных слоев, а присутствие в них аммонита и белемнита указывает на теплый гидрологический режим моря, что, видимо, было обусловлено общими теплыми климатическими условиями в это время.

Ниже дается описание нового вида ископаемой магнолии.

## Сем. MAGNOLIACEAE J. ST. HIL.

## Род MAGNOLIA L.

Вид *Magnolia chalilovii* Misch. et Basch. sp. n.

Отпечаток листа — неполный и представлен нижней его половиной, с обломанным краем на левой стороне. Тем не менее по сохранившемуся отпечатку четко вырисовывается эллиптическая, несколько асимметричная форма листа, длина которой, наверное, достигла 8 см при максимальной ширине 3,5 см в середине пластинки. Край цельный, а основание клиновидное.

Отпечаток относится к типичному кожистому листу с хорошо выраженной выступающей мощной главной жилкой и вторичными жилками. На отпечатке сохранилось только 3 пары вторичных жилок, а общее их количество, видимо, не превышало 10 пар. Вторичные жилки ответвляются от главной очередно, а расстояние между ними примерно одинаковое. Вторичные жилки, дугообразно и параллельно направляясь к краям, но не достигая самого края, соединяются между собой, образуя крупные петли. Между вторичными жилками прослеживаются промежуточные жилки, отходящие от главной до середины пластинки листа, а жилки третьего порядка образуют систему мелких петель между вторичными и промежуточными жилками.

По всем указанным характерным признакам описываемый отпечаток листа сопоставляется только с вечнозелеными представителями рода магнолия. Но от всех известных рецензий видов магнолии отпечаток отличается мелким размером листовой пластинки и малым количеством вторичных жилок.

Род магнолии в настоящее время насчитывает 70 видов, которые произрастают в основном в субтропических зонах Северной Америки (20 видов) и в юго-восточной Азии (50 видов).

Среди ископаемых представителей рода магнолии описываемый экземпляр обнаруживает наибольшее сходство с видом *Magnolia amplifolia* Neeg, который был описан В. А. Вахрамеевым из верхнеальбских отложений разреза левого берега р. Аята в Западном Казахстане (В. А. Вахрамеев, 1952, стр. 186, табл. 13, фиг. 2).

Описанный В. А. Вахрамеевым экземпляр из Западного Казахстана отличается от типичного представителя *Magnolia amplifolia*, описанного О. Геером из низов верхнемеловых отложений Чехословакии, более мелким размером пластинки листа; длина казахстанского представителя — 18 см при наибольшей ширине — 8 см, в то время как у вида из Чехословакии длина равна 21 см при ширине 10,5 см.

Описываемый новый вид магнолии из Азербайджана отличается от казахстанского вида *Magnolia amplifolia* значительно более мелким размером пластинки листа. В то же время по количеству вторичных жилок, по типу самого жилкования, по форме основания и некоторой ее асимметричности, а также по характеру выступающей главной жилки сравниваемые экземпляры магнолии очень сходны.



Отпечаток листа ископаемой магнолии.

Весьма показательно, что все известные ископаемые представители рода магнолии, как и все известные *Magnolia amplifolia*, в том числе и североамериканские представители этого вида, описанные Л. Леккере и А. Голликом, отличаются крупными размерами листьев и большим количеством вторичных жилок. Поэтому не приходится сомневаться в том, что ископаемая форма магнолии из Азербайджана в действительности относится к новому виду, которую авторы называют в честь профессора А. Г. Халилова, нашедшего описываемый экземпляр.

Семейство *Magnoliaceae* вообще и род *Magnolia* — в частности принадлежат к древним цветковым растениям. Магнолии уже присутствовали в первых типичных верхнеальбских и сеноманских покрытосемянных флорах. Таким образом, она является одним из древнейших цветковых растений, доживших до наших дней. При этом с самого же начала распространения на земле магнолии были связаны с субтропической областью, то есть они были элементами субтропической флористической области (В. А. Вахрамеев, 1952; 1970).

Само собой разумеется, что древность магнолии и длительная история ее развития от верхнего альба до наших дней вовсе не являются показателем «пионерства» этого рода и семейства магнолиевых в царстве цветковых растений, как это считает А. Л. Тахтаджян (1970). Судя по находкам ископаемых остатков, то же самое можно было бы сказать о платановых, виноградных и ряде других семейств покрытосемянных, но по этому принципу ни в коем случае нельзя судить о магнолиевых как об истоке системы покрытосемянных. Не следует забывать, что современное царство цветковых растений является показателем лишь частичной, а не полной истории покрытосемянных, и неполнота геологической летописи скрыла (и скрывает) многие важные и существенные этапы в их прогрессивном развитии. А «когда просматриваешь современный учебник ботаники для высших школ или других учебных заведений, то может создаться впечатление, что достаточно изучить сравнительную морфологию и анатомию современных растений, чтобы разрешить вопросы истории растений, и что основной задачей палеоботаники является определение места растений в современной естественной системе, даже если ископаемые остатки относятся к палеозою или мезозою. Советский ученый А. Л. Тахтаджян не составляет в этом отношении исключения» (Р. Дабер, 1970, стр. 246).

И в самом деле, нижнемеловые формы покрытосемянных обладали признаками достаточно продвинутых в эволюционном отношении растений. Вследствие этого не приходится сомневаться в том, что предшествующая их история была значительно более длительной и, безусловно, намного превосходила время того сложного пути эволюции, который прошли покрытосемянные от альбского века до современного уровня их развития (т. е. ориентировочно за 110—120 млн. лет). Поэтому начало зарождения покрытосемянных следует отодвинуть в глубь веков геологической истории по крайней мере до начала каменноугольного периода (П. А. Мчедлишвили, 1961), на что дают веские указания находки в отложениях низов каменноугольной системы четырехлучевых спороморф типа покрытосемянных, которые впервые были открыты С. Н. Наумовой (1950). Такие спороморфы покрытосемянного типа изредка и в очень небольших количествах прослеживаются и выше по разрезу в пермских, юрских и меловых отложениях (С. Н. Наумова, 1950; В. К. Тетерюк, 1958), а другие подобные же формы — от низов триаса до третичного периода, причем некоторые

из них встречаются даже в третичных образованиях (С. Н. Наумова, 1950). В то же время наряду с указанными древними покрытосемянными или *Paleoangiospermae* (П. А. Мчедлишвили, 1961) в юрский период появились покрытосемянные современного типа в виде пыльцевых зерен *Salix* и *Alnus*, которые были установлены С. Н. Наумовой в юрских отложениях Кавказа и Ферганы (С. Н. Наумова, 1950).

Из вышесказанного вытекает, что основанием системы покрытосемянных следует признать наличие различных семейств, произошедших от разных древнепокрытосемянных, возникших, наверное, от одного предка.

Такое понимание полифилии ни в коей мере не нарушает естественность и таксономическую преемлемость группы покрытосемянных (П. А. Мчедлишвили, 1960, 1961). Подобные взгляды высказаны И. Хэслоп-Харрисоном (Н. В. Первухина, 1970), А. Имсом (1964), А. Кронквистом (1968), Н. В. Первухиной (1970) и др. Названные исследователи тоже отрицают представление о магнолиевых как об истоке системы покрытосемянных и не признают первичность энтомофилии в качестве основного фактора эволюции покрытосемянных.

#### ЛИТЕРАТУРА

1. Вахрамеев В. А. Стратиграфия и ископаемая флора меловых отложений Западного Казахстана. Региональная стратиграфия СССР, т. I, 1952.
2. Вахрамеев В. А. Позднемеловые флоры. В кн.: «Палеозойские и мезозойские флоры Европы и фитogeография этого времени». Изд-во «Наука», 1970.
3. Дабер Р. Проблемы будущего палеоботаники. В кн.: «Наука будущего», М., 1970.
4. Имс А. Морфология цветковых растений. М., изд. АН СССР, 1964.
5. Мчедлишвили П. А. К вопросу о происхождении покрытосемянных растений. В кн.: «Филогения и филогенез». Л., изд. АН СССР, 1960.
6. Мчедлишвили П. А. Палеобиологические основы проблемы происхождения покрытосемянных растений. Тр. Института палеоботаники АН ГССР, т. 6, 1961.
7. Наумова С. Н. Пыльца типа покрытосемянных в отложениях нижнего карбона. Изд. АН СССР, сер. геол., т. X, № 6, 1950.
8. Первухина Н. В. Проблемы морфологии и биологии цветка. Л., изд-во «Наука», 1970.
9. Тахтаджян А. Л. Происхождение и расселение цветковых растений. Л., изд-во «Наука», 1970.
10. Тетерюк В. К. О находке пыльцы палеозойских покрытосемянных с открытыми порами. «ДАН СССР», т. III, № 5, 1958.
11. Стоунстоун А. The evolution and classification of flowering plants. New York, 1968.

АПН им. В. И. Ленина

Поступило 4. VII 1974

П. А. Мчедлишвили, О. М. Баширов

Азәрбајҹаның Тәбәшир ҹөкүнүләrinde јени газыны магнолија нөвүнү тапылмасына даир

#### ХҮЛАСӘ

Мәгәләдә Азәрбајҹаның Ыадрут рајонунун Көһинә Таг кәндидән чөнубда јер сәтинә чыхан Алт Сеноман ҹөкүнүләrinde тапылалы јени газыны магнолија нөвүнү — *Magnolia Chalilovii* sp. n. тәсвири верилир.

*Magnolia* чинси гәдим чичәкли биткиләрә мәнсубдур. Оилар илк типик Уст Алб вә Сеноман өртүлүтохумлу флораларда артыг мөвчүд иди. Лакин магнолијаның гәдимлији вә узун сүрән иикишаф тарихи беч дә А. Л. Тахтаджяны (1970) несаб етдири кими, чичәкли биткиләр аләминдә бу фәсиләни «пионерлијини» көстәричиси дејил. Типик өртүлүтохумлуларын иикишафындан эввәл оиларын әчдадларынын — тамамилә мәнбә олмуш гәдим өртүлүтохумлуларын вә ја *Paleoangiospermae*-нын (П. А. Мчедлишвили, 1961) узун сүрән тарихи ол müşшдур.

Ортулутхумлулар системиниң аспасына мұхтәлиф ғадим ортулутхумлулардан торомин мұхтәлиф фасилиторин паралырыны табул етмек лазымыдыр. Іюмин ғадим ортулутхумлулар, оз тореғіндегі һомол карбон доврунан өзөвлінде бир очдаддан омоло қолмишадыр.

Полифилијашын белгі көнниң баша дүшүлмөсі иле ортулутхумлулар групунан тобишили же тектоник табул едилмөсі ńеч до нозуимур.

P. A. Mchedlishvili, O. M. Bashirov

## About the find of the new kind of fossilized Magnolia in the cretaceous deposits of Azerbaijan

### SUMMARY

In the paper give the description of the new kind of fossilized Magnolia—Magnolia Chaltlovi sp. n., the residues which was discovered in Gadruth region of Azerbaijan in the lower senonian deposits, bordering to the South of the village Old Tag.

АЗЕРБАЙЖАН ССР ЕЛМІЛОР АКАДЕМИЯСЫНЫҢ МӘРГӘЗДӘРИ

ДОКЛАДЫ АКАДЕМИИ НАУК АЗЕРБАЙДЖАНСКОЙ ССР

ТОМ XXXI ЧИЛД

№ 7

1978

УДК 565.3

ПАЛЕОНТОЛОГИЯ

С. М. АСЛАНОВА, Ж. Д. ДЖАФАРОВА

## НАХОДКИ ДЕСЯТИНОГИХ РАКООБРАЗНЫХ В ТРЕТИЧНЫХ ОТЛОЖЕНИЯХ АЗЕРБАЙДЖАНА

(Представлено академиком АН Азербайджанской ССР А. А. Ализаде)

Десятиногие ракообразные (*Decapoda*) населяют все биотоны современного океана, исключая его предельные глубины, но особенно они многочисленны в зоне сублиторали.

Некоторые из *Decapoda*, населяющие мелководье современного океана, считаются реликтами тетиса [9].

Некоторые десятиногие ракообразные имеют стратиграфическое значение. Иногда их остатки оказываются породообразователями, как это имело место с клемнями рака *Gastropassa* или с панцирями *Ranina* в палеогене Фергана и Сухуми [8,2].

На основании изучения некоиных остатков *Decapoda* делаются важные палеэкологические и палеодиагностические выводы. Третичные представители этого отряда близки к современным и довольно богаты формами, повторяя почти все ныне живущие семейства. Наиболее высокоорганизованными из них считаются крабы. Преследование отличаются разнообразием форм и иногда прекрасной сохранностью и некоиим состоянием.

В данном сообщении описываются крабы, происходящие из отложений майкоиской серии, сириалиновых и дигитомовых слоев Анишоринского полуострова и Шемахинского района (Аташкя, Бинагады, Пере-кинкюль, Энгехаран, Каинляр, Шапнблар). Отпечатки крабов сохранились на глинистых, глинисто-сланцевистых породах. Этот материал был собран в 1960—1961 гг. во время полевых работ. Ранее известные отпечатки крабов довольно часто отмечались в отложениях майкоиской серии Азербайджана. Имеются сведения о находках их у Д. В. Голубитникова (1927) и в рядах работах В. В. Богачева (1929).

Третичные крабы, обнаруженные нами на территории Азербайджана, относятся к семействам *Portunidae* и *Mailliidae*, к родам *Portunus* и *Inachus*. Остатки представителей рода *Portunus* на территории СССР встречены в отложениях менингитовой свиты Карабат (хадумский горизонт для Кавказа)—*P. oltgocantensis* Раисб и в средней части майкоиской глины Северного Кавказа. *P. lanceolodactylus* Smirn., *P. arcuatus* Leach, var. *priscus* Smirn.

Эти находки описаны М. Раисб (1929), В. П. Смирновым (1929) и Л. П. Горбач (1956). В 1931 г. Раисб приводит пункты находок

*Portunus* близ Бухареста, в Галиции и Венгрии (Горбач, 1956). В литературе последних лет имеется описание нового вида *Portunus vital* из нижнемиоценовых отложений Франции (Philippe, Secretan, 1971). Последний является промежуточным видом между двумя широко распространенными в Европе *P. granulatus* A. Milne Edwards и *P. kochi* Bittner.

Представители рода *Inachus* до настоящих находок были известны из майкопской серии Северного Кавказа (Черная речка)—*Inachus lethaeus* Smirn. (В. П. Смирнов, 1929).

Семейство POPTUNIDAE DANS, 1852  
Род *POPTUNUS* FABRICIUS, 1798

Остатки краба-плавунца этого рода в наших сборах представлены полными и фрагментарными отпечатками в количестве 10 экземпляров.

1. *Portunus atropatanus* sp. nov.

Коллекция Естественно-исторического музея им. Зардаби № 4—209. Азербайджан, Апшеронский полуостров, сел. Перекишколь, майкопская серия.

**Голотип.** Экземпляр выбран как тип (табл. 1, рис. а). Полный отпечаток и противоотпечаток (грудная и брюшная поверхность панциря).

**Паратип.** Два почти полных отпечатка (табл. 1, рис. б)

**Размеры, мм:** наибольшая ширина карапакса—13; длина карапакса—12; длина клешни—6; длина плавательной пластинки—4; протяженность лобного края—3.

**Диагноз.** Карапакс имеет сердцевидную форму. Длина клешни превышает длину плавательной пластинки. Последняя сравнительно слабо развита. В наибольшей ширине карапакса она укладывается более двух раз. Значительно развит медиальный шип карпуса первой пары перейпод. Рострум средних размеров. Длина лобного края составляет 1/4 часть наибольшей ширины карапакса.

**Описание.** Карапакс имеет сердцеобразную форму. Разделение его на области неясное. Длина несколько больше наибольшей ширины. Замечается значительное развитие первой пары перейпод. На четвертом членнике первой пары перейпод сильно развит медиальный шип. Рострум заметно выделяется среди двух других зубцов лобного края и отличается несколько округлой формой на конце. Глазницы неглубокие. Свойственная крабам-плавунцам плавательная пластинка у этой формы имеет мелкие размеры и форму плоской овальной палочки.

**Сравнение:** при сравнении с северокавказской формой (*P. lancetodactylus* Smirn.) из аналогичных отложений с Черной речки у азербайджанского портунаса отмечаются небольшие плавательные пластинки, завершающие пятую пару перейпод, которые значительно короче, тоньше клешней. Этим же признаком *P. atropatanus* отличается от *P. oligocaenicus* Raissä из менилитовой свиты Карпат и несколько приближается к современному представителю рода.

Ввиду своих незначительных размеров плавательная пластинка азербайджанского портунаса в максимальной ширине карапакса укладывается меньше, чем у *P. oligocaenicus* Raissä, и больше, чем у *P. lancetodactylus* Smirn., количество раз (см. табл. 1).

От северокавказского портунаса наш также отличается формой клешней. Они более притупленные, чем у первого. По общим разме-

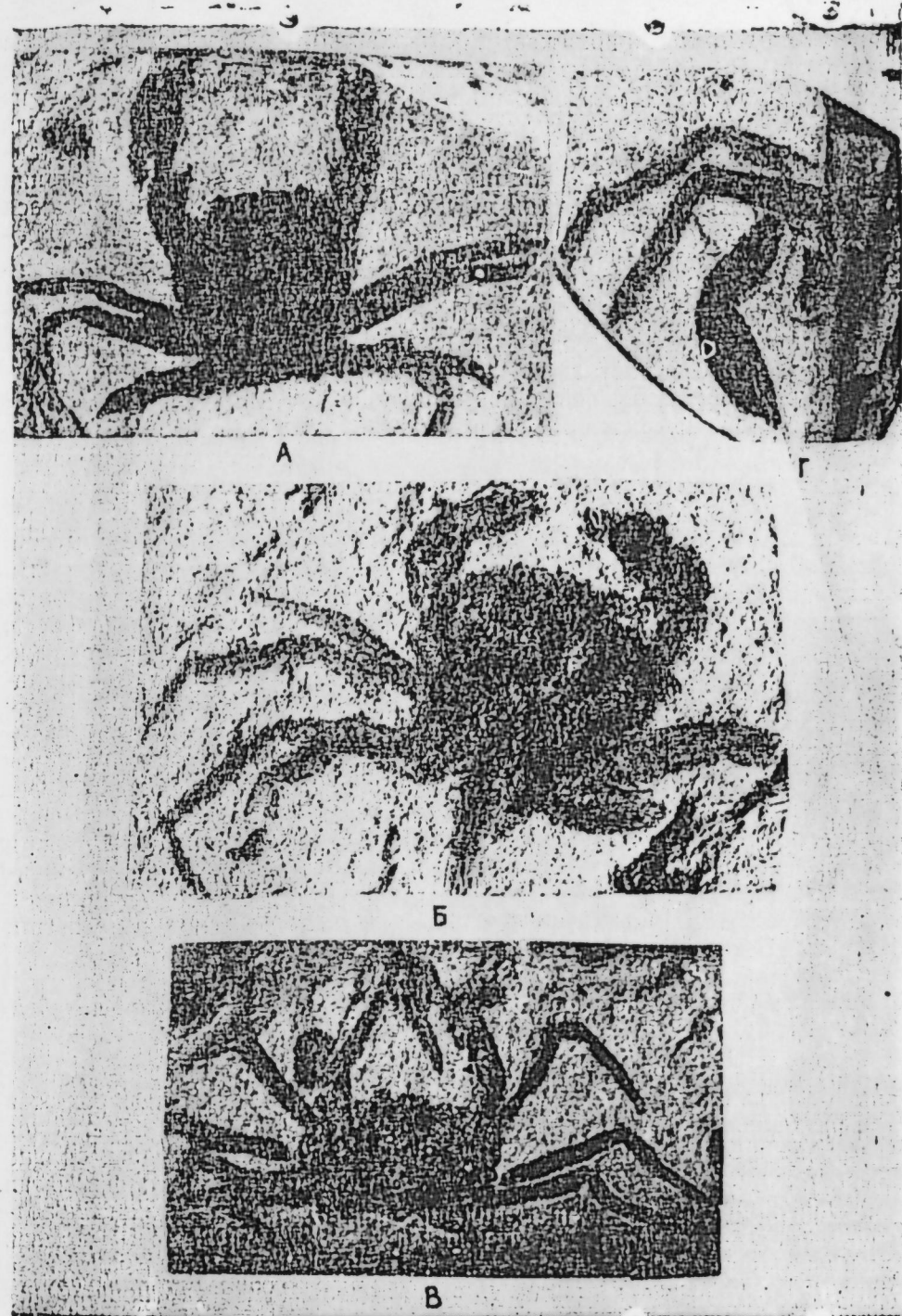


Таблица 1.

Рис. а. *Portunus atropatanus* sp. n.— голотип. Азербайджан — Апшеронский полуостров, сел. Перекишколь, майкопская серия.  $\times 2$ .

Рис. б. *Portunus atropatanus* sp. n.— паратип. Азербайджан — Шемахинский район, Энгехаран, майкопская серия.  $\times 2$ .

Рис. в. *Portunus cf. lancetodactylus* — вторая, третья, четвертая, пятая перейподы. Азербайджан — Апшеронский полуостров, Аташка, майкопская серия.  $\times 2$ .

Рис. г. *Portunus cf. lancetodactylus* Smirnov в натуральную величину. Азербайджан — Апшеронский полуостров, Бинагады, майкопская серия.

рам *P. atropatanus* приближается к карпатскому портунусу, превышая размерами *P. lancetodactylus* Smirn. *Portunus viat* M. Philippe et S. Secretan из нижнего миоцена Франции является одним из наиболее крупных из известных ископаемых представителей рода (M. Philippe et S. Secretan, 1971, стр. 121). По размерам азербайджанский портунус также ему уступает. Свообразие формы, очертания переднего края карапакса (лобная и орбитальные части), являющиеся систематическим признаком, также отличает *P. atropatanus* от портунусов из Франции и Венгрии (*P. viat* M. Philippe et S. Secretan, *P. granulatus* A. Milne Edwards, *P. kochi* Bittner).

Брюшная поверхность панциря краба сохранена плохо. Поэтому привести ее описание и сравнение не представляется возможным.

**Возраст и распространение:** майкопская серия, Азербайджан, Аишеронский полуостров, сел. Перекишикюль, Каиблляр, Шаиблляр, Шемахинский район, Энгехаран.

## 2. *Portunus* cf. *lancetodactylus*. Smirn.

Среди описываемого материала имеются отпечатки портунусов, носящие фрагментарный характер, или полные плохой сохранности. Среди фрагментарных отпечатков встречаются такие, на которых сохранились пятая, четвертая и третья пара левых перейонод (табл. 1, рис. г), либо третья, вторая перейоноды с клемшней. Полные отпечатки, как правило, с сильно раздавленным панцирем, но с хорошо сохранившимися перейонодами. Эти отпечатки происходят из миоценовых отложений Аишеронского п-ва (Аташкя, Бинагады). В результате изучения морфологических особенностей и сравнения с другими ископаемыми формами мы пришли к выводу о близости этого краба к северокавказскому *P. lancetodactylus* Smirn. Характерными признаками его являются: почти полная равноточность длины клемшней и плавательной пластинки, полутораразовое размещение клемши в наибольшей ширине карапакса. В остальных деталях строения панциря и конечностей также улавливается близость с *P. lancetodactylus* Smirn. с Черной речки (Сев. Кавказ).

Семейство MAJIDAE AL COCK, 1895

Род *INACHUS* FABRICIUS, 1798

*INACHUS* sp.

Из окрестностей сел. Перекишикюль (майкопская серия) имеются 5 экземпляров отпечатков представителей этого рода. На имеющемся материале выявлены основные признаки рода: мелкие размеры, сильно вздутый панцирь, тонкие и длинные вторая, третья, четвертая и пятая пара перейонод, короткая утолщенная первая пара, выдающийся ростром общая научнообразная форма краба. Исходя из этого и учитывая геологический возраст находки, считаем себя в праве отнести его к одному из представителей рода. По всей вероятности, эта форма близка к северокавказскому *Inachus lethaeus* Smirn. Среди отпечатков имеются инахусы разных размеров, которые несколько различаются морфологически. Видимо, это — проявление полиморфизма у мужской особи, свойственное крабам рода *Inachus* (табл. 2).

Анализ остатков крабов из третичных отложений Азербайджана, а также литологические особенности пород, их включающих, свидетельствуют, что захоронение происходило в условиях сравнительно спокойного осадконакопления, в незначительном удалении от береговой линии.

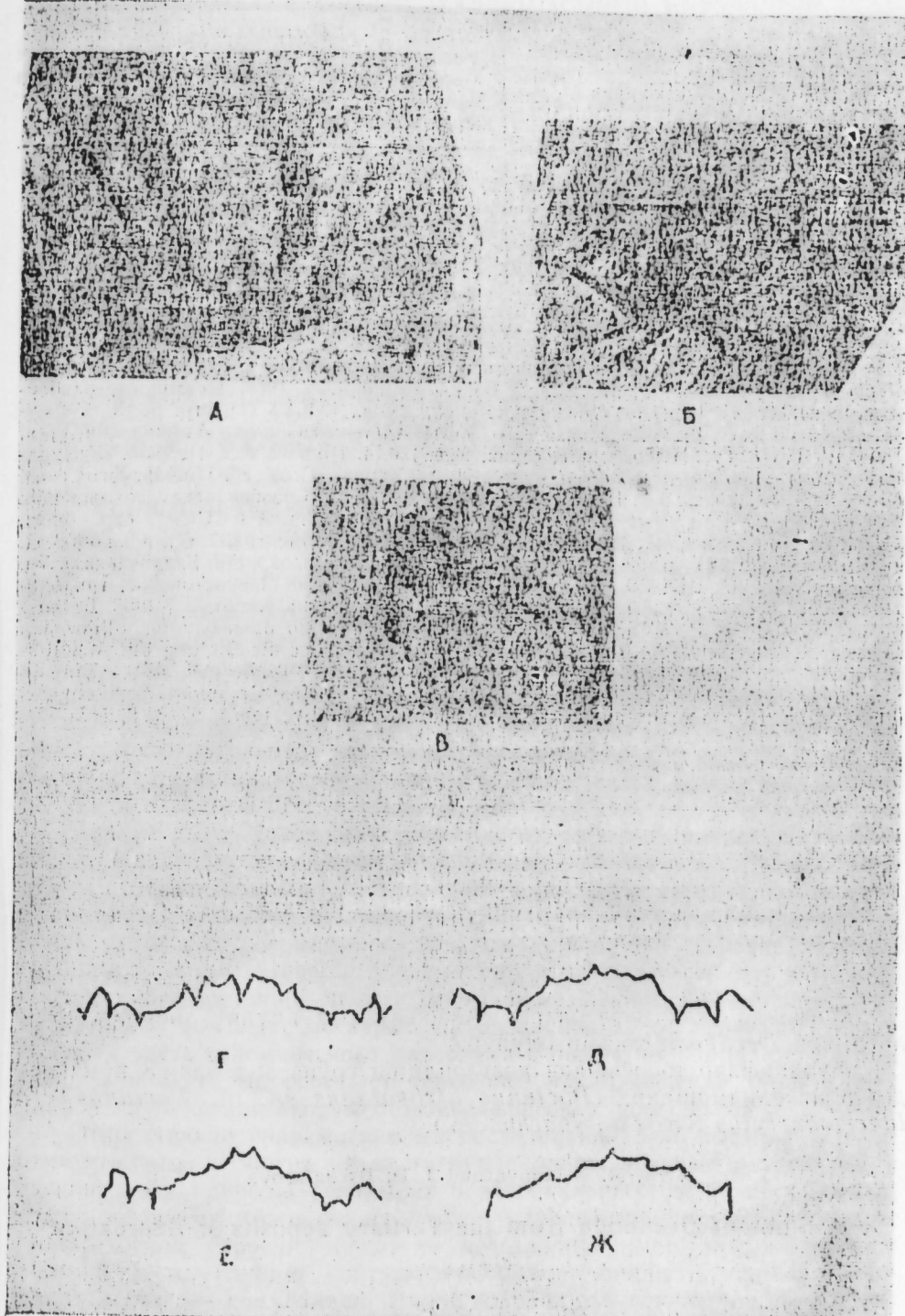


Таблица 2.  
Рис. а, б, в. *Inachus* sp. Азербайджан — Аишеронский полуостров, Перекишикюль, майкопская серия.  $\times 2$ .

Рис. г. Схематическое изображение переднего края карапакса *Portunus viat* M. Philippe et Sylve Secretan.

Рис. д. Схематическое изображение переднего края карапакса *Portunus granulatus* A. Milne Edw.

Рис. е. Схематическое изображение *Portunus kochi* Bittner.

Рис. ж. Схематическое изображение *Portunus atropatanus* sp. n.

Наименование промеров	<i>Portunus atropatanus</i> sp. n. Майкоп. Апшеронск. п-в	<i>Portunus ollogocaenicus</i> Раиса Менилитовая свита, Карпаты	<i>Portunus vlat</i> M. Philippe S. Secretan Верхн. бурдигал, Франция
Наибольшая ширина карапакса, мм	13	15	63,2
Длина карапакса, мм	12	11	40
Длина клемши, мм	6	5	—
Длина плавательной пластинки, мм	4	5	—
Протяженность лобного края, мм	3	5	8,1

## ЛИТЕРАТУРА

1. Богачев В. В. 1929. Палеонтологические заметки. Тр. Геологич. ин-та им. Губкина, т. 36, АзФАН СССР, Баку. 2. Бирштейн Я. А. 1956. Десятичные ракообразные палеогона Фергана. Бюлл. МОИП, отд. геол., т. XXX (1), стр. 63. 3. Голубятников Д. В. 1927. Детальная геол. карта Апшеронск. п-ва. Атаскинский р-н. Планшет IV—3. Тр. Геолкома, нов. серия, вып. 130. 4. Горбач Л. П. 1956. О находках крабов в менилитовых сланцах Восточных Карабат. Геол. сб. Львовского геол. об-ва, 2—3. 5. Геккер Р. В., Меркли Р. Л. 1946. Об особенностях захоронения рыб майкопских глинистых сланцев Северной Осетии. Изв. АН СССР\*, сер. биол., № 6, М. 6. Зериов С. А. 1936. Общая гидробиология. Биомедгиз. 7. Смирнов В. П. 1929. Decapoda из рыбных пластов на Черной речке и окрести. Владикавказа. Тр. Сев.-Кавк. ассоц. НИИ, 59. 8. Основы палеонтологии, 1960. Членистоногие, трилобитообразные и ракообразные. Госнаучтехиздат, М. 9. Жизнь животных, 1968. Бесспозионочные, т. 2. 10. Раиса М. 1929. Zwei neue fossile Decapoda aus den oligozänen „Cipren crenata—Schiefeln von Suslanesti—Muscel und über die Bildung der Menilittschleiferen“. Bull. de la Section Scientifique, XII-eme année N° 45 Bucuresti. 11. Philippe Michel, Secretan Sylvie, 1971. Crustacees decapodes du burdigallien des Courluses (Vaucluse). Ann. paleontol. Invertebr., 57, № 2, 117—134.

Естественно-исторический  
музей им. Зардаби

Поступило 24. IX 1974

С. М. Асланова, Ж. Ч. Чәфәрова

## Азәрбајҹанда үчүнчү дөвр чөкүнүләриндән тапылан Decapoda

### ХҮЛӘС

Мәгаләдә илк дәфә олары Азәрбајҹанын Үчүнчү дөвр чөкүнүләриндән Decapoda тәсвири олунур.

Мүәллифләр тәрәфиндән көстәрилмиш группа иш олаң 3 нүмаҗендә тә'јин едишлишdir (*Portunus atropatanus* sp. n., *Portunus cf. lanceodactylus* Smirn., *Inachus* sp.).

S. M. Aslanova and J. D. Dschafarova

## Some finds of Decapoda from the Tertiary deposits of Azerbaijan

### SUMMARY

There is a first description of the Decapoda from the tertiary deposits of Azerbaijan in the article. The authors have determined three representatives concerning to the aforesaid group of fossils (*Portunus atropatanus* sp. n., *Portunus cf. lanceodactylus* Smirn., *Inachus* sp.).

АЗӘРБАЙҖАН ССР ЕЛМЛӘР АКАДЕМИЈАСЫНЫН МӘРУЗӘЛӘРИ

ДОКЛАДЫ АКАДЕМИИ НАУК АЗЕРБАЙДЖАНСКОЙ ССР

ТОМ XXXI ЧИЛД

№ 7

1975

УДК 551.24

ТЕКТОНИКА

Член-корр. Э. Ш. ШИХАЛИБЕЛИ, А. Д. АЛИЕВ, Ю. П. БАЖЕНОВ,  
Н. И. СУЛТАНОВ

## К ВОПРОСУ ГЕОЛОГИЧЕСКОЙ ИНТЕРПРЕТАЦИИ ГЕОФИЗИЧЕСКИХ МАТЕРИАЛОВ В ЦЕНТРАЛЬНОМ И ЮЖНОМ КОБЫСТАНЕ

Геологическое развитие и тектоника Шемахино-Кобыстанской области отличаются исключительной сложностью. Полученные за последние годы в результате буровых работ и геолого-геофизических исследований фактические материалы во многом подтверждают установленные ранее положения и выводы в этом отношении и вместе с тем вносят дополнительную ясность в истолкование отдельных вопросов тектоники и истории геологического развития как в целом всей области, так и отдельных ее участков.

Анализ результатов сейморазведочных работ, выполненных в пределах Центрального и Южного Кобыстана, показывает на весьма низкую их эффективность в отношении выявления структуры мезозоя вследствие небольшой (в основном 3—4 км) глубины исследования. Лишь отдельные сейсмические профили отражают строение недр до глубины 5—6 км. Причем большинство этих профилей отработано в пределах юго-восточной части Шемахино-Кобыстанской области, где мезозойский комплекс погружен на очень большую глубину. Поэтому большая часть сейсмического материала в целом по Шемахино-Кобыстанской области не освещает тектонику и соотношение структурных планов глубокозалегающих стратиграфических комплексов.

Относительно гравимагнитных исследований в Кобыстане следует отметить, что, несмотря на достигнутые положительные результаты в расшифровке природы локальных и региональных аномалий силы тяжести, не всегда можно на их основе уверенно говорить о глубинном геологическом строении недр; не всегда, например, положительным аномалиям на глубине соответствуют антиклинали и, наоборот, отрицательным — синклинали. Иначе говоря, как локальным, так и региональным аномалиям, в зависимости от целого ряда геологических и физико-химических факторов, могут соответствовать поднятия или прогибы.

Все это говорит о том, что для выявления глубинной тектоники и характера мезозойской складчатости Шемахино-Кобыстанской области необходим комплекс однозначно интерпретируемых геолого-геофизических данных. Интересные результаты в отношении тектоники глубо-

козалегающих слоев мезозоя были получены по электроразведочным данным трестом Азнефтегеофизразведка на региональном профиле по линии Советабад — Дашибардан.

Прослеженный на этом профиле опорный электрический горизонт, стратиграфически приуроченный к нижнемеловым отложениям (в интервале готерив — баррем), привязан к разрезу скважины 34 ил. Советабад. Геологическая интерпретация<sup>\*</sup> данных МТЗ по этому профилю дает весьма интересную картину глубинного геологического строения исследованной территории в данном сечении.

Особого внимания заслуживает наиболее погруженная зона на этом профиле, охватывающая участок между структурами Дашибардан и Нардирии — Ахтарма, где максимальная глубина залегания поверхности электрического горизонта достигает 5—7 км.

В районе площади Дашибардан глубокая скважина 1, пробуренная на юго-западном крыле Дашибарданской антиклинали, вскрыла стратиграфический интервал разреза от верхнего миоцена до майкоинской свиты включительно. Опорный электрический горизонт в районе северо-восточного крыла этой складки прослеживается примерно на глубине 5200 м. Поверхность его изогнута в форме антиклинальной структуры, сводовая часть которой располагается непосредственно под синклиналью, разделяющей Дашибарданскую и Восточно-Адживелинскую антиклинали по палеоген-неогеновому комплексу.

Выполненные нами в соответствии с электроразведочными данными геологические построения (рисунок) показывают, что в районе Дашибарданской антиклинали на глубине почти полностью отсутствуют верхнемеловые отложения, а в зоне наибольшего приближения к поверхности кровли опорного электрического горизонта размыты частично и отложения нижнего мела. На эрозионную поверхность здесь наложены интенсивно дислоцированные отложения палеоген-неогенового комплекса.



1 — эрозионная поверхность; 2 — опорный электрический горизонт; 3 — разрыв; 4 — переменные породы; 5 — скважина глубокого бурения.

Полученные данные свидетельствуют об интересной истории геологического развития участка в меловую эпоху.

Как известно, геотектонический режим в пределах юго-восточного Кавказа наибольшие изменения претерпевал на рубеже юрской и меловой эпох, когда обширные его территории были вовлечены в восходящие движения. Особые изменения геотектонической обстановки происходили в раннем мелу. В частности, уже в валинжийе проходи-

\* Мы приводим один из вариантов этой интерпретации, допуская строгую приуроченность опорного электрического горизонта к указанному интервалу нижнего мела на всем региональном протяжении профиля.

ло осушение отдельных участков, появлялись острова и формировались новые поднятия, которые в последующие века становились ареной денудации.

Структурные формы Алятской зоны, в том числе, видимо, и Дашибарданской антиклиналь, как зародившиеся в раннемеловую эпоху и, видимо, продолжавшие длительное конседиментационное развитие, безусловно, испытали более интенсивный разрыв. Вследствие наступившей в позднемеловую эпоху трансгрессии на некоторых ее участках возобновилось осадконакопление. К таким участкам относится полоса, простирающаяся к северо-востоку от Алятской зоны. Здесь комплекс меловых пород, по всей вероятности, судя по построениям (рисунок), присутствует в более полном объеме. Что же касается полосы, ныне соответствующей Алятской гряде (в том числе и поднятию Дашибардан), то здесь осадконакопление возобновилось лишь тогда, когда она полностью покрылась водами трансгредирующего моря и когда темпы конседиментационного роста поднятий в этой полосе были значительно замедлены или вовсе прекратились. Это, видимо, произошло только в конце позднего мела.

Поэтому в пределах мезозойского свода Дашибарданской структуры верхний мел почти полностью отсутствует. Неполный разрез его вполне возможен на юго-западном и на далеком северо-восточном крыльях.

Резюмируя все вышеизложенное, можно сделать вывод о том, что формирование Дашибарданской структуры носило конседиментационно-прерывистый характер, вследствие чего временами она подвергалась сильному размыву, временами на эрозионную поверхность накладывались с проником значительного стратиграфического интервала более молодые отложения. Все это привело к тому, что в древнем своде структуры обнажились нижнемеловые отложения, на эрозионную поверхность которых наложились палеоген-неогеновые осадки, в дальнейшем претерпевшие интенсивную складчатость и осложнения дислоциционного характера.

Таким образом, мезозойская складчатость в пределах отдельных участков Центрального и Южного Кавказа не только не совпадает с палеоген-неогеновой структурой, но даже несет совершенно обособленный характер, заключающийся в наличии эрозионных выступов и впадин. Все это необходимо учитывать при проектировании глубокого разведочного бурения в Кавказе.

## ЛИТЕРАТУРА

1. Али-заде А. А., Ахмедов Г. А., Алиев А. Раффорнирование территории Азербайджана по перспективам нефтегазоносности мезозойских отложений. Тр. АзНИИ ГДИ, вып. XVI. Изд-во «Недра», 1968. 2. Меловые отложения Кавказа и перспективы их нефтегазоносности. Изд-во «Элм», 1970. 3. Шихалибэlli Э. Ш. Геологическое строение и развитие Азербайджанской части южного склона Большого Кавказа. Изд-во АН Азерб. ССР, 1966.

*Институт геологии*

*Поступило 28. V 1974*

Э. Ш. Шыхалибэlli, О. Ч. Олиев, І. В. Баженов, А. И. Султанов

**Мөркөзи во Җөнуби Гобустанда қоғазык материалларын  
геология интерпретасијасы мөсәллесине даир**

## ХУЛАСО

Алт Тобашир чөкүнгүлөрине мөңсүб во 5,2 км дөрнүүлкөдө Іатаң истинад сөзөмкөн һоризонтунун сөтүн үзөр антиклинал Дашибардан

вә Шәрги Ачывәли антиклиналларыны айран синклиналын билавасында алтында айрылып.

Мәгәләдә Уст Тәбашир чөкүнгүләринин бурада олмамасы субут олуңур ки, бу да кәшфијат газымасы заманы нәзәрә алынмалыдыр.

E. S. Shihalibejli, A. D. Aliev, J. P. Barhenov, N. I. Sultanov

## To the question on geological interpretation of geophysical materials in the Central and Southern Kobystan

### SUMMARY

The Key seismic horizon surface, marked out by the lower Cretaceous deposits at the depth of 5200 m, outlines an anticlinal structure which crest is located immediately under the syncline; the last one divides the Dashmardian and eastern—Adjivelian anticlines.

It is proved that all the Upper Cretaceous complex is absent here and that ought to take into consideration in projecting of the deep prospecting boring in Kobystan.

АЗЭРБАЙЧАН ССР ЕЛМЛӘР АКАДЕМИЈАСЫНЫН МӘРУЗӘЛӘРИ

ДОКЛАДЫ АКАДЕМИИ НАУК АЗЕРБАЙДЖАНСКОЙ ССР

ТОМ XXXI ЧИЛД

№ 7

1975

УДК 551. 763. 1 (479. 24)

### СТРАТИГРАФИЯ

Р. А. АЛИЕВ

## НОВОЕ РАСЧЛЕНЕНИЕ НИЖНЕГО МЕЛА ПО р. ЧИКИЛЬЧАЙ (ЮГО-ВОСТОЧНЫЙ КАВКАЗ)

(Представлено академиком АН Азербайджанской ССР А. Д. Султановым)

В верхнем течении р. Чикильчай широкое развитие получили отложения нижнего мела. Разрез этих отложений на северо-восточном и юго-западном крыльях Арпабулагской складки был описан А. Г. Халиловым [3]. Приведенные им данные по расчленению разреза и фаунистическому обоснованию подразделений, как показали наши исследования, являются не вполне верными.

Полученные нами данные построены на комплексном изучении макро- и микрофауны, а также спор и пыльцы. Они отличаются от ранее известных большей детальностью и обоснованностью.

Результаты анализов позволяют считать, что разрез нижнего мела общей мощностью 640 м начинается здесь с более молодых—барремских отложений, выраженных темно-серыми, темно-зелеными песчанистыми глинами с прослойками окжелезненных песчаников и кальцита. Это отложения подразделяются нами на два подъяруса.

Нижний баррем (180 м) охарактеризован аммонитами, белемнитами и ринхолитами. Здесь встречены: *Euphyllloceras sablyensis* (Кагак.), *Phyllopachyceras infundibulum* Огб., *Biasaloceras subsequens* (Кагак.), *Pulchellia parva* R. Aliev, *Barremites charrieri* Огб., *B. difficilis* Огб., *Neohibolites* sp. ind., *Duvalia lata* Blainv., *Rhynchoteuthis barremiana* R. Aliev и *Hadrocheilus costatus* Tilly.

Возраст отложений доказывается весьма убедительно, так как большинство перечисленных аммонитов являются руководящими для нижнего баррема. Лишь один *Phyllopachyceras infundibulum* Огб. характерен для всего яруса, а представители рода *Pulchellia* на Кавказе встречаются исключительно в нижнем барреме, где составляют отдельную фаунистическую зону [2].

Здесь же встречается микрофауна баррема (фораминиферы и остракоды\*): *Glomospirella gaultina* (Berth.), *Nodosaria bilobulina* Franke, *Astacolus grossheimi* (Agal.), *Dentalina sublinealis* Franke, *Discorbis barremicus* Mjat., *Proloxoconcha alveolata* Z. Kuzn., *Neoparacypris uniformis* Z. Kuzn., *Cytherura nataliae* Z. Kuzn. и др.

\* Фораминиферы определены Л. А. Алексеевой, остракоды — З. В. Кузнецовой.

В верхнем барреме (132 м) макрофлора не встречена. Это отложение выделяются по залеганию их между фаунистически охарактеризованными отложениями нижнего баррема и нижнего апта, а также по содержанию барремских фораминифер и остракод: *Gaudryina neocamica* Chal., *Lenticulina barremica* (Agal.), *Hemicristellaria tricarinella* (Reuss), *Astacolus vulgaris* (Agal.), *Discorbis barremicus* Matl., *Lamarcina lamplughii* (Scherlock), *Annosocythere abdulaevi* (Aslanova), *Neocypris uniformis* Z. Kuzn. и др.

Отложения баррема в целом содержат характерный спорово-пыльцевой комплекс: *Sphagnum* sp., *Selaginella utrigera* Bolkh., *S. polystachya* K.-M., *Schizaea certa* (Bolkh.) Bolkh., *Anemia pseudoaurifera* Bolkh., *A. macrorhiza* (Mal.) Bolkh., *Ligodium subsimplex* Bolkh., *Pelletieria minutaestriata* Bolkh., *Gleichenia delicata* Bolkh., *G. stellata* Bolkh., *Leptolepia fossilis* Hlon., *Pteris cretacea* Hlon., *Pinus insignis* (Naum.) Bolkh., *Caytonia oncodes* Harris и др.

Аптский ярус в разрезе подразделяется на две части.

Нижний апт (138 м) представлен зеленовато-серыми и темно-серыми глинами с прослойми ожелезненных песчанистых мергелей и буроватых песчаников, содержащих остатки белемнитов: *Neohibolites ewaldi* Stromb., *N. eairicus* Natz., *N. clava* Stoll. и др. Возраст отложений датируется руководящим *Neohibolites clava* Stoll. и нижнеаптским комплексом фораминифер: *Ammodiscus spirillinaformis* Taitov, *Haplophragmoides bulboides* Taitov, *Bigenerina reophaxiforma* Taitov, *Trochammina regina* Taitov et Kuzn., *Gaudryina triforma elongata* Taitov и др.

Верхний апт (30 м) выражен серыми, темно-серыми, зеленовато-серыми, кирпично-красными и темно-бурыми глинами с прослойками темно-серых песчаников с белемнитами: *Neohibolites montanus* Ak. Altz., *N. eairicus* Natz., *N. ewaldi* (Stromb.) и др.

В целом для апских отложений характерны комплексы спор и пыльцы: *Sphagnum* sp., *Selaginella kemensis* Hlon., *Schizaea certa* (Bolkh.) Bolkh., *Anemia macrorhiza* (Mal.) Bolkh., *Pelletieria minutaestriata* Bolkh., *Gleichenia delicata* Bolkh., *G. laeta* Bolkh., *G. umbrinata* Bolkh., *G. rasiliis* Bolkh., *G. nigra* Bolkh., *Gleicheniidites tuberculatus* Grig., *Leptolepia fossilis* Hlon., *Pinus vulgaris* (Naum.) Bolkh., *Caytonia oncodes* Harris и др.

Альбские отложения подразделяются на три части.

Нижний альб (100 м) состоит из красных, светло-розовых глин с прослойми серых песчаников и песчанистых известняков. Эти отложения содержат характерный комплекс фораминифер: *Rhizammina indtvisa* Brady, *Proteonina complanata* (Franke), *Homospirella gaultina* (Berth.), *Bigenerina subbotinae* Taitov, *Ammobaculites albensis* Taitov, *A. albensis longa* Taitov и др.

В среднем альбе (35 м), представленном темно-серыми, темно-зелеными глинами с прослойками темно-серых песчаников, встречены белемниты и ринхолиты (*Neohibolites minimus* List., *N. stylioides* Renng. и *Hadrocheilus tschikitschaensis* R. Aliev), свидетельствующие о возрасте отложений [1].

Верхний альб (60 м) охарактеризован серыми, темно-зелеными глинами с прослойми светло-серых песчаников. Здесь встречаются характерные фораминиферы: *Globigerinella ultramicra* Subb., *Globigerina globigerinellinoides* Subb., *G. infracretacea* Glaessn. и др.

Альбские отложения в целом содержат спорово-пыльцевый комплекс: *Sphagnum* sp., *Schizaea laevigataeformis* Bolkh., *Anemia phyl-*

*littoralis* Hlon., *Pelletieria minutaestriata* Bolkh., *Gleichenia deltata* Bolkh., *G. triplex* Bolkh., *G. rara* Hlon., *Stenozonotrites* sp., *Ginkgo* sp., *Pagiophyllum* sp., *Cupressaceae*, *Sciadopitys ambiguum* Hlon., *Pinus concessa* (Naum.) Bolkh., *P. insignis* (Naum.) Bolkh., *Gastanea vakhrameevii* Bolkh. и др.

## ЛИТЕРАТУРА

1. Алиев Р. А. Новые ринхолиты из нижнего мела Ю-В Кавказа. „ДАН Азерб ССР“, т. XXI, № 9, 1965. 2. Алиев Р. А. О находке аммонита рода *Subpulchellia* в барреме Кавказа. „Палеонт. ж.“, № 2, 1968. 3. Халилов А. Г. Стратиграфия нижнемеловых отложений юго-восточного окончания Большого Кавказа. Баку, 1965.

Институт геологии

Поступило 14. VI 1974

Р. Э. Элиев

Чикилчай (Ч.-ш. Гафгаз) саянсийн Алт Тэбашир сүхурларынын јени стратиграфик бөлкүсү

## ХУЛАСЭ

Апарылан тэдгигатлар иётичесинде мүэйжэн едилишидир ки, Арнаулаг гырышынын шимал-шэрг вэ чэнуб-гэрб ганадларында Алт Тэбаширин кэсилиши Баррем јашлы сүхурларла башланыр.

Баррем мэртэбэснин алт јарыммэртэбэсн аммонитлэрин јајылмасы илэ сәчијјэлэшир. Апт мэртэбэсн сәчијјэви белемнитлэрэ өсасэн 2 јарыммэртэбэжэ аյрылмышдыр. Алб мэртэбэснин орта ииссэсн характер белемнитлэрни јајылмасы илэ сәчијјэлэшир.

Көстәрилән јарусларда фораминиферләр (бә'зән остракодалар), иэмчини спор вэ тозчуглар тапылыр.

R. A. Aliev

New subdivision of lower cretaceous on  
r. Chykylchay (the South-Eastern Caucasus)

## SUMMARY

Data built on the complex study of macro- and microfauna and spore and pollen as well, allowed to ascertain that section begins from Barrem deposit, but not Hauterive. Barrem is subdivided into two parts, from which the lower substage is characterised by leading ammonites.

Aptian stage is divided into two substages on the base of typical belemnites. Albian stage contains typical belemnites in the middle substages.

Typical complexes of foraminifera (Ostracoda here and there) and spore and pollen as well are met in Barrem, Aptian and Albian.

Р. Г. МАМЕДОВ, Л. В. КРАВЧЕНКО

**СОДЕРЖАНИЕ ГУМУСА И ЕМКОСТИ ПОГЛОЩЕНИЯ  
В РАЗЛИЧНЫХ ФРАКЦИЯХ МЕХАНИЧЕСКОГО СОСТАВА  
КАШТАНОВЫХ ПОЧВ АЗЕРБАЙДЖАНА**

(Представлено академиком АН Азербайджанской ССР В. Р. Волобуевым)

Изучению свойств фракций механических элементов различных почв в последние годы уделяется большое внимание. Многие из работ выполнены на кафедре физики и мелиорации почв МГУ под руководством Н. А. Качинского по единой методике на различных типах почв [1, 2, 4, 6, 7, 9, 10, 11, 12].

В настоящей статье рассматриваются результаты изучения некоторых химических свойств—содержание гумуса и емкости поглощения фракций механических элементов каштановых почв в условиях Азербайджана.

Каштановые почвы являются одними из наиболее распространенных почв Азербайджана и занимают более 20% общей площади республики [8]. В Азербайджане они в основном имеются в юго-восточной части Б. Кавказа, в Карабахском, Кировабад-Казахском массивах и в Приараксинской полосе. Из этих массивов были выбраны ключевые участки, заложены разрезы и взяты почвы для исследований.

По механическому составу каштановые почвы юго-восточной части Б. Кавказа и Приараксинской полосы относятся к средне- и легкоглинистым, преобладающими фракциями здесь являются мелкая пыль (0,005—0,001 мм) и ил (<0,001 мм), в нижних горизонтах содержание ила увеличивается. Мелкой пыли в верхних горизонтах больше, чем ила. Вниз по профилю количество мелкой пыли снижается (табл. 1).

Почвы Карабахского и Кировабад-Казахского массивов по механическому составу несколько легче, здесь доминирует крупная пыль, вниз по профилю содержание ила падает.

По содержанию гумуса отмечается общая закономерность для всех исследованных почв: наиболее гумусированы верхние горизонты (2,2—2,4%), вниз по профилю содержание гумуса падает до 0,5—0,8%.

Карбонаты во всех почвах обнаруживаются начиная с верхних горизонтов (15,53—18,24%  $\text{CaCO}_3$ ), исключение составляет каштановая почва Карабахского массива, в которой в слое 0—23 см  $\text{CaCO}_3$  составляет 4,75%. Наибольшего значения во всех почвах карбонатность до-

Таблица 1  
Некоторые физико-химические свойства каштановых почв Азербайджана

Горизонт, глубина, см	Механический состав			Гумус, %	$\text{CaCO}_3$ , %	рН подзолистый	Сумма поглощ. cationov, мг/экв	В том числе		
	1—0,01 мм	0,01—0,001 мм	<0,001 мм					Ca <sup>++</sup>	Mg <sup>++</sup>	Na <sup>+</sup>
Каштановая почва юго-восточной части Б. Кавказа, разрез 2										
A 0—30	24,72	45,60	29,68	2,13	15,53	7,9	25,85	16,78	7,87	2,20
AB 30—56	25,44	48,24	26,02	1,01	24,85	7,9	21,60	16,45	3,75	1,40
B 56—95	30,00	41,68	28,40	0,71	11,60	8,0	25,50	14,23	8,37	2,90
BC 95—120	19,60	42,08	38,32		18,65	8,0	23,78	10,93	11,75	1,10
C 120—152	22,76	43,72	33,52		21,12	8,0	15,03	10,25	2,38	2,40
Каштановая почва Карабахского массива, разрез 6										
A 0—23	44,48	36,21	19,28	2,57	4,75	7,9	29,85	23,78	4,87	1,20
AB 23—50	41,04	35,44	23,52	1,03	24,24	8,0	19,51	6,13	9,7	4,00
B 50—75	41,01	35,36	23,60	0,82	21,12	8,3	24,58	13,80	4,38	6,40
BC 75—100	40,90	32,28	27,72	0,61	14,92	8,2	21,62	8,62	6,00	7,00
C <sub>1</sub> 100—125	48,40	36,72	14,88		13,46	8,4	43,40	28,40	13,20	1,40
C <sub>2</sub> 125—175	51,56	33,36	15,08		11,60	8,0				
Каштановая почва Приараксинского массива, разрез 8										
A 0—27	35,52	40,24	24,24	1,82	18,21	8,1	24,05	22,08	4,37	1,60
AB 27—55	27,60	42,80	29,60	1,07	18,24	8,2	27,78	16,00	9,88	1,90
B 55—87	26,56	43,20	30,24	0,79	19,06	8,4	25,50	16,50	7,50	1,50
BC 87—110	20,10	41,72	34,88	0,65	19,46	8,4	28,63	16,20	10,88	1,60
C <sub>1</sub> 110—135	25,68	36,16	38,16		21,53	8,5	28,73	22,85	4,38	1,50
C <sub>2</sub> 135—155	24,12	37,08	38,80		19,06	7,9	38,83	17,58	19,75	1,50
Каштановая почва Кировабад-Казахского массива, разрез 10										
A 0—20	48,72	28,00	21,18	2,29	17,39	8,4	23,75	14,18	6,87	1,80
AB 20—55	47,60	24,48	27,92	0,8	20,72	8,3	22,80	9,43	3,87	9,50
B 55—76	49,28	24,90	26,72	0,74	18,55	7,9	23,68	10,80	4,38	11,50
BC 76—92	39,62	32,08	28,30	0,56	17,39	8,0	29,73	16,48	9,85	3,49
C 92—145	69,72	5,84	24,40		15,74	8,6	30,93	13,95	3,88	13,10

стигает в горизонте AB. Реакция среды для указанных почв щелочная, находится в пределах 7,9—8,6. Поглощающий комплекс исследованных почв в основном насыщен кальцием и магнием. Емкость поглощения убывает вниз по профилю.

Для выделения фракций механических элементов почву готовили по общепринятой методике для карбонатных почв [3].

Илистую фракцию из суспензии осаждали минимальным количеством коагулятора (HCl), затем промывали дистиллированной водой от хлора и высушивали на воздухе. Из исходных образцов были выделены следующие фракции механических элементов (мм): песок мелкий (0,25—0,05); пыль крупная (0,05—0,01); пыль средняя (0,01—0,005); пыль мелкая (0,005—0,001) и ил (0,001).

В полученных гранулометрических фракциях определяли содержание гумуса (по Тюрину) и емкость поглощения (по Бобко и Аскинази). Гумус каштановых почв юго-восточной части Б. Кавказа и Приараксинской полосы сосредоточен преимущественно во фракциях ила и мелкой пыли. Наибольшее содержание его отмечается в мелкой пыли (3,56%) и в иле (2,22%) пахотного горизонта.

Аналогичная картина распределения гумуса наблюдается и в каштановых почвах Карабахского и Кировабад-Казахского массивов, в них гумус в основном сосредоточен в илистой фракции (2,74—3,85%) гумусово-аккумулятивного горизонта, хотя значительное количество его находится в мелкой пыли (2,56—3,74%). Наибольшее со-

держение гумуса наблюдается в поверхностных горизонтах. Пыль средняя и крупная всех исследованных почв содержит гумуса меньше, чем мелкая пыль и ил, однако больше, чем одноименные фракции каштановых почв Волгоградской области [2] и южной части Приэльзской возвышенности [9].

Этот факт отмечается многими исследователями и для других почв [4, 1, 7, 11, 12] и объясняется тем, что в верхних горизонтах имеется много полуразложившихся растительных остатков, которые при разделении почвы на фракции попадают в более крупные фракции. В составе каждой фракции содержание гумуса вниз по профилю постепенно падает (табл. 2).

Во всех исследованных нами почвах наблюдается общая закономерность: наибольшей емкостью поглощения обладают илистые частицы, которые состоят в основном из высокодисперсных вторичных минералов.

По мере увеличения размера частиц емкость поглощения падает. Вниз по профилю в одноименных фракциях емкость поглощения во всех исследованных нами почвах также уменьшается.

Емкость поглощения илистых фракций почв юго-восточной части Б. Кавказа и Прикаспийской полосы вниз по профилю остается почти постоянной и находится в пределах 48—51 мг·экв на 100 г фракции.

В почвах Карабахского и Кировабад-Казахского массивов емкость поглощения илистых частиц несколько выше — 53—61 мг·экв на 100 г фракции и величины ее значительно колеблются. Наивысшего значения емкость поглощения достигается в гор. АБ—61,94 мг·экв на 100 г фракции (табл. 2).

Таблица 2  
Гумус и емкость поглощения механических фракций каштановых почв Азербайджана

Горизонт глубина, см	Гумус, %					Емкость поглощения, мг·экв на 100 г фракций				
	Размер фракций, м.м					Размер фракций, м.м				
	Исходн. почва	0,05— 0,01	0,01— 0,005	0,001— 0,0005	< 0,001	Исходн. почва	0,05— 0,01	0,01— 0,005	0,005— 0,001	< 0,001

#### Каштановая почва юго-восточной части Б. Кавказа, разрез 2

A 0—30	2,13	1,59	1,18	3,56	2,20	21,15	5,09	7,02	21,32	48,07
AB 30—56	1,91	0,61	0,67	3,34	1,76	16,69	2,10	6,46	21,02	48,07
B 55—95	0,71	0,47	0,47	0,90	0,98	15,49	1,28	3,38	8,26	08,62

#### Каштановая почва Карабахского массива, разрез 6

A 0—23	2,37	2,43	2,54	2,56	2,77	28,12	17,30	45,20	50,57	53,21
AB 23—50	1,03	0,61	0,92	0,61	1,90	15,41	5,82	9,59	20,03	51,06
BC 75—100	0,82	0,42	0,50	0,42	1,71	12,98	5,35	6,38	11,47	46,40

#### Каштановая почва Прикаспийского массива, разрез 8

A 0—27	1,82	1,85	1,48	2,90	2,16	23,20	7,79	9,76	2,21	54,75
AB 27—55	1,08	1,42	1,57	1,19	1,34	22,52	4,54	6,13	16,57	51,53
BC 87—110	0,65	0,53	0,50	1,03	1,19	20,20	3,68	6,03	14,51	51,43

#### Каштановая почва Кировабад-Казахского массива, разрез 10

A 0—20	2,29	1,55	3,35	3,74	3,85	20,97	12,84	30,31	44,17	54,79
AB 20—55	0,84	0,68	1,08	2,38	2,50	18,53	12,11	19,73	31,16	61,91
BC 76—92	0,55	0,58	0,79	0,95	1,08	17,27	7,32	11,39	28,76	57,92

Сравнивая полученные результаты емкости поглощения с ранее опубликованными работами по каштановым почвам [2, 9], можно отметить общую закономерность изменения емкости поглощения: вниз по профилю и с увеличением размера частиц емкость поглощения падает, однако абсолютные величины, выражающие эти свойства у данных почв, различны. В наших почвах наблюдается увеличение емкости поглощения во фракциях крупной и средней пыли, что можно объяснить повышенным содержанием в этих фракциях гумуса.

Из всего сказанного можно сделать следующие выводы:

1. В распределении гумуса по механическим фракциям всех исследованных почв наблюдается общая закономерность, а именно: с уменьшением размера частиц содержание гумуса увеличивается. В гумусово-аккумулятивных горизонтах содержание гумуса в мелкой пыли и иле почти одинаковое, с некоторым преобладанием в мелкой пыли. Вниз по профилю в одноименных фракциях содержание гумуса постепенно падает.

2. Емкость поглощения сильно варьирует по фракциям, увеличиваясь с уменьшением размера частиц. Самой высокой емкостью поглощения обладает илистая фракция, которая в два, два с половиной раза превосходит исходную почву. Во фракциях пыли — крупной, средней и мелкой — емкость поглощения довольно отчетливо изменяется по генетическим горизонтам, уменьшаясь с глубиной.

#### ЛИТЕРАТУРА

- Асланов Н. Н. Состав и свойства отдельных фракций механического состава светлого серозема. Научн. тр. Ташкентского ун-та, 1966, вып. 291.
- Воронин А. Д. Некоторые свойства фракций механических элементов комплекса почв светло-каштановой подзоны. «Вестник МГУ», серия биол. почвов., геол. геогр., № 4, 1958.
- Горбунов И. И. Методика подготовки почв, грунтов, взвесей рек и осадков методом к минералогическому анализу. «Почвоведение», № 11, 1960.
- Крумкачев Л. И., Мосолов А. И. Некоторые химические, физико-химические и физические свойства фракций механических элементов основных почвенных типов Ленкоранской зоны Азерб. ССР. «Почвоведение», № 10, 1972.
- Кочерина Е. И. Некоторые химические и физические свойства отдельных механических фракций дерново-подзолистой почвы. «Почвоведение», № 12, 1954.
- Лабенец Е. М. Химико-минералогические свойства луговой солидки и южного чернозема в зоне Краснознаменского канала. «Почвоведение», № 11, 1964.
- Личманова А. И. Некоторые свойства механических фракций светло-серой лесной почвы. «Почвоведение», № 6, 1962.
- Мамедов Р. Г. Агрофизические свойства почв Азербайджана. Тр. Ин-та почвоведения и агрономии АН Азерб. ССР. Баку, 1963—1965.
- Мануаров А. С. Состав и свойства фракций механических элементов почв темно-каштановой подзоны. Автореферат, М., 1971.
- Петков И. А. О химическом и минеральном составе фракций мощного и вышелоченного черноземов Центрального черноземного заповедника. «Вестник МГУ», № 3, 1965.
- Покотило А. С. О химическом составе фракций механических элементов обыкновенного и южного черноземов. «Вестник МГУ», № 3, 1967.
- Синкевич З. А. Состав и свойства механических фракций почв Молдавии. Автореферат, Кишинев, 1966.

Институт почвоведения  
и агрохимии

Поступило 5. III 1974

Р. И. Маммадов, Л. В. Кравченко

Азэрбајҹаның шабалыды торпагларының механик тәркибиндә мұхтәлиф фраксијаларының һумусу вә удма тутумы

#### ХУЛАСӘ

Шабалыды торпаглар Азэрбајҹанда ән кениш язылмышдыры. Бу торпагларының механик тәркибинин мұхтәлиф фраксијаларының һу-

мус вә удма тутумлары өјрәнилмәмишdir. Тәдгигатымызын пәтичәси көстәрир ки, механики тәркиби мүхтәлиф фраксијаларында һумусун мигдары ганунаујғын олараг нарын тоз вә лил һиссәчикләриңе дөгру артыр. Онун ән максимал мигдары 0,001—0,005 мм һиссәчикләрдә тәсадүф олунур. Удма тутумуның көстәричиләриңе дә һәмин ганунаујғынлуг мүшәнидә олунур. Ән јүксәк удма тутуму 0,001 мм-дән кичик һиссәләрә аид олмагла, 46—62 мг/екв-ә бәрабәрdir. Бу көстәричи иллик торнаға инсбәтән 2—3 дәфә артыгдыр.

R. G. Mamedov, L. V. Kravtchenko

### Humus content and adsorbing capacity in different mechanical fractions of chestnut soils of Azerbaijan

#### SUMMARY

The distribution of humus mechanical fraction observe general regularity: when humus content grows the size of the particles decreases.

The humus content falls down the profile of the soil gradually in the fractions of the same name.

When the size of particles decreases the adsorbing capacity grows. Adsorbing capacity decreases down the profile.

АЗӘРБАЙЧАН ССР ЕЛМЛӘР АКАДЕМИЈАСЫНЫН МӘРУЗӘЛӘРИ

ДОКЛАДЫ АКАДЕМИИ НАУК АЗЕРБАЙДЖАНСКОЙ ССР

ТОМ XXXI ЧИЛД

№ 7

1975.

УДК 577.3

#### БИОФИЗИКА

А. И. ДЖАФАРОВ, Т. М. ГУСЕЙНОВ

### ВЛИЯНИЕ ВНЕШНИХ УСЛОВИЙ НА ИНТЕНСИВНОСТЬ СВЕЧЕНИЯ ТКАНЕЙ ЖИВОТНЫХ

(Представлено академиком АН Азербайджанской ССР Г. Б. Абдуллаевым)

Сверхслабое спонтанное свечение, регистрируемое в основном в сине-зеленой и красной областях спектра, свойственно как растительным, так и животным организмам [8, 9]. По мнению большинства исследователей, это свечение обусловлено процессом свободнорадикального окисления липидного компонента мембран клеток [4, 7, 5].

Рядом авторов установлено, что интенсивность биохемилюминесценции зависит от условий внешней среды — температуры, содержания кислорода, концентрации водородных ионов [2, 6, 3, 10]. Однако при постоянстве внешних условий в пределах физиологической нормы данное свечение испускается всегда с постоянной интенсивностью, характеризуя этим стационарность процесса, ответственного за генерацию электронно-возбужденного состояния. В указанных работах эксперименты проводились в основном либо с растительными, либо с гомогенатами, либо с отдельными субклеточными фракциями тканей животных, в силу чего данные этих опытов не могут быть полностью использованы при интерпретации факта хемилюминесценции тканей *in situ* и при переживании. В то же время выявление специфического взаимоотношения сверхслабого свечения с условиями внешней среды будет способствовать более глубокому пониманию механизма хемилюминесцентных реакций переживающих тканей животных. В настоящей работе делается попытка изучить характерные особенности сверхслабого свечения переживающих тканей животных в зависимости от температуры, газового состава и pH окружающей среды.

#### МЕТОДИКА

Объектом исследования служили печень, прямые мышцы живота, кожа и кость белых крыс. При изучении влияния концентрации кислорода и других газов их пропускали со скоростью один литр в минуту через термостабильную камеру, где находился объект. Зависимость интенсивности свечения ( $J$ ) тканей от температуры ( $t$ ) изучали путем постепенного нагревания объекта от 36° до 50°C. При каждом от-

дельном значении температуры объект выдерживали в течение 15 минут.

Для определения зависимости интенсивности хемилюминесценции тканей от pH их свечение измеряли сразу после извлечения из организма и после выдерживания в буферных растворах с различным значением pH. В этой работе были исследованы следующие буферные смеси: фосфатная [pH=5,25—8], лимоннокислофосфатная (pH=2,2—8) и верональная [pH=7,5—10].

Хемилюминесценция тканей регистрировалась с помощью фотомножителя ФЭУ-42 на фотометрической установке, принцип которой был описан в работах [8,4]. Результаты опытов статистически обработаны по методу, описанному в работе [1].

## РЕЗУЛЬТАТЫ И ОБСУЖДЕНИЕ

Установлено, что фактором, значительно влияющим на интенсивность сверхслабого свечения тканей, является температура. Повышение температуры от 36° до 50°C приводит к возрастанию интенсивности свечения. Однако кинетика свечения различных тканей различна (рис. 1). В коже и кости интенсивность свечения по мере повышения

температуры до 50°C линейно нарастает. Кривые свечения мышц и печени, напротив, имеют выраженный максимум при температуре 43°C. У этих тканей свечение до 43°C резко усиливается и достигает максимума. При дальнейшем повышении температуры до 44°C интенсивность свечения снижается, а при 46°C вновь быстро нарастает. Если эти ткани предварительно подвергнуть экстремальному воздействию (в наших опытах замораживание до -196°C), то на кривой свечения ранее выявленный максимум не обнаруживается.

Форма кривой свечения гомогенатов сходна с кинетикой хемилюминесценции переживающих тканей. В этом случае также отмечена тенденция к образованию максимума при 43°C. Обсуждая отмеченные факты, можно заключить, что сверхслабое свечение тесно связано с жизнедеятельностью тканей. При нарушении ее (замораживание при температуре -196° с последующим оттаиванием) характер свечения

становится близким к хемилюминесценции самоокислительных систем, например, ненасыщенных жирных кислот, где процесс протекает с самоускорением.

В случае со свежепрепарированными тканями, у которых в какой-то мере сохранены авторегуляторные процессы, температурная зависимость свечения оказалась нелинейной и имела четкий максимум.

Усиление свечения при воздействии неблагоприятных факторов,

по-видимому, связано с активацией свободнорадикального перекисного окисления структурных липидов.

Непосредственная связь хемилюминесценции переживающих тканей с окислительными процессами подтверждена опытом.

Если из системы удалить кислород, замещая воздух азотом ( $N_2$ ), то интенсивность хемилюминесценции тканей резко падает и через пять минут полностью исчезает (рис. 2). При повторном пропускании воздуха через камеру интенсивность ХЛ тканей вновь нарастает, но прежнего уровня на 10-й минуте еще не достигает. В случае с углекислым газом интенсивность хемилюминесценции тканей, резко уменьшается, через 5 минут устанавливается на уровне фона. При обратном замещении  $CO_2$  воздухом свечение полностью восстанавливается в течение 3 минут.

Из представленного материала видно, что свечение, как правило, наблюдается только в присутствии кислорода. При увеличении концентрации его во внешней среде до 25—30% интенсивность ХЛ тканей увеличивается. Более заметное увеличение интенсивности ХЛ с повышением концентрации кислорода обнаружено у тканевых гомогенатов.

Примечательно, что на кривых, выражающих зависимость интенсивности свечения гомогенатов замороженных и оттаявших тканей от концентрации кислорода, также отмечается плато (рис. 3), однако оно

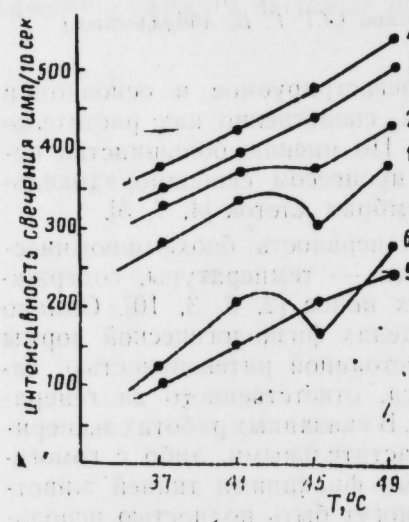


Рис. 1. Влияние температуры на интенсивность свечения различных тканей и гомогенатов.

1 — свежепрепарированная мышца; 2 — гомогенат, приготовленный из свежепрепарированной мышцы; 3 — мышца, предварительно автолизированная, а затем замороженная и оттаявшая; 4 — кожа; 5 — кость; 6 — печень.

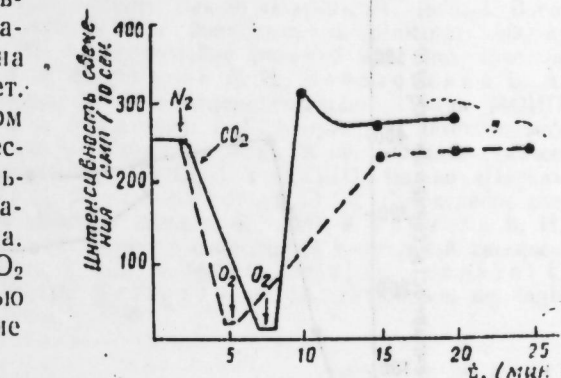


Рис. 2. Влияние газового состава среды на интенсивность свечения мышц.



Рис. 3. Влияние концентрации кислорода на интенсивность свечения мышц.

1 — свежепрепарированная мышца; 2 — замороженная и оттаявшая мышца; 3 — гомогенат, приготовленный из свежепрепарированной мышцы.

проходит на более высоком уровне, чем у свежепрепарированных тканей. По-видимому, это плато у различных тканей отражает соотношение между объемом субстрата, окисляемого за единицу времени молекулярным кислородом, и вероятностью образования продуктов перекисления. Из исследованных тканей наибольшее увеличение в интенсивности ХЛ

в кислородной среде наблюдается у ткани кожи, а наименьшее — у печени.

Изменение концентрации ионов водорода ( $\text{pH}$ ) оказывает влияние на хемилюминесценцию переживающих тканей. Интенсивность ХЛ тканей при нейтральном значении буферной смеси, вероинальной и Мак-Ильвена превышает исходное значение 1,5 раза (рис. 4). В то же время

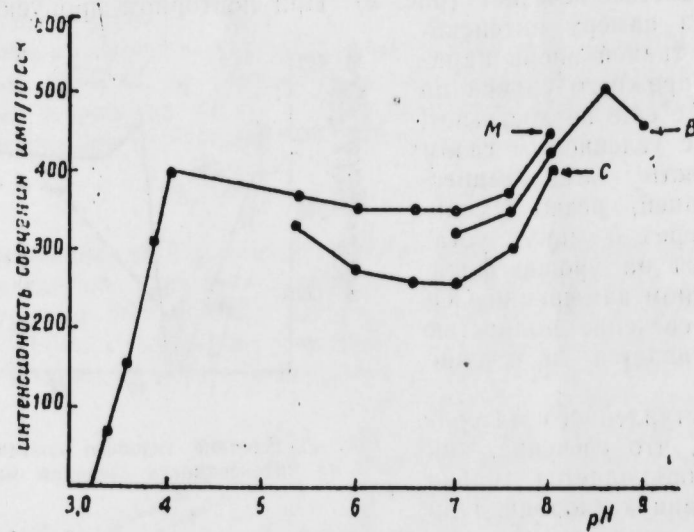


Рис. 4. Влияние значения  $\text{pH}$  на свечение свежепрепарированной мышицы.

С — буфер Серенсена ( $\text{pH}=5,25-8$ ); В — буфер вероинальный ( $\text{pH}=7,5-10$ ); М — буфер Мак-Ильвена-лимонно-кислый фосфатный ( $\text{pH}=2,2-8$ ).

в буферной смеси Серенсена при нейтральном значении  $\text{pH}$  в интенсивности ХЛ особых изменений не наблюдается. Во всех испытанных буферных смесях при значительном смещении значения  $\text{pH}$  в щелочную сторону [7, 6] интенсивность ХЛ тканей заметно усиливается. При дальнейшем подщелачивании до  $\text{pH}=8,8$  усиление интенсивности ХЛ достигает максимума. Изменение значения  $\text{pH}$  среды в кислую сторону в отличие от растительных организмов также усиливает свечение переживающих тканей. Это усиление достигает максимума при значениях  $\text{pH}=5,3-5,5$ ; однако уровень хемилюминесценции при этом все же не доходит до уровня «щелочного» максимума. Дальнейшее подкисление вызывает резкое угнетение свечения переживающих тканей. Уже при значении  $\text{pH}=3,3$  свечение достигает уровня фона.

Отмечено, что время выдерживания тканей в буферных смесях заметно не влияет на характер наблюдаемых изменений в интенсивности хемилюминесценции.

Увеличение интенсивности ХЛ тканей при щелочных значениях  $\text{pH}$  можно объяснить усиленным перекисеобразованием. По данным Селиджера (1963), наибольший квантовый выход свечения люминофора, а также медузы лежит в щелочной среде.

Для объяснения обнаруженнего усиления ХЛ тканей при кислом значении  $\text{pH}$  необходимы дальнейшие исследования.

На основании полученных данных можно заключить, что сверхслабая ХЛ как свежепрепарированных животных тканей, так и тканей, переживающих при различных условиях, и гомогенатов обусловлена свободорадикальными окислительными реакциями. Эти реакции

зависят от условий среды и тесно коррелируются с состоянием тканей, явно заторможенных при нормальном метаболизме.

## ЛИТЕРАТУРА

- Байер В. Биофизика. М., ИЛ, 1962.
- Гасанов Р. А., Мамедов Т. Г. Зависимость интенсивности сверхслабой хемилюминесценции растений от температуры и  $\text{pH}$  окружающей среды. «Научные доклады высшей школы», биол. науки, № 4, 1963.
- Владимиров Ю. А., Львова О. Ф. Изучение сверхслабых свечений гомогенатов печени. В сб.: «Биофизика клетки», Изд-во «Наука», М., 1965.
- Владимиров Ю. А. Сверхслабые свечения при биохимических реакциях. Изд-во «Наука», 1965.
- Владимиров Ю. А. Сверхслабые свечения при биохимических реакциях. Изд-во «Наука», М., 1966.
- Журавлев А. И., Веселовский В. А., Кощеенко Н. Н. Биолюминесценция. В сб.: «Биолюминесценция». Труды МОИП, т. XXXIX, Изд-во «Наука», М., 1965.
- Мамедов Т. Г. Корреляция интенсивности слабой биолюминесценции с реакциями метаболизма клетки. В сб.: «Физико-химические основы авторегуляции в клетках». Труды МОИП, т. XXVIII. Изд-во «Наука», 1968.
- Тарусов Б. И., Иванов И. И., Петрусеевич Ю. М. Сверхслабое свечение биологических систем. Изд-во «Высшая школа», М., 1967.
- Тарусов Б. И., Поливода А. И., Журавлев А. И. Изучение сверхслабой спонтанной люминесценции животных клеток. «Биофизика», 6, вып. 4, 1961.
- Coll L., Lacchini U. Nuovo Cimento, 1954, 12, 1, 150.
- Seliger H. H. In: Symposium on Light and Life. Baltimore. John Hopkins Press, p. 200.

Институт физиологии

Поступило 24. II 1975

Н. И. Чэфэрэв

## Неванни тохумаларыны шыг бурахмасына харичи амилләрин тә'сири

### ХУЛАСЭ

Көстәрілмешдир ки, неванни тохумаларын чох зәйф шыгбурахма интенсивлигине тә'сир едән амилләре температур, этраф мүнитин газ тәркиби вә  $\text{pH}$ -ы анддир. Температурун 36-дан 50°C-ә гәдәр артырылмасы шыгбурахма интенсивлигине јүксәлдир. Лакин јеничә организмдән айрылмыш тохумаларда вә ошлардан һазырланимыш һомоксигнатда бу интенсивлигине күчләймәси хәтти дејил, айдаңы һүдуда малиkdir. Бу, неванни тохумаларда һәлә авторепријасијами сахланысын көстәрир, лакин позулдугда бурахылан зәйф шыгын характеристикалық оқсидләшешен системине յаҳын олур. Айдаңлашдырылмышдырыки, неванни тохумаларын бурахдығы зәйф шыг յалызыз оқсикен шәрапитидә гејд олуңур. Онуң интенсивлиги  $\text{pH}$ -ын гијметиндең әһәмијәттeli дәрәчәдә асылыдыр. Даһа јүксәк интенсивлик гәләви мүнитдә, эн зәйф исә түрш мүнитин ашагы гијметинде мушаһидә олуңур.

УДК 576.354.4:634.72

ГЕНЕТИКА

Г. М. РАСИ-ЗАДЕ

МЕИОЗ МЕЖРОДОВОГО ГИБРИДА ЧЕТВЕРТОГО  
ПОКОЛЕНИЯ

*Tr. TURGIDUM × Ae. AUCHERII*

(Представлено академиком АН Азербайджанской ССР И. Д. Мустафаевым)

Изучение особенностей мейоза у злаков имеет значение для систематики, а также для выяснения причин нескрещиваемости. Имеются многочисленные данные о мейозе как у видов пшениц, так и у пшенично-эгилопсовых гибридов [7, 8, 9, 10, 4, 5, 1, 2, 3, 6 и др.].

При всей обширности данных по мейозу межродовых гибридов пшеницы исследование проведено не в полной мере.

В настоящей работе преследуется цель изучить цитогенетическими методами межродовые гибриды — *Tr. turgidum × Ae. aucherii*, в особенности константные с ценными урожайными и другими качественными показателями.

Для исследования различных фаз мейоза пыльники разных этапов развития фиксированы в Ньюкомере (6 частей изопропилового спирта, 3 — пропионовой кислоты, 1 — петролейного эфира, 1 — ацетона и 1 — диоксана). Фиксацию проводили в утренние часы — с 8 до 11, материал после пребывания в фиксаторах от 4 до 24 часов промывали в 2—3 сменах 70 или 80%-ного спирта, а затем в спирте такой же концентрации хранили в холодильнике. Использовали методику приготовления давленых препаратов. При этом пыльники на разных этапах развития раздавливали в капле ацетокармиина.

Мейоз у пшенично-эгилопсного гибрида идет нормально, а также с нарушениями. В диакинезе мы встречаем 14 бивалентов (рис. а, б).

В I метафазе хромосомы размещаются раздельно, на определенном расстоянии друг от друга.

В анафазе I мейоза наряду с нормальным расхождением хромосом к полюсам наблюдается и несбалансированное число хромосом при расхождении (рис. г).

Наблюдаются один бивалентный мост или 2 моста и задержка хромосом на веретене (рис. д, е). Учет асинхронности и нарушений мейоза проводился согласно таблице.

В интеркинезе перегородка не образуется, и одно из двух ядер приступало к дальнейшему делению и достигало стадии телофазы.

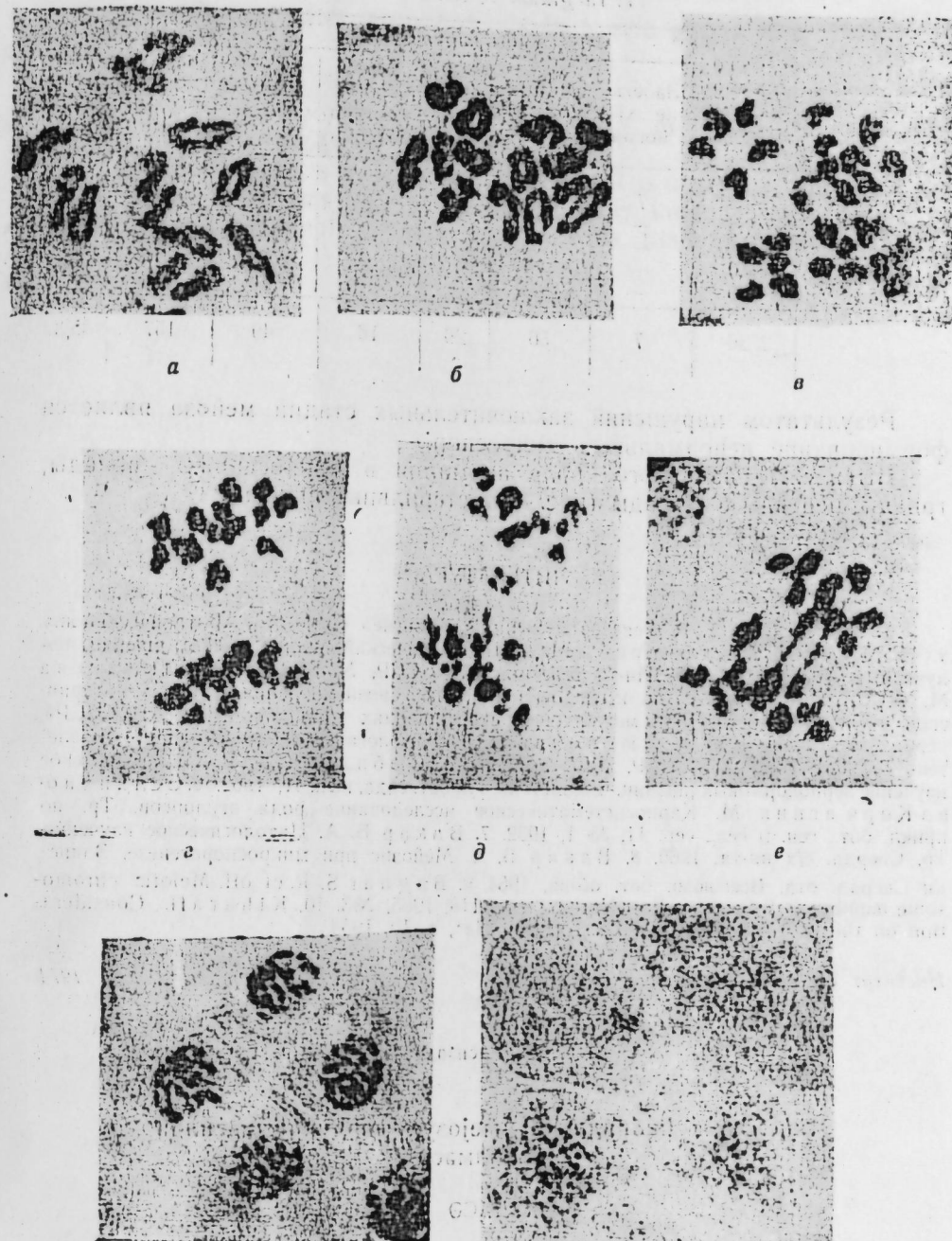


Рис. Некоторые этапы мейоза межродового гибрида F<sub>4</sub> *Tr. turgidum × Ae. aucherii*.  
а — диакинез; б — прометафаза; в — начало анафазы; г — анафаза с не-  
сбалансированными хромосомами; д — анафаза с отставающими бивалентами; е —  
анофаза I с мостиком; ж — тетрада микроспор; з — гексада микроспор. Ок. 10×,  
об. 90×.

Характер хромосомных нарушений в мейозе у гибрида  
*Tr. turgidum* × *Ae. aucherii*

Фазы мейо-за	Число просмо-трених клеток	Типы нарушений					Всего клеток с нарушениями	
		Забега-ние хро-мосом	Отстава-ние хро-мосом	Мос-ты	Асин-хрон-ность в делении	Микро-ядра	абсолют-ные	%
Анафаза I	526	7	18	11	—	18	36	6,8
Телофаза I	334	—	13	—	—	—	31	9,3
Анафаза II	416	—	11	16	—	—	27	6,7
Телофаза II	540	—	14	2	16	15	47	8,8
Тетрада	520	—	—	—	—	16	16	3,7
	Σ 2336	7	56	29	16	49	157	35,3

Результатом нарушений заключительных стадий мейоза является формирование иенормальных микроспор.

Выявлены различного рода аномалии в микроспорах: монады, триады, пентады и гексады (рис. 3) и стерильные пыльца.

#### ЛИТЕРАТУРА

1. Батыгина Т. В. Генезис мужских спорангииев Gramineae. «Ботанический ж.», т. 48, № 8, 1963.
2. Ключарева М. В. Цитологический анализ мягких пшениц, полученных из твердых. Тр. Ин-та генетики АН СССР, № 8, 1952.
3. Ключарева М. В. Цитоэмбриологические исследования случаев возникновения форм с материнской наследственностью при межвидовых скрещиваниях у злаков. «Изв. АН СССР», серия биол., № 6, 1955.
4. Любимова В. Р. Цитологическое исследование. Бюллетень Гл. бот. сада АН СССР, 1961, вып. 41.
5. Любимова В. Р. Цитологическое исследование. Бюллетень Гл. бот. сада, вып. 41, 1962.
6. Селянинова-Корчагина М. Карциосистематическое исследование рода эгилопсов. Тр. по прикл. бот., ген. и сел., сер. 11, № 1, 1932.
7. Вакар Б. А. Цитологическое изучение. Тр. Свердл. с/х ин-та, 1960.
8. Вакар Б. А. Мейозис при микроспорогенезе. Записки Свердл. отд. Всесоюз. бот. об-ва, 1964.
9. Vagnag S. R. et all. Meiotic chromosome member in 289–298. Bot. Notister, v. 118, 1965, № 3, 10. Кнаган Н. Consideration on the evolution, p. 336–357. Cytologla, т. 19, 1954.

Институт генетики и селекции

Поступило 27. III 1974

К. М. Расизадэ

#### Чинсарасы һибридләрдә мәјозун дөрдүнчү иәсилдә өјрәнилмәси

#### ХУЛАСӘ

Чинсарасы һибридләрдә мәјозун өјрәнилмәсiniи систематикада вә тозланма кетмәсiniи изаиыны вермәкдә бөйүк әһәмијјәтә маликдир. Мәјоз буғда—екилопс һибридләринде нормал вә һәмчинин позулма илә дә кедир. Мәјозда I ана фазада хромосомларын гүтбләрә нормал чәкилмәси илә бәрабәр гүтбләрә дүзкүн чәкилмәсini вә хромосомларын кери галараг көрпү әмәлә кәтирмәләринә раст кәлинмишdir. Бунлардан әlavә микроспорларда триада, пентада, гексада вә стерил тозчуглара тәсадүф олуимушдур.

G. M. Rasi-zade

#### Meiosis intergenus hybrids in fourth generation

#### SUMMARY

The aim of the work is studying of meiosis of hybrids, especially constantly among them with valuable index.

In anofaza I meiosis we have an deflexion. It is observing an balanced number of chromosomes in diverge and delay them in vereteno. It is ascertained some anomaly in microspors monads, triads, pentads, gecades and sterility pollen.



Османлы султани Сүлејманын Шаһ Тәһмасибә чаваб мәктубу, сәh. 44—47.  
 Шаһ Тәһмасибин Султан Сүлејмайә мәктубу, сәh. 47—54.  
 Экбәр падшашын Шаһ Аббаса мәктубу, сәh. 53—60.  
 Шаһ Аббасын Һиндистан падшашы Мәһәммәд Экбәрә мәктубу, сәh. 60—81.  
 Шаһ Аббасын Османлы султани Султан Мәһәммәдә мәктубу, сәh. 81—88.  
 Османлы султани Зүлфүгархан васитәсилә Шаһ Аббаса мәктубу, сәh. 88—91.  
 Османлы султани Султан Мәһәммәдә Шаһ Аббасын чавабы, сәh. 91—94.  
 Султан Һүсәйи Мирзә Бајтаранын I Шаһ Исмајыла чаваб мәктубу, сәh. 94—96.  
 Өзбәк падшашы Шаһи бәјин I Шаһ Исмајыла мәктубу, сәh. 96—98.  
 Шаһ Тәһмасибин Убејд хан Өзбәјә мәктубу, сәh. 98—99.  
 Убејд ханын Шаһ Тәһмасибә чаваб мәктубу, сәh. 105—113.  
 Өзбәк Эбдул Мө'мин ханын Шаһ Аббаса мәктубу, сәh. 113—115.  
 Шаһ Аббасын Эбдул Мө'мин хана чаваб мәктубу, сәh. 117—118.  
 Шаһ Тәһмасибин Османлы падшашы Султан Сүлејмана мәктубу, сәh. 121—127.  
 Шаһ Тәһмасибин Адил шаһа мәктубу, сәh. 127—129.  
 Рүстәмдарлы Мәлил Султан Мәһәммәдин Килаилы хан Әһмәдә мәктубу, сәh. 129—130.  
 Килаилы хан Әһмәдин Мәлил Султан Мәһәммәдә чаваб мәктубу, сәh. 130—132.  
 Экбәр шаһын оғлу Дашијалын Шаһ Аббаса мәктубу, сәh. 135—139.  
 I Шаһ Исмајылын Элауддөвлә Мурад бәј үзәриндә гәләбә чалмасы мұнасибетилә фәтһиамәси, сәh. 139—141.  
 Әмир Тәјмурун Мир Сејид Эли Кијаја мәктубу, сәh. 141—142.  
 Шаһ Султан Мәһәммәдин Ширазлы Фәтһүллаја мәктубу, сәh. 142—144.  
 Мир Элишириң өз гардашына вә оғлуна мәктубу, сәh. 149—150.  
 Султан Мәһәммәд Банадырын Җаһаншаша мәктубу, сәh. 150—153.

Тарих институты

Альянмышдыр 29.VI. 1971

Г. Ф. Сендора

## Сборник документов по истории Азербайджана

### РЕЗЮМЕ

Статья посвящается новооткрытию рукописному сборнику документов XVII в., хранящемуся в Рукописном фонде АН Азербайджанской ССР под шифром Б2103.

Сборник содержит свыше ста пятидесяти документов, в том числе писем шахов и феодальных правителей Азербайджана, Ирана, Индии, Османской Турции и др. стран. Письма написаны в основном на персидском и частично на тюркском (азербайджанском) языках. В статье дается сокращенный перевод оглавления сборника, приводится текст двух документов — «Вакф-наме» и «Фатх-наме» на языке оригинала и дается анализ их текстов. «Фатх-наме» представляет письмо шаха Аббаса I индийскому шаху Селиму (Нураддин Мухаммед Джахангир). Составитель сборника остался неизвестным.

K. F. Sejidova

## Collection of documents on the history of Azerbaijan

### SUMMARY

The article devoted to the newrevealed manuscript collection of documents XVII century kept in the manuscript fund Academy of sciences of Azerbaijan republic under cipher B2103.

Collection contains more than one hundred and fifty documents, including the letters of Azerbaijan, Iran, India, Osman Turkey and other countries. The letters were written in the main on Persian and partially on Turkic (Azerbaijan) languages. There are given in the article shortened translation of collection title, text of 2-documents "Vaqf-name" and "Fatkh-name" on the original language and analysis from texts. "Fatkh-name" reproduce shakh Abbas I letter to Indian shakh Selim (Nuraddin Muhammed Djaxangir). The compiler left unknown to us.

УДК 72(47)(09)

АРХИТЕКТУРА

Дж. А. ГИЯСИ

ТЕБРИЗСКИЕ АРХИТЕКТОРЫ В ТУРЦИИ (XIII—XVI вв.)

(Представлено академиком АН Азербайджанской ССР М. А. Усейновым)

Будучи одной из богатейших<sup>1</sup> и культурнейших стран халифата, Азербайджан с первых же лет ислама принимает участие и в архитектурных контактах с другими странами. Уже второй Халиф Омар (634—644 гг.) для строительства первой мечети в Куфе пригласил архитектора Рузбеха из Хамадана.

Мастер из Азербайджана при постройке этой мечети применял архитектурные приемы дворцов и храмов сасанидского периода<sup>2</sup>. В последующие столетия архитектурные связи разветвлялись и расширялись, возрос круг деятельности и творческое влияние азербайджанских архитекторов. В различные страны приглашались мастера-одиночки или группы мастеров из Азербайджана, превратившегося в крупный центр строительного искусства. Из них преобладающее большинство составляли тебризцы. Тебриз в определенный период времени играл ведущую роль в экономической, политической и культурной жизни исламского Востока.

В Турцию вплоть до XVI в. — периода наивысшего расцвета османской архитектуры — приглашались зодчие из различных стран, и постройки сельджукских султанов часто осуществлялись мастерами-иностранцами<sup>3</sup>. Тебризские зодчие и здесь прославили себя как непревзойденные мастера архитектуры.

Перечисляя первичные и важнейшие истоки архитектуры Малой Азии исламского периода, Доган Кубан особо отмечает привнесение в турецкую архитектуру кирпичного, гяжевого и изразцовского декора из Азербайджана и пишет: «...строя мавзолей Салтукулу в Эрзруме или Кали мечеть в Дириги, эмир или султан поручил выполнить свою волю местным мастерам. А убранство зданий исполнил находящийся в то время там мастер-азербайджанец»<sup>4</sup>.

Ешиль Тюрбе и Ешиль Джами (1424 г.), считающиеся одними из выдающихся архитектурных памятников города Бурсы, построены с

<sup>1</sup> М. Усейнов, Л. Вратинский, А. Саламзаде. История архитектуры Азербайджана. М., 1963, стр. 38.

<sup>2</sup> ۱۷۴—۱۷۳ م. عسیانو، دانشگاه آدیبات و علوم انسانی تبریز، شماره ۱۳۴۰، ۲، ص ۱۰۱—۱۰۲.

<sup>3</sup> E. Diez, O. Açıkgöz, Turk Sanatlari İstatistikleri, 1952, S. III; D. Kibar, 100 boguda Turkiye sanatlari, İstanbul, 1970, s. 104.

<sup>4</sup> D. Kibar, Указ. работа, стр. 172.

участием группы мастеров из Тебриза. Одни из авторов великолепного изразцовского декора этих памятников был тебризи Мухаммед Меджнун. Первоначальные деревянные двери Ешиль Тюрбе имеют надпись «Работа Али сына Гаджи из Тебриза». Необосновано некоторые исследователи видят гипотезу, что как декоратор и керамист он внес вклад и при осуществлении строительства гробницы<sup>5</sup>. Ешиль Тюрбе (Зеленый мавзолей) имеет восемигранную форму, завершен куполом. Раньше купол и стены были покрыты зелеными изразцами. В декоре интерьера тоже преобладают изразцы зеленого цвета, насыщенностю цветовой гаммы особо выделяется михраб. Ниша михраба выложена зелеными плитками, но в композицию включен и желтый цвет.

Ешиль Джами тоже славится великолепно выложенным декором. Михраб этой мечети, сохранившей надпись

عمل استادان تبريز

(работа тебризских мастеров), считается одним из высокохудожественных михрабов с изразцовой облицовкой османской архитектуры. Средняя часть михраба покрыта сплошь изразцами, собранными из плит белого, бирюзового, синего, красного и черного цветов, составляющих орнамент Руми и Хатаи<sup>6</sup>.

Цветовой колорит, декоративные мотивы, особенно геометрический и энграфический орнаменты, которые привнесли с собой азербайджанские мастера, послужили основой и для других мастеров, создавших турецкую архитектуру.

Исследователь Меннечек (Каир) в статье об архитекторе Мухаммеде сыне Османа, авторе медресе Сырджали, пишет: «Архитектор из Туса привнес с собой в Анатолию некоторые формы декора со своей родины..., с другой стороны, повторно применял орнаменты геометрической формы, ранее поступившие в Анатолию из Азербайджана»<sup>7</sup>.

Архитекторы-тебризцы внесли значительный вклад и в объемно-пространственную и художественную форму турецкой архитектуры. Еще во второй половине XIII в. в первой столице малоазиатских сельджуков в городе Конии химик Бедреддин из Тебриза проявил себя и как архитектор и в 1274 г. построил мавзолей великого поэта Джелаледдина Руми, ныне называемый «Мавлене тюрбеси». Через десять лет поврежденный землетрясением мавзолей ремонтируется автором, а позже претерпевает еще большие изменения и теряет свой первоначальный вид<sup>8</sup>. Но его план, оставшийся неизменным и послуживший основой для нынешнего мавзолея, стал образцом для ряда мавзолеев в Турции<sup>9</sup>. А от медресе Монлени, построенной этим же архитектором в Конии, ничего не осталось<sup>10</sup>.

По историческим преданиям, запово отстроенний мавзолей Джелаледдина Руми повторял его первоначальную древнюю форму<sup>11</sup>. Лаконичный и выразительный внешний вид мавзолея композиционно идентичен с башенными мавзолеями. Возышающейся на многогранном постаменте цилиндрический корпус завершается пирамidalным шатром. Горифицированные плоскости корпуса и шатра покрыты изразцами зеленого цвета. Благодаря этому памятник получил и другое название — Ешиль Куббе.

<sup>5</sup> E. Diez, O. Açıkgöz, Указ. работа, стр. 111.

<sup>6</sup> Там же, стр. 124—125.

<sup>7</sup> M. Mennecke (Kairo), Tıslı türkler. Okyanus Mehmet odlu ve Konyada bir elnatiyeesi, Türk etnografiya dergisi, sayı XI—1968, s. 84.

<sup>8</sup> J. H. Konya II, Konya tarzı, Konya, 1934, s. 610; L. A. Mayer, Islamic architects and their works, Осенье, 1956, p. 56—57.

<sup>9</sup> J. H. Konya II, Указ. работа, стр. 630.

<sup>10</sup> Там же, стр. 948.

<sup>11</sup> Там же, стр. 630.

Обладающий характерными для башенных мавзолеев качествами: монументализмом, выразительным силуэтом и цветовой гаммой, Ешиль Куббе выделяется среди серых куполов комплекса Мовлени. Вместе с минаретом мечети он придает большую динамичность ансамблю.

Водохранилище на дороге Коня—Бейшехер, из-за своих крупных размеров названное «Дивлер сериджи» (водохранилище великанов), было построено Гаджи Бахтияром из Тебриза, который имел здесь и свой каравансарай. Время строительства этого сооружения, являющегося одним из оригинальных произведений архитектуры сельджукского периода, неизвестно. Определено, что оно воздвигнуто раньше, чем находящиеся рядом памятники, построенные в 1201—1202 г. х.<sup>12</sup>

Архитекторы из Тебриза в последующих столетиях также проявляли широкую деятельность в крупных городах Турции. Так, в 1331 г. архитектор Касум из Тебриза построил мечеть в Кутбие<sup>13</sup>. Но среди мастеров-тебризцев, работающих в Турции, выделяется Аспир Али. Архитектор, известный в истории архитектуры как Аджем Алиси, или Аспир Али, был привезен из Тебриза в Стамбул султаном Селимом Явузом после победы над Шах Исмаилом Хатан и назначен мимарбашы (главным архитектором). Исследователи к многочисленным произведениям Аспира Али причисляют следующие: второй портал (Баб-эс-Салам) дворца Топкапы, мечеть султана Селима (1523) с мавзолеем, мечеть Язары Касума, мечеть Бала Паши и мечеть Махмуд Паши в Стамбуле, мечеть Чобан Мустафа в Эскишехире, мечеть Сулеймана в Чорлу, мечеть Аяс Паши в Текирдаге, мечеть Сефнаддина Гади в Софии, мечеть султана в Манисе, мечеть Чобан Мустафа в Гебзе, комплекс мечетей, дворец, здание молодежки (Дар-эс-Сиби) и библиотеку в городе Сараево (в Югославии), мечеть Хатуние в Трабзоне, мечеть Селима в Конии, мечеть Каюм Паши в Бозююке, мечеть Селима с медресе, столовой и школой в Халыджиларе<sup>14</sup>. Среди них мечеть Султана Селима I в Стамбуле и комплекс в городе Сараево являются самыми выдающимися творческими достижениями Аспира Али.

Комплекс мечетей в Сараево, так называемая мечеть Гази Хосров бека, построена в 1531 г. и является самым крупным, красивейшим и наиболее ценным культовым сооружением турецкой архитектуры на Балканских островах<sup>15</sup>. Комплекс имеет просторный двор. В середине двора под куполообразной крышей, лежащей на восьми изящных деревянных колоннах, находится фонтан. Мавзолей Гази Хосров бека, построенный ранее 1530 г., помещен в восточной части большого двора. По турецкой архитектурной традиции, его восьмигранный объем перекрыт куполом. Повторяющий его по форме мавзолей, несколько меньшего размера, построен с ним рядом в 1544 г. А в северо-западном углу двора находится мектеб (училище) Гази Хосров бека и мусекитхана — домик, в котором хранятся часы и приборы для определения времени.

План самой мечети очень ясен и прост. В середине глубокой арка-

ды — вход в центральный квадратный (13×13 м) молитвенный зал, который перекрыт куполом высотой 26 м. Часть, где размещен михраб, перекрыта полукуполом и опирается на центральный купол. А над боковыми помещениями возвышаются меньшие купола. Внутренние плоскости сооружения расписаны геометрическими и растительными узорами, капители колонн сталактикообразные.

Внешний вид мечети отражает внутреннюю простоту и структурность. Среди небольших куполов над аркой и боковыми помещениями возвышается кубический объем центрального зала, перекрытый большим куполом такой же формы. Стойкий минарет, призывающий к боковой стене малого зала с правой стороны, вносит динамичность в композицию и удачно завершает ее.

Некоторые произведения Аспира Али позже ремонтировались с добавлениями знаменитого Синана и поэтому ошибочно включены в список произведений Синана<sup>16</sup>. Например, мечеть Султана Селима I, построенную в 1522 г., приписывали Синану, тогда как в это время Синан был рядовым воином. Он участвовал в походе на Родос и как архитектор еще не был известен. Эта мечеть только ремонтировалась, и то позже, великим Синаном<sup>17</sup>.

Построенная Аспиром Али мечеть Султана Селима I с мавзолеем является замечательным памятником периода подъема турецкой архитектуры и высоко оценивается турецкими исследователями<sup>18</sup>.

Если Я. К. Баятлы считает мечеть Селима I вестником стиля Синана, то известный ученик Д. А. Арсевен называет его автора — Аспира Али — основоположником классической турецкой архитектуры. Он пишет: «Построив мечеть султана Селима в Стамбуле, в начале правления султана Сулеймана Кунуни, этот мастер способствовал возникновению нового стиля турецкой архитектуры». По мнению маститого исследователя, «...хотя так называемый классический период турецкой архитектуры начинается с мечети Баязида в Стамбуле и Эдирне, эта личность (Аспир Али. — Д. Г.), улучшая планы и архитектурные детали, заимствованные от стиля Бурсы..., приобрела славу основоположника классической турецкой архитектуры. Так, например, учившийся у него Мимар Синан, поняв свои ошибки, которые допустил в результате введения ряда новшеств и декоративных излишеств в своем первом крупном произведении — мечети Шахзаде, вернулся к художественным принципам своего учителя, что свидетельствует о гениальности Аспира Али»<sup>19</sup>.

Д. А. Арсевен приводит мало фактов. Недостаточность фактических материалов, характеризующих творчество архитектора-азербайджанца, не дает возможности утверждать, насколько справедлива высокая оценка, данная турецким ученым Аспиру Али. Ясно одно, сформировавшийся на традициях тебризской школы, Аспир Али имел как главный архитектор огромной Османской империи колоссальные творческие возможности, был одним из самых плодовитых представителей азербайджанской архитектуры. Он умер в 1537 г. и был похоронен перед михрабом мечети Мимар Джами, построенной им самим в районе Шихрамин города Стамбула.

Как прямое участие азербайджанских мастеров в формировании и развитии турецкой архитектуры, так и образцы тебризской архитек-

<sup>12</sup> І. Н. Копуат. Указ. работа, стр. 1095.

<sup>13</sup> М. Усебиев, Л. Бретаницкий, А. Саламзаде. Указ. работа, стр. 377.

<sup>14</sup> Эссад. Константинополь. М., 1919, стр. 216; Л. А. Мауэр. Указ. работа, стр. 48—50; С. Е. Арсевен. Turk sanati tarzı, İstanbul, 1959, X Faks, s. 76; В. Унсал. Turkish Islamic architecture (1071—1923), London, 1959, p. 96.

<sup>15</sup> С. Тихич. Сараево. Белград, 1967, стр. 40—42.

<sup>16</sup> С. Е. Арсевен. Указ. работа, стр. 761.

<sup>17</sup> І. Кемаль, А. Синан, А. Намдз. İstanbul, İstanbul, 1954, s. 31; С. Е. Арсевен. Указ. работа, стр. 761.

<sup>18</sup> С. Е. Арсевен. Указ. работа; І. Кемаль и др. Указ. работа, стр. 29—31.

<sup>19</sup> С. Е. Арсевен. Указ. работа, стр. 761.

турецкой школы оказали заметное влияние на творчество турецких архитекторов. В частности, участник походов султана Селима Явуз в 1514 г. и султана Сулеймана в 1535 г. великий Синан имел возможность познакомиться с азербайджанской архитектурой и увидеть Тебриз. Башенные мавзолеи Мараги и Нахичевани, многочисленные купола с тромпами, великолепное изразцовое искусство Тебриза произвели большое впечатление на гениального архитектора. Следы влияния поездки в Азербайджан проявляются позже в таких произведениях Синана, как мавзолей Хосров Паша, маленькие мечети Шемси Паши в Хасеки и Ускюдаре, и в некоторых других сооружениях<sup>20</sup>.

Основными причинами наплыва мастеров Азербайджана в Малую Азию в годы правления сельджуков были культурные и этнические связи между Анатолией и Азербайджаном. Кроме того, широкий размах строительства сначала анатолийских сельджуков, а позже султанов Османской Турции открыли для азербайджанской архитектуры, имеющей большие потенциальные возможности, творческую арену вне Азербайджана, что дало азербайджанцам, нуждавшимся в новых полях деятельности, проявить свое умение.

Институт архитектуры и искусства  
Поступило 12. X 1973

Ч. Э. Гијаси

### Тәбризли мә'марлар Түркијәдә (XIII—XVI əсрләр)

ХУЛАСӘ

Кичик Асијада Сәлчуг султаниларының тикилиләриндә тәбризли сәнәткарлар мә'марлыг декорунуң əвəэсиз усталары кими танынышлар. Түркијәјә кәрpic, кәч, кашы декоруну да бу усталар кәтирмиш, Ərzrum, Дивриги, Бурса, Конја вә башга шәһəрлəрдə учалдылан мәгбəрə вә мәсчидлəрдə тəтbiг etmişlər. Түркијənin ən mə'lum abidələriindən sajılan Jашыл Tүrbə vә Jашыл Чами (1424) тәбризли сәnәtkar dəstəsini iştırapы ilə tikiłmışdır. Тәбризли усталарын kәtiрdiyi rəniq koloriti, bəzək motivləri, xüsusiylə həndəsi vә epigrafik ornaməntlər türk mə'marlıqynda chalışan bашga sənətkarlar üçün də gañag olmuşdur.

Кимјачы Bədrəddin Tәбризли XIII əsrdə Konјada həm də kəniş mə'marlıq fəaliyyəti kəstərmişdir. Bədrəddin bu şəhərdə «Məvlana türbəsi» adlanan Çəlaləddin Rumiinin məgбərəsinin və bizi kəlib chat-majan bir mədrəsənin müəllifi olmuşdur. Konјa—Bəhəshəhər jolu, uzərinde bəjüklujuñə kərə «Dıвлər səriñci» adlanan ovdanı isə bura-da bir karvansaraы olmuş təbrisli ńachы Bəxtiјar tikiñiñdir. Bашга bir, təbrisli mə'mar—Gасым 1531-chi illədə Gütbiijə şəhəriñde məscid binaçısı учалтышdır.

Мə'marlıq tarixində Əchəm Əlini jahud Əsir Əli adı ilə tənənyini təbrisli sənətkar türk imperiyaśının bir sıra şəhərлərinde çoxlu binalar tikiñiñdir. Buiłardan Jugoslaviyaniñ Sarajevo şəhəriñdəki məscidlər kompleksi (Хосров bəj məscidi—1531) və İstan-bulidakı məgбərəsi ilə birkə I Sultan Səlim məscidi (1523) onun əni bitkin əsərləridir. Хосров bəj məscidi Balkan jarymadasında əni iri, əni kəzəl və əni dəjərlili türk abidəsidir. I Səlim məscidiñi arashdyryçiyalar Sınan uslubunuñ məjdəchisi saýyr, məşhur türk alimi

<sup>20</sup> C. E. Arseven. Указ. работа; E. Dies, O. Aslanapa. Указ. работа, стр. 146, 150.

Ч. Э. Эрсевән исə onuñ müəllifi Əsir Əlini klassik türk mə'marlıqyını baniñi adلانдырыр.

Əvvəllər Anatolu səlçuglarynyň, sənəralar isə Osmansı sułtanarynyň kəniş tikiñti fəaliyyəti potensialı imkanlı. Azerbaicjan mə'marlıqy үçün Azerbaicjan'dan kənarda jaradıçılıq mejdəny ać-myşdyr.

### J. A. Giyasi Architects of Tabriz in Turkey (XIII—XVI centuries)

SUMMARY

The ancient Azerbaijan city Tabriz was the centre of art in Middle ages, architects from Tabriz worked about in all countries of Islam East. Architects from Tabriz—Haji Bakhtiyar, Badraddin, Ali Hajji oglu, Muhammad Majnun, Gasim and others constructed many buildings in Turkey. Asir Ali from Tabriz has functioned even in Balkans—in the cities of Sofia and Sarayev.

## МУНДЭРИЧАТ

### Ријазијјат

С. Н. Борисов, З. Т. Султанова. Иккигишили чедвэлләрни аппроксимасијасы һагында . . . . . 3

### Автоматика

[Г. Т. Энимадов], Т. К. Меликов, К. Г. Іасенов. Кечикән аргументли просесләрни мәхсүси идарә олуумасының оптимальлығы һагында . . . . . 7

### Техники кибернетика

Ж. Б. Гәдимов, А. И. Мәммәдов, Е. М. Зейналова. Пајланыш параметрләри системләрни оптималь идарә едилмәси учы өдән үсүл . . . . . 11

### Астрономија

Акад. Һ.Ф. Султанов, О. А. Белоусова, Ф. И. Исаева, Т. М. Шапошникова. Гекуба айләсүнә мәнсүб олан астероидләрни орта (аралыг) орбитләрни ЕИМ-дә гурулмасы . . . . . 16

### Нефтхимия

М. Э. Мәрданов, Н. Г. Эләкбәрова. Т-1 јанаачагының истишмар хасасләринин амини ашгары вакитесинә յаҳышлашдырылмасы . . . . . 21

### Иглимшүнаслыг

В. Г. Абдуллаев. Абшерон јарымадасында зејтиң багларының гышлама шәрәнти . . . . . 26

### Кеолокија

Ж. М. Бәширов, О. А. Маркарова, В. А. Вәлијева, Н. А. Элијев. Абшерон архипелагының шimal-гәрб иессәсендә јөрләмиш Абшерон ә Дарвин башкәләри галхымының тектоники инкишаф тарихи һагында . . . . . 30

### Палеонтолокија

П. А. Мчедлишвили, О. М. Бәширов. Азәрбајҹаның Тәбашир чөкүнүләрindә јени газынты магнолија иөвүүн тапылмасына даир . . . . . 36

С. М. Асланова, Ж. Ч. Чәфәрова. Азәрбајҹанда үчүнчү дөвр чөкүнүләрindән тапылан Десарода . . . . . 41

### Тектоника

Ә. Ш. Шыхәлибәјли, Ә. Ч. Элијев, Ж. Б. Баженов, А. И. Султанов. Мәркәзин ә Чөнуби Гобустанда кеофизик материалларының кеоложи интерпретасијасы мәсәләсүнә даир . . . . . 47

### Стратиграфија

Р. Э. Элијев. Чикильчай (Ч.-ш. Гафгаз) саһесинде Алт Тәбашир сүхурларының јени стратиграфик бәлкүсү . . . . . 51

### Торпагшүнаслыг

Р. Һ. Мәммәдов, Л. В. Кравченко. Азәрбајҹаның шабалыды торпагларының механикى тәркибидә мұхталиф фраксијаларының һумусу әудем тутуму . . . . . 54

### Биофизика

Н. И. Чәфәров. Йејвани тохумаларының ишыг бурахмасына харичи амилләрни тә'сирі . . . . . 59

### Биолокија

К. М. Расизада. Чинсарасы һибрiddәрдә мејозун дөрдүнчү иәсилдә өјрәнилмәсі . . . . . 64

### Азәрбајҹан тарихи

К. Ф. Сеидова. Азәрбајҹан тарихинә аид гијметли сәнәдләр мәчмуәси . . . . . 68

### Мәмарлыг

Ч. Э. Гијаси. Тәбризли мәмарлар Туркијәдә (XIII—XVI әсрләр) . . . . . 72

## СОДЕРЖАНИЕ

### Математика

С. Н. Борисов, З. Т. Султанова. К вопросу об аппроксимации таблиц с двумя входами . . . . . 3

### Автоматика

[Член-корр. К. Г. Ахмедов], Т. К. Меликов, К. К. Гасанов. Об оптимальности особых управлений в системах с запаздыванием . . . . . 7

### Техническая кибернетика

Член-корр. Я. Б. Кадымов, А. И. Мамедов, Э. М. Зейналова. Численный метод расчета оптимального управления в системах с распределенными параметрами . . . . . 11

### Астрономия

Акад. Г. Ф. Султанов, О. А. Белоусова, Ф. И. Исаева, Т. М. Шапошникова. Построение на ЭВМ промежуточных орбит астероидов семейства Гекубы . . . . . 16

### Нефтхимия

Член-корр. М. А. Марданов, Н. Г. Александрова. Улучшение эксплуатационных свойств топлива Т-1 введением аминной присадки . . . . . 21

### Климатология

В. Г. Абдуллаев. Условия перезимовки маслины на Ашерионском полуострове . . . . . 26

### Геология

Я. М. Баширов, О. А. Маркарова, В. А. Велиева, Н. А. Алиев. К вопросу истории тектонического развития северо-западной части Ашерионского архипелага (на примере структур б. Ашерионской и б. Дарвина) . . . . . 30

### Палеонтология

П. А. Мчедлишвили, О. М. Баширов. О находке нового вида ископаемой магнолии в меловых отложениях Азербайджана . . . . . 36

С. М. Асланова, Ж. Д. Джадарова. Находки десятиногих ракообразных в третичных отложениях Азербайджана . . . . . 41

### Тектоника

Акад. Э. Ш. Шихалибейли, А. Д. Алиев, Ю. П. Баженов, Н. И. Султанов. К вопросу геологической интерпретации геофизических материалов в Центральном и Южном Кобыстане . . . . . 47

### Стратиграфия

Р. А. Алиев. Новое расчленение нижнего мела по р. Чикильчай (юго-восточный Кавказ) . . . . . 51

### Почвоведение

Р. Г. Мамедов, Л. В. Кравченко. Содержание гумуса и емкости поглощения в различных фракциях механического состава каштановых почв Азербайджана . . . . . 54

### Биофизика

А. И. Джадаров, Т. М. Гусейнов. Влияние внешних условий на интенсивность свечения тканей животных . . . . . 59

### Генетика

Г. М. Расизаде. Мейоз межродового гибрида четвертого поколения *Tr. turgidum* × *Ar. aucheri* . . . . . 61

### История Азербайджана

Г. Ф. Сенцов. Сборник документов по истории Азербайджана . . . . . 68

### Архитектура

Дж. А. Гияси. Тебризские архитекторы в Турции (XIII—XVI вв.) . . . . . 72

## ПРАВИЛА ДЛЯ АВТОРОВ

1. В «Докладах Академии наук Азербайджанской ССР» помещаются краткие сообщения, содержащие законченные, еще не опубликованные результаты научных исследований, имеющих теоретическое или практическое значение.

В «Докладах» не публикуются крупные статьи, механически разделенные на ряд отдельных сообщений, статьи полемического характера без новых фактических данных статьи с описанием промежуточных опытов без определенных выводов и обобщений, работы непринципиальные, описательного или обзорного характера, чисто методические статьи, если предлагаемый метод не является принципиально новым, а также статьи по систематике растений и животных (за исключением описания особо интересных для науки находок).

Статьи, помещаемые в «Докладах», не лишают автора права последующей публикации того же сообщения в развернутом виде в других изданиях.

2. Поступающие в «Доклады» статьи рассматриваются Редакционной коллегией только после представления их академиком по специальности. Каждый академик может представить не более 5-ти статей в год.

Статьи членов-корреспондентов Академии наук Азербайджанской ССР принимаются без представления.

Редакция просит академиков при представлении статьи указывать дату получения ее от автора, а также наименование раздела, в котором статья должна быть помещена.

3. В «Докладах» публикуется не более трех статей одного автора в год.

4. В «Докладах» помещаются статьи, занимающие не более четверти авторского листа — около 6—7 страниц машинописи (10 000 печатных знаков), включая рисунки.

5. Все статьи должны иметь резюме на английском языке; кроме того, статьи, написанные на азербайджанском языке, должны иметь: резюме на русском языке и наоборот.

6. В конце статьи должны быть указаны название научного учреждения, в котором выполнена работа, и номер телефона автора.

7. Опубликование результатов работ, проведенных в научных учреждениях должно быть разрешено дирекцией научного учреждения.

8. Статьи (включая и резюме), должны быть напечатаны на машинке через два интервала, на одной стороне листа и представляются в двух экземплярах. Формулы должны быть вписаны четко и ясно, при этом прописные буквы должны быть подчеркнуты (черным карандашом) двумя черточками снизу, а строчные — сверху, буквы греческого алфавита надо обводить красным карандашом.

9. Цитируемая в статье литература должна приводиться не в виде подстрочных сносок, а общим списком (подбор), в алфавитном порядке (по фамилии автора), в конце статьи с обозначением ссылки в тексте порядковой цифрой. Список литературы должен быть оформлен следующим образом:

а) для книг: фамилия и инициалы автора, полное название книги, номер тома, город, издательство и год издания;

б) для статей в сборниках (трудах): фамилия и инициалы автора, название статьи, название сборника (трудов), том, выпуск, место издания, издательство, гол, страница;

в) для журнальных статей: фамилия и инициалы автора, название статьи, название журнала, год, том, номер, (выпуск), страница.

Ссылки на неопубликованные работы не допускаются (за исключением отчетов и диссертаций, хранящихся в научных учреждениях).

10. На обороте рисунков должны быть указаны фамилия автора, название статьи и номер рисунка. Отпечатанные на машинке подписи к рисункам представляются на отдельном листе.

11. Авторы статей должны указывать индекс статьи по Унифицированной десятичной классификации (УДК) и прилагать реферат для «Реферативного журнала».

12. Авторы должны избегать повторения одинаковых данных в таблицах, графиках и в тексте статьи.

Ввиду небольшого объема статей выводы помещаются лишь в необходимых случаях.

13. В случае представления двух или более статей одновременно необходимо указывать желательный порядок их помещения.

14. Корректура статей автором как правило не посыпается. В случае посылки корректуры допускается лишь исправление ошибок типографии.

15. Редакция выдает автору бесплатно 15 отдельных оттисков статьи.

Сдано в набор 20/V--1975 г. Подписано к печати 18/VII 1975 г. Формат бумаги 70×108<sup>1/16</sup>. Бум. лист. 2,5. Печ. лист. 7,0. Уч-изд. лист. 5,95. ФГ 05721. Заказ 488.

Тираж 760. Цена 40 коп.

Типография АН Азерб. ССР. Баку, проспект Нариманова, 31

**40** гэп.  
коп.

Индекс  
**76355**